



ჭიორა ჰესი ტექნიკურ-ეკონომიკური დასაბუთება

წყალშემკრები აუზის კლიმატი და ჰიდროლოგია

შემსრულებელი:
შპს გროს ენერგი ჯგუფი
საქართველო, თბილისი, ლვოვის ქ. #66

 GEG
გროს ენერგი ჯგუფი
GROSS ENERGY GROUP
ENGINEERING-CONSULTING COMPANY

დამკვეთი:
შპს ჭიორა ჰესი



თბილისი,
2019

სარჩევი

| | | |
|-------|--|----|
| 1. | შესავალი | 4 |
| 1.1 | შესწავლის საფუძველი | 4 |
| 1.2 | შესასწავლი მდინარე | 4 |
| 1.3 | მოხსენებითი ანგარიშის მიზანი | 5 |
| 2. | ჰიდროლოგურო სადგურის მდებარეობა და პარამეტრები | 7 |
| 2.1 | პროექტის გეოგრაფიული მდებარეობა | 7 |
| 2.2 | პროექტის მირითადი მახასიათებლები | 10 |
| 3. | წყალშემკრები აუზის ზოგადი დახასიათება | 11 |
| 3.1 | წყალშემკრები აუზის ტოპოგრაფია | 13 |
| 3.2 | წყალშემკრებ აუზზე ადამიანის სამეწარმეო საქმიანობის კვალი | 15 |
| 3.3 | გეოლოგიური გარემო | 15 |
| 3.4 | ნიადაგი | 16 |
| 3.5 | მცენარეული საფარი | 17 |
| 4. | კლიმატი | 19 |
| 4.1 | ატმოსფერული ნალექი | 19 |
| 4.2 | ჰაერის ტემპერატურა | 19 |
| 4.3 | ქარი | 21 |
| 4.4 | ჰაერის ტენიანობა | 21 |
| 5. | ჰიდროლოგია | 23 |
| 5.1 | მდინარის წყლის რესურსის შეფასება | 23 |
| 5.2 | წყლის მრავალწლიური საშუალო ხარჯის სიდიდის განსაზღვრა | 23 |
| 6. | მდინარის წყლის მაქსიმალური ხარჯის ანგარიში | 41 |
| 7. | მინიმალური ჩამონადენი და გარემოსდაცვითი ხარჯი | 45 |
| 7.1.1 | მინიმალური ჩამონადენი | 45 |
| 7.1.2 | გარემოსდაცვითი ხარჯი | 48 |
| 8. | სათავე წაგებობის ქვედა ბიეფში არსებული ხევების მოკლე დახასიათება | 53 |
| 9. | მყარი ნატანი | 59 |
| 10. | დასკვნა და რეკომენდაციები | 60 |
| 11. | გამოყენებული ლიტერატურა | 61 |

სიმბოლოთა განმარტება

| სიმბოლო | განმარტება | განზომილება |
|------------------------|--|-------------------------------|
| Q | წყლის ნაკადის უდიდესი ხარჯი | $\text{მ}^3/\text{წ}\text{მ}$ |
| Q_მ | წყლის ნაკადის ხარჯი დროის მატების პერიოდში | $\text{მ}^3/\text{წ}\text{მ}$ |
| Q_პ | წყლის ნაკადის ხარჯი დროის კლების პერიოდში | $\text{მ}^3/\text{წ}\text{მ}$ |
| W | წყლის ნაკადის მოცულობა | გ^3 |
| W_მ | წყლის მოცულობა ხარჯის მატების პერიოდში | გ^3 |
| W_პ | წყლის მოცულობა ხარჯის კლების პერიოდში | გ^3 |
| F | ხევის/მდინარის წყალშემკრები აუზის ფართობი | კმ^2 |
| F_ტ | ხევის/მდინარის წყალშემკრები აუზის ტყის ფართობი | % |
| T | თავსხმა წვიმის ხანგრძლივობა | $\text{წ}\text{თ}$ |
| t_მ | წყლის ნაკადის ხარჯის მატების დრო | $\text{წ}\text{თ}$ |
| t_პ | წყლის ნაკადის ხარჯის კლების დრო | $\text{წ}\text{თ}$ |
| L | მდინარის/ხევის წყლის ნაკადის სიგრძე კალაპოტში | კმ |
| L_დ | წყლის ნაკადის "დაყვანილი" სიგრძე | მ |
| S | წყლის ნაკადის სიჩქარეების ფარდობის კოეფიციენტი | |
| V_მ | წყლის ნაკადის სიჩქარე კალაპოტში | $\text{მ}/\text{წ}\text{მ}$ |
| V_პ | წყლის ნაკადის სიჩქარე ფერდზე | $\text{მ}/\text{წ}\text{მ}$ |
| L_ტ | წყალშემკრები აუზის ფერდობის სიგრძე | მ |
| J_დ | მდინარის დახრილობა | |
| J_გ | მდინარის კალაპოტის საანგარიშო დახრილობა | |
| φ | აუზში არსებული ბალახეული საფარველის სიხშირე | |
| i | წყალშემკრები აუზში მოსული თავსხმა წვიმის ინტენსიობა | $\text{მმ}/\text{წ}\text{თ}$ |
| H | წყალშემკრები აუზში თავსხმა წვიმის დროს წარმოქმნილი ნალექი | მმ |
| K | კლიმატური კოეფიციენტი | |
| B_{მარ} | ხევის/მდინარის წყალშემკრები აუზის უდიდესი სიგანე | კმ |
| B_{სარ} | ხევის/მდინარის წყალშემკრები აუზის საშუალო სიგანე | კმ |
| Z | მდინარისა და ხევის შენაკადების ქსელის სიხშირე | |
| ρ | სელური წყლის ნაკადის სიმღვრივე | $\text{გ}/\text{მ}^3$ |
| S_ხ | მყარი ნატანის მოცულობა | გ^3 |
| ω | გაშიშვლებული, დამეწყრილი ან სხვა მიზეზებით დაშლილი აუზის უბანი | % |
| ΣI | წყალშემკრები აუზში მდინარის შენაკადების და ხევების სიგრძეთა ჯამი | კმ |
| ψ | ეროზიის კოეფიციენტი | |
| σ | აუზის ფორმის კოეფიციენტი | |
| α | ჩამონადენი წყლის კოეფიციენტი | |
| ξ | აუზში ნიადაგის საფარველის მახასიათებელი კოეფიციენტი | |
| λ | წყალშემკრები აუზის ტყიანობის კოეფიციენტი | |

β წყალშემკრებ აუზში მოსული თავსხმა წვიმის არათანაბრად
განაწილების კოეფიციენტი

τ განმეორებადობა წლებში

γ ნატანის ერთეული მოცულობის წონა

წელი

ტ/ტ³

1. შესავალი

ჭიდროლოგიური პროცესები დედამიწაზე მიმდინარე უმნიშვნელოვანესი გლობალური მოვლენაა, რომელიც განაპირობებს ენერგიის ცვლას დედამიწის მასშტაბით, ხელს უწყობს ცოცხალი და არაცოცხალი გარემოს სტაბილურობას, რაც თავის მხრივ განაპირობებს ადამიანთა სამეურნეო საქმიანობის ეკონომიკურ ეფექტურობას. ჭიდროლოგიური რესურსის მნიშვნელობიდან გამომდინარე, რაიმე სახის ინფრასტრუქტურული სამუშაოების შესრულებამდე, რომელსაც პირდაპირი ან ირიბი გავლენა აქვს მდინარის წყლის ხარისხსა და რეჟიმზე, აუცილებელია შეფასდეს წყლის რესურსი მდინარის ხეობაში და გადანაწილდეს ისე რომ არ დაირღვეს არცერთი მხარის ინტერესი.¹ მიუხედავად იმისა, რომ საქართველოში ჭიდრომეტეოროლოგიური შესწავლა საუკუნეზე მეტს ითვლის, უკვე 25 წელზე მეტია ზედამხედველობის ქსელი ფაქტობრივად მოშლილია და არ ხდება მდინარეთა ქსელის მუდმივი მონიტორინგი, რაც კიდევ უფრო ართულებს ჭიდროლოგიურ ანგარიშებს მიმდინარე კლიმატის გლობალური ცვლილების ფონზე. გამომდინარე აქედან, ანგარიშში წარმოდგენილი მონაცემები მომზადებულია, როგორც ისტორიულ ჩანაწერებსა და გაზომვის შედეგებზე დაყრდნობით, ასევე გამოყენებულია თანამედროვე ტექნიკური ინფორმაცია და მონაცემები მოპოვებული ESA-სა (ევროპის კოსმოსური სააგენტო) და NASA-ს (აერონავტიკის და კოსმოსური სივრცის კვლევის ეროვნული სამმართველო) საინფორმაციო ბაზებიდან.

1.1 შესწავლის საფუძველი

ანგარიშის მომზადებას საფუძვლად უდევს იურიდიული ძალის მქონე ხელშეკრულება, გაფორმებილი, შპს „გროს ენერჯი ჯგუფსა“ (შემდგომში „შემსრულებელი“) და შპს „ჭიორა ჰესი“-ს (შემდგომში „დამკვეთი“) შორის, რომელიც დაინტერესებულია მდინარის, მის მიერ შერჩეულ მონაკვეთზე, ჭიდროენერგეტიკული დანიშნულების ობიექტის მშენებლობით.

1.2 შესასწავლი მდინარე

წარმოდგენილი ანგარიშის მომზადების მიზანს წარმოადგენს მდ. ჩვეშურას, ხვარგულას და მათი წყალშემკრები აუზების ჭიდრომეტეოროლოგიური კვლევებს, რომლებიც თავის მხრივ გავლენას ახდენს მდინარეების კალაპოტში არსებული წყლის რესურსის ფორმირებაზე. ანგარიშში

¹ [საქართველოს კანონი წყლის შესახებ](#)

წარმოდგენილია წყლის რესურსის შეფასება მდინარეების შერჩეულ კვეთებში მათი ჰავარიუმის სამუშაოს აუზის მიმდევარი მუნიციპალიტეტისათვის.

ფიგურა 1.1 მდინარე ჩვეშურა



1.3 მოხსენებითი ანგარიშის მიზანი

ანგარიში წარმოდგენილია მდ. ჩვეშურას, ხვარგულას და მათი წყალშემკრები აუზების ჰავარიუმისათვის. მოხსენებითი ბარათი მოიცავს ძირითად ინფორმაციას, კლიმატის, გეოლოგიური გარემოს, ნიადაგური და მცენარეული საფრის შესახებ, აგრეთვე მდინარის წყლის შეფასებას და შესაბამის ტოპოგრაფიულ მასალას, რომელიც გამოყენებულია მიზნის მისაღწევად.



ჭიორა ჰესი
ტექნიკურ-ეკონომიკური დასაბუთების ანგარიში

ჰიდროლოგია

 GEG გროს ენერგეტიკული
GROSS ENERGY GROUP
ENGINEERING-CONSULTING COMPANY

ჰიდროელექტროსადგურის წყლის რესურსისა და საშუალო მრავალწლიური ხარჯის განსაღვრისათვის გამოყენებულია საბჭოთა ჰიდრომეტეოროლოგიური ზედამხედველობის ქსელის მიერ გამოქვეყნებული ინფორმაცია.

გამომდინარე იქედან, რომ მდინარე ჩვეშურა და ხვარგულა ჰიდროლოგიურად არა არის შესწავლილი და არ მოიპოვება ჰიდროლოგიურ დაკვირვებათა მონაცემები, ჭიორა ჰესისათვის, ჰიდროლოგიური ანგარიშები გამოთვლილია მდინარე ჭანჭახზე არსებული ჰიდროლოგიური საგუშაგოს ყოველდღიურ მონაცემებზე დაყრდნობით.

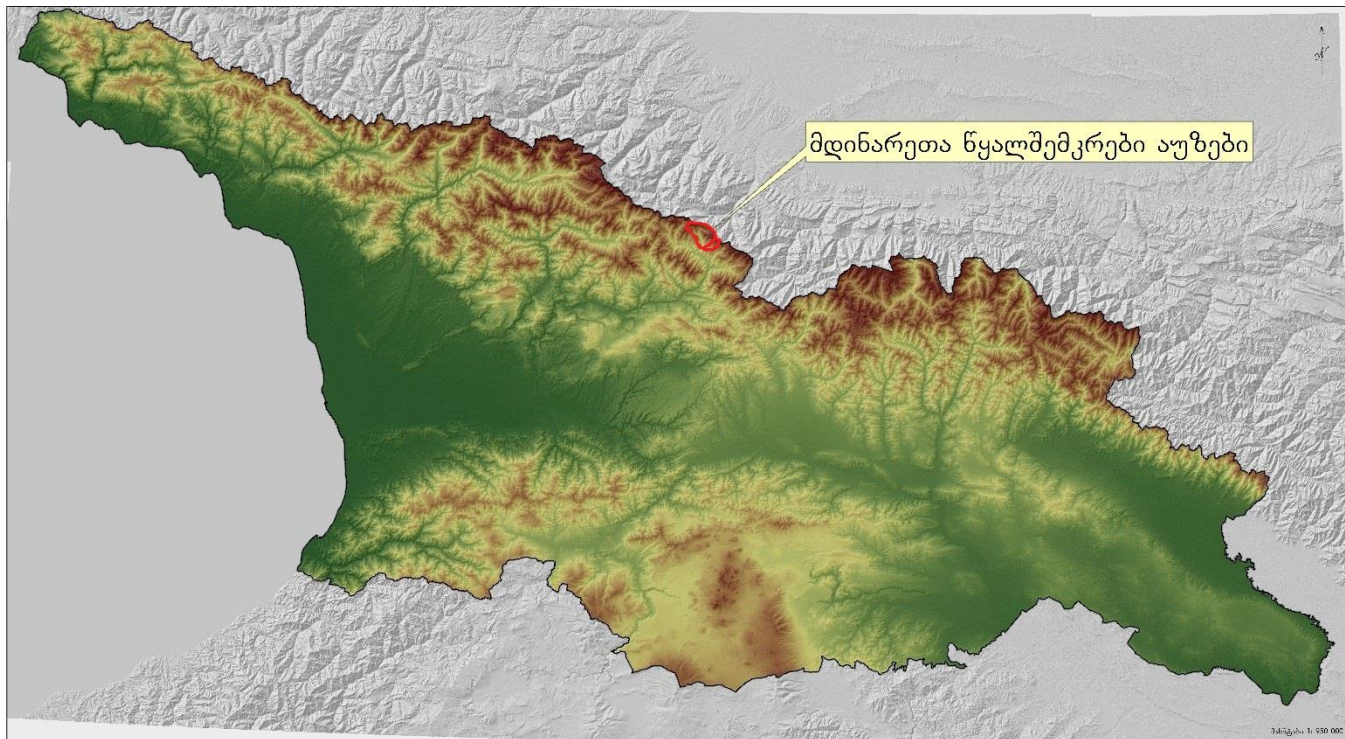
მომზადებული მასალა წარმოადგენს კომერციულ საიდუმლოებას და მესამე მხარისათვის მისი ნებართვის გარეშე გაზიარება ნებადართული არაა დამკვეთისა და შემსრულებლის წერილობითი თანხმობის გარეშე.

2. ჭიდროლექტრო სადგურის მდებარეობა და პარამეტრები

2.1 პროექტის გეოგრაფიული მდებარეობა

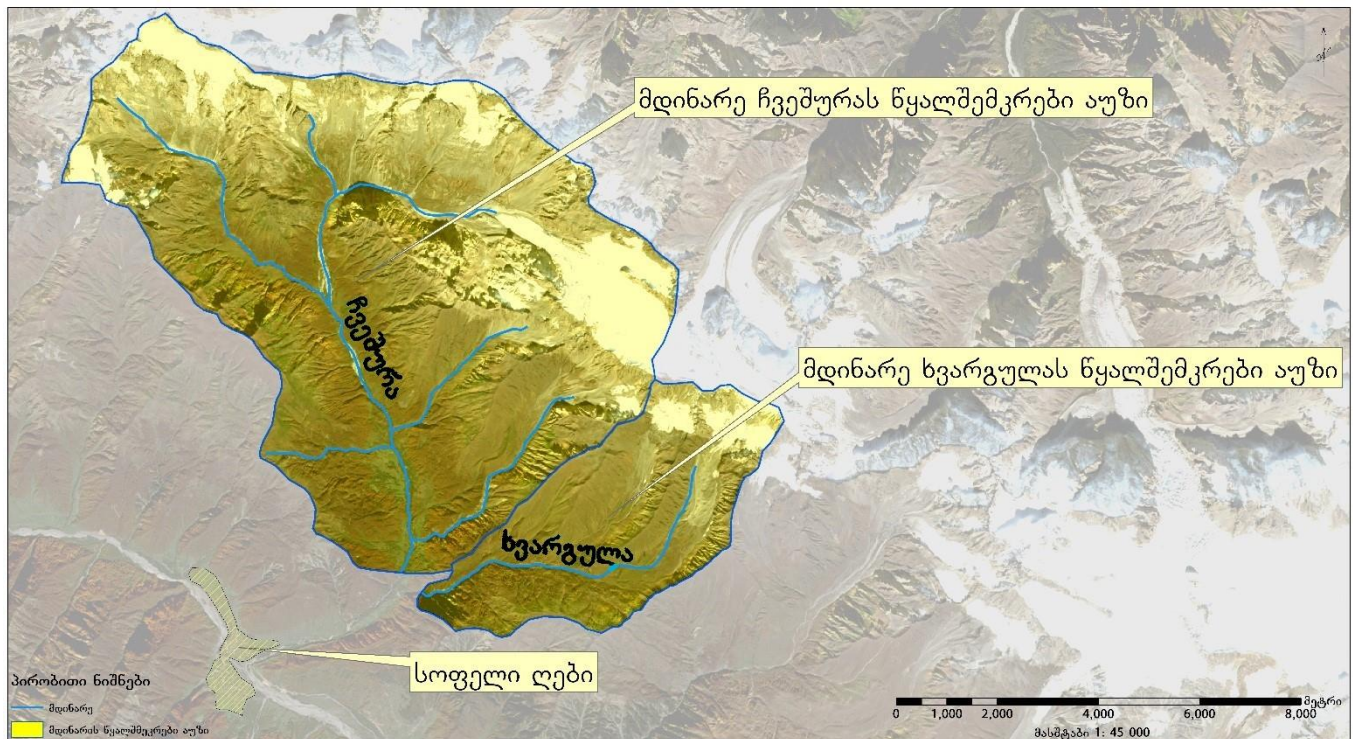
ჭიორა ჰესის აშენება დაგეგმილია რაჭა-ლეჩხუმ ქვემო სვანეთის რეგიონში, ონის მუნიციპალიტეტში, სოფელ ღებიდან ჩრდილოეთით მყინვარ კირტიშოსაკენ. ჰესის წყალმიმდები ნაგებობის მოწყობა დაგეგმილია სოფლიდან დაახლოებით 3.7 კილომეტრში მდინარე ჩვეშურასა და ხვარგულაზე. წინარე ტექნიკურ ეკონომიკური კვლევებიდან გამომდინარე გადაწყდა ორი დამოუკიდებელი წყალმიმდების მშენებლობა, ამიტომაც ჭიდროლოგიური გათვლები მომზადებულია, როგორც მდინარე ჩვეშურასათვის ასევე მდინარე ხვარგულასათვის.

ფიგურა 2.1 მდინარე ჩვეშურასა და ხვარგულას გეოგრაფიული მდებარეობა საქართველოს ფიზიკურ² რუკაზე



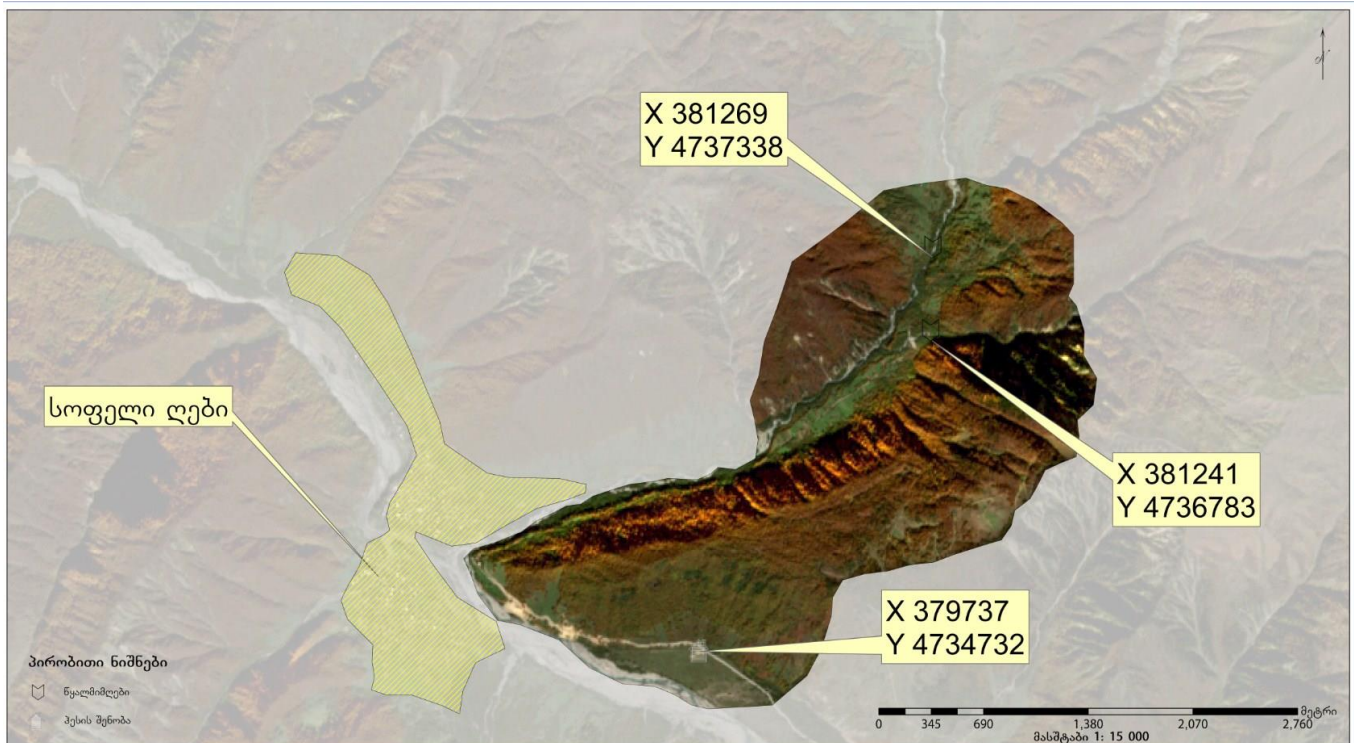
² ASTER-ის 30 მეტრი რეზოლუციის სამ განზომილებიანი რელიეფის ციფრული მოდელი

ფიგურა 2.2 მდ. ჩვეშურასა და ხვარგულას გეოგრაფიული მდებარობა სოფ. ღების მიმართ, აეროფოტოგრაფიული³ გამოსახულება



³ ESA-ის 10 მეტრიანი რეზოლუციის აეროფოტოსურათი გადაღებული 17.10.2018 კოდით: T38TLN_20181017T075921

ფიგურა 2.3 ჭიორა ჰესის ინფრასტრუქტურის განთავსების სქემა



2.2 პროექტის ძირითადი მახასიათებლები

ჭიორა ჰესის ძირითადი პარამეტრები, რომლის განთავსება იგეგმება მდინარე ჩვეშურას, ხვარგულასა და რიონის ხეობაში, რომელიც მოცემულია ცხრილებ 2.1 და 2.2-ში.

ცხრილი 2.1 მდინარე ჩვეშურას ძირითადი პარამეტრები

| ძირითადი ინფორმაცია | |
|--|---|
| მდინარის სახელი | ჩვეშურა |
| ადგილმედბარეობა | რაჭა-ლეჩხუმი ქვემო სვანეთი, ონის მუნიციპალიტეტი |
| პროექტის სახელწოდება | ჭიორა ჰესი |
| წყალმიმღების კოორდინატი | X 381269.92 Y 4737338.95 |
| ჰესის შენობის კოორდინატი | X 379737.00 Y 4734732.00 |
| წყალშემკრები აუზის ფართობი | 75.02 კმ ² |
| წყალშემკრები აუზის საშუალო სიმაღლე | 2679 მ |
| წყალშემკრები აუზის საშუალო დახრილობა | 60.70% |
| მდინარის სიგრძე სათავიდან წყალმიმღებამდე | 11.12 კმ |
| მრავალწლიური საშუალო ხარჯი წყალმიმღებთან | 4.02 მ ³ /წმ |

ცხრილი 2.2 მდინარე ხვარგულას ძირითადი პარამეტრები

| ძირითადი ინფორმაცია | |
|--|---|
| მდინარის სახელი | ხვარგულა |
| ადგილმედბარეობა | რაჭა-ლეჩხუმი ქვემო სვანეთი, ონის მუნიციპალიტეტი |
| წყალმიმღების კოორდინატი | X 381241.44 - Y 4736783.00 |
| ჰესის შენობის კოორდინატი | X 379737.00 - Y 4734732.00 |
| წყალშემკრები აუზის ფართობი | 18.79 კმ ² |
| წყალშემკრები აუზის საშუალო სიმაღლე | 2656 მ |
| წყალშემკრები აუზის საშუალო დახრილობა | 54.71% |
| მდინარის სიგრძე სათავიდან წყალმიმღებამდე | 7.038 კმ |
| მრავალწლიური საშუალო ხარჯი წყალმიმღებთან | 1.00 მ ³ /წმ |

3. წყალშემკრები აუზის ზოგადი დახასიათება

მდინარე ჩვეშურა, რომლის შენაკადია მდ. ხვარგულა, წარმოადგენს მდინარე რიონის მარცხენა შენაკადს, იგი სათავეს იღებს 2760.0 მ.ზ.დ. სიმაღლეზე კავკასიონის ქედის სამხრეთ კალთის მყინვარებიდან და უერთდება მდინარე რიონს სოფ. ღებთან 1340 მ.ზ.დ. სიმაღლეზე. მდინარის სიგრძე 15 კმ-ია, აუზის ფართობი 98.0 კმ², საერთო ვარდნა 1190 მ. მდინარეს სათავეში არ აქვს გარკვეული კალაპოტი და მორენულ ნაფენებში მოედინება. რამოდენიმე კილომეტრის შემდეგ კალაპოტი განიცდის ძლიერ ეროზიას და ატარებს კანიონისებურ ფორმას. მდინარის ხეობის კალთებზე გამოედინება მინერალური წყაროები.

მდინარე ჭანჭახი, რომელიც ჭიდროლოგიურ ანგარიშებისათვის გამოყენებულია, როგორც ანალოგ მდინარედ, სათავეს იღებს რაჭის კავკასიონის მთავარი წყალგამყოფი ქედის სამხრეთ კალთაზე მყინვარ ჭანჭახის (4461.0 მ.ზ.დ) დასავლეთით 3.5 კმ-ის დაშორებით, ზღვის დონიდან 3070 მ სიმაღლეზე და უერთდება მდ. რიონს მარცხენა მხრიდან, ზღვის დონიდან 1110 მ სიმაღლეზე სოფ. საგლოლოდან 0.5 კმ-ის ზემოთ.

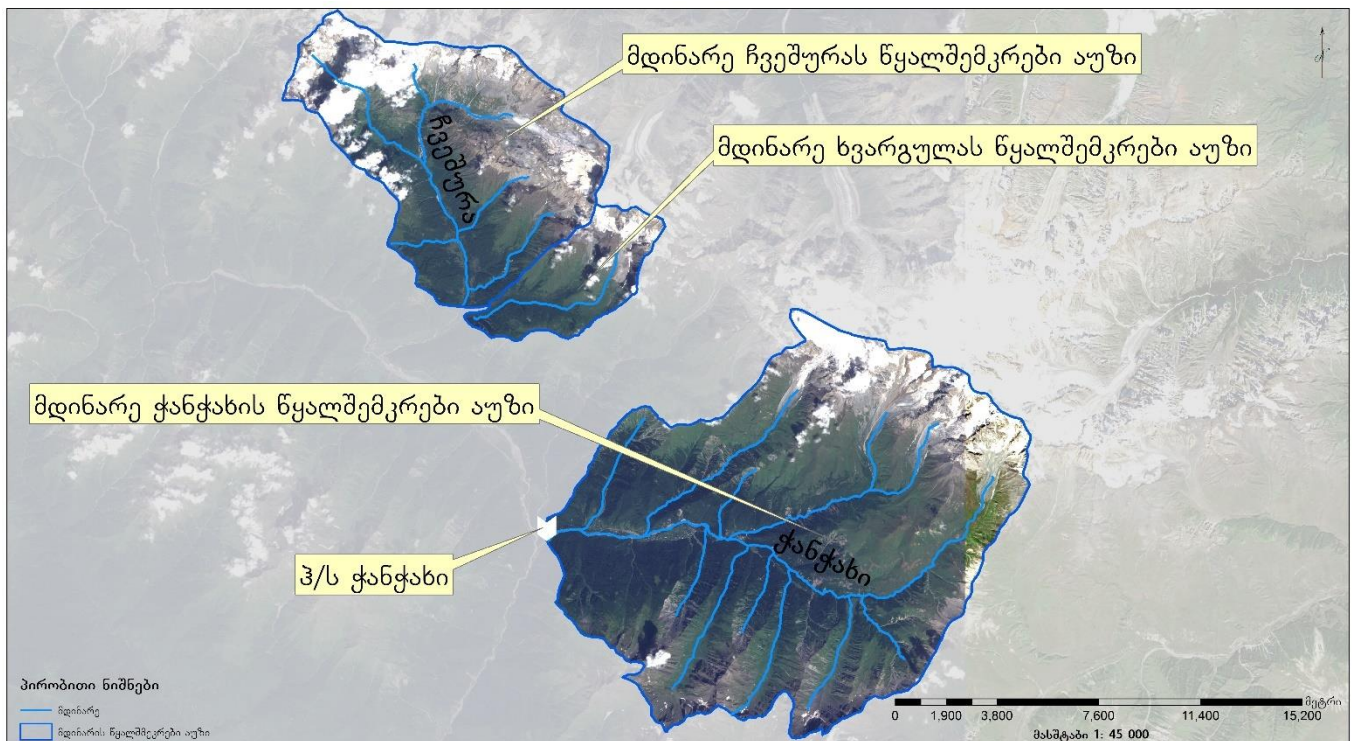
მდინარის მთლიანი სიგრძე 21 კმ-ია, ვარდნა 1550 მ, წყალშემკრები აუზის ფართობი 183 კმ², საშუალო სიმაღლე 2000 მ, აუზის სიგრძე 19.0 კმ, საშუალო სიგანე 10 კმ. მდინარეში ჩაედინება 34 შენაკადი.

მდინარის ხეობა სოფ. გურჩევამდე ვარცლის, მის ქვემოთ “V”-ს, ხოლო კურორტ შოვის ქვემოთ ყუთის მაგვარი მოყვანილობისაა, რომელსაც ინარჩუნებს შესართავამდე.

მდინარის ხეობას აქვს დასავლეთის მიმართულება, ის სწორი და სიმეტრიულია, სიგანე სათავესთან 1.5 კმ-ია, სოფ. გურჩევთან ვიწროვდება 450 მ-დე, ხოლო სოფ. გლოლასა და კურორტ შოვს შორის 800-850 მ-მდეა.

მდინარის ხეობის ფსკერი ზედა ნაწილში ვიწროა სიგანით 30-40 მ, ყველაზე დიდ სიგანეს აღწევს კურორტ შოვთან 550 მ. ხეობის ფერდობები მდინარის მთელ სიგრძეზე ერწყმის შემომფარგვლავი ქედების ფერდობებს. სიმაღლე 300 მ-ია (მდინარის შესართავთან), ფერდობების სიმაღლე ხშირად 800 მ-ს აღწევს. ფერდობები ზოგან ამოზნექილ-ჩაზნექილია შესაბამისად სოფ. გურჩევის მარჯვენა და მარცხენა მხარეს. კურორტ შოვთან მდინარის მარჯვენა მხარეს იწყება ტერასები სიგანით 400-450 მ, რომელიც მდინარის მიმართულებით თანდათან ვიწროვდება მინერალურ წყლებთან სოფ. გლოლას ზევით და 2 კმ-ში გადადის მარცხენა მხარეს.

ფიგურა 3.1 შერჩეულ მდინარეთა წყალშემკრები აუზების მდებარეობა ანალოგი მდინარის მიმართ



მდინარე ჭანჭახისა და მისი შენაკადების წყლის რეჟიმის ძირითადი ფაზებია: გაზაფხულის წყალდიდობა და ზამთრის მდგრადი წყალმცირობა. გაზაფხულის წყალდიდობა კლიმატურ პირობებთან კავშირში იწყება მარტის ბოლოს ან აპრილის დასაწყისში. ჩამონადენის უდიდესი ნაწილის მსვლელობა არათანაბრად მიმდინარეობს. მასის, ივნისის და ივლისის თვეებში მდინარეზე შენარჩუნებულია წყლის მაღალი დონე, რაც დაკავშირებულია მაღალ ნიშნულებზე ყინულისა და თოვლის დნობასთან. ამ პერიოდში წყლის დონის ცვალებადობა მიმდინარეობს მკვეთრი პიკებით. ივლისის თვეში იწყება მდინარეების დონეების ნელი კლება, რომელიც გრძელდება სექტემბრის ბოლომდე და ხშირად ირღვევა შემოდგომაზე მოსული წვიმით.

წყლის მაქსიმალური დონე დგება მაის-ივნისის თვეში. მათი სიმაღლე სათავეებიდან 0.5 კმ-ის ქვემოთ 1.5 მ-ია, სოფ. გურჩევში 1.3 მ, ხოლო კურორტ შოვთან 1.8 მ-მდე. მდ. ბუბისწყლის შეერთების შემდეგ 2.5 მ. სოფ. გლოლასთან 2.8 მ დინების მიმართულებით მაქსიმალური დონე 1.5 მ-ს არ აღემატება.

ზამთრის პერიოდის წყალმცირობა იწყება ნოემბერის თვეში და გრძელდება აპრილის დასაწყისამდე. წყალმცირობის პერიოდი მდგრადია, ზოგჯერ მდინარის კალაპოტის ჩახერგვის გამო ხდება დონის მკვეთრი აწევა. ყველაზე დაბალი დონე დაფიქსირებულია თებერვლის თვეში.

წყალდიდობის კატასტროფული ხარჯის გავლისას მდინარე გადმოდის ნაპირებიდან, ტბორავს ჭალებს და ანგრევს ხიდებს (1934, 1967, 1968 წლებში).

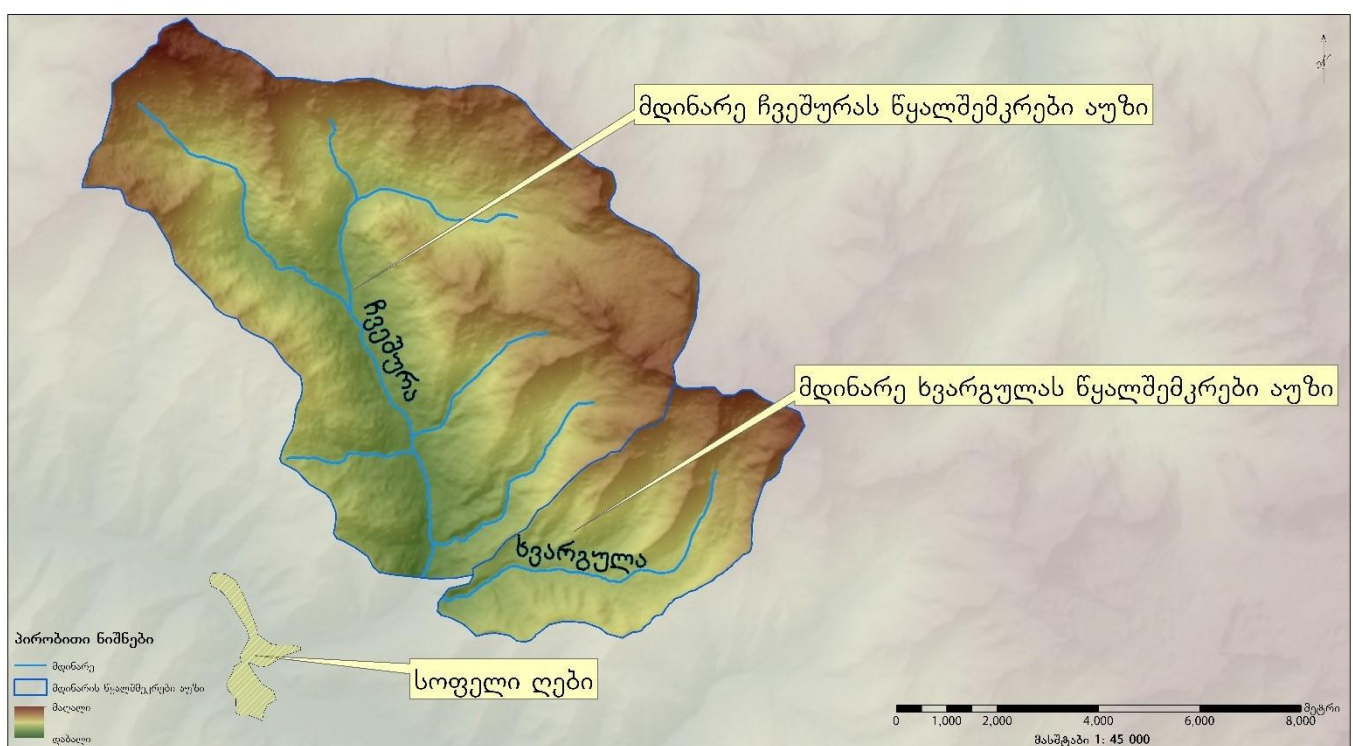
მდინარის ხეობისათვის ზამთრის პერიოდში დამახასიათებელია დაბალი ტემპერატურა, რომელიც იწვევს სხვადასხვა სახის მოვლენებს, როგორიცა: თოში, წაყინვა. მდინარის შუა დინებაში, ჰიდრომეტრული ცვლილებიდან გამომდინარე, მსგავსი მოვლენები ნაკლებად გამოიხატება. მდინარის წყლის ქიმიური შემადგენლობა შესწავლილი არ არის.

მყარი ხარჯი მაქსიმალურ სიდიდეს აღწევს წყალდიდობის პერიოდში.

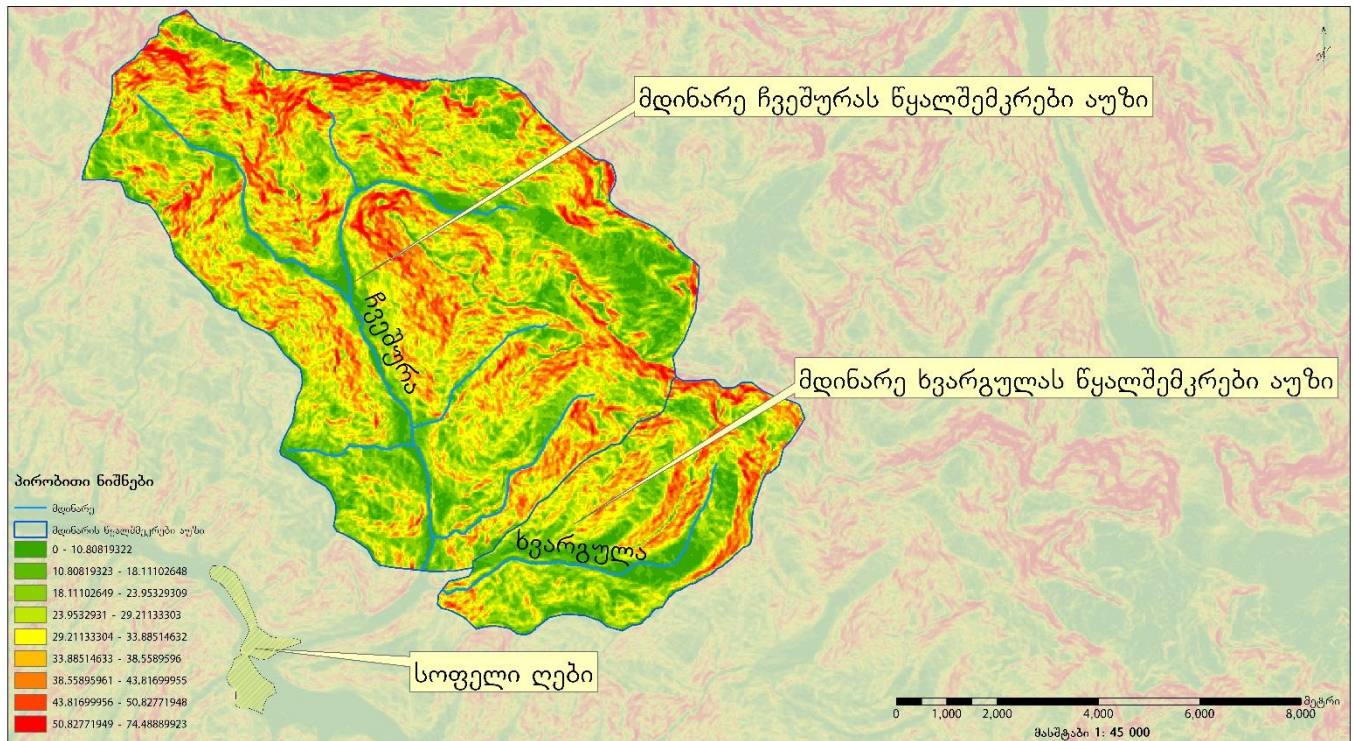
3.1 წყალშემკრები აუზის ტოპოგრაფია

ქვემოთ მოცემული მდინარის წყალშემკრები აუზის თემატური რუკები დამუშავებულია გეოინფორმაციულ სისტემაში (GIS) და ასახავს, როგორც მდინარის ხეობის ჰიდრომეტრულ ცვალებადობას, აგრეთვე ყველა იმ მნიშვნელოვანი პარამეტრის ვიზუალურ მხარეს, რომელიც მონაწილეობას იღებს წყალშემკრებ აუზში, წყლის ფორმირებაზე, როგორებიცაა მცენარეული საფარი, ნიადაგი, დახრილობა, ფერდობების ექსპოზიცია და ა.შ. თემატური რუკები მომზადებულია 1:45 000 მასშტაბში.

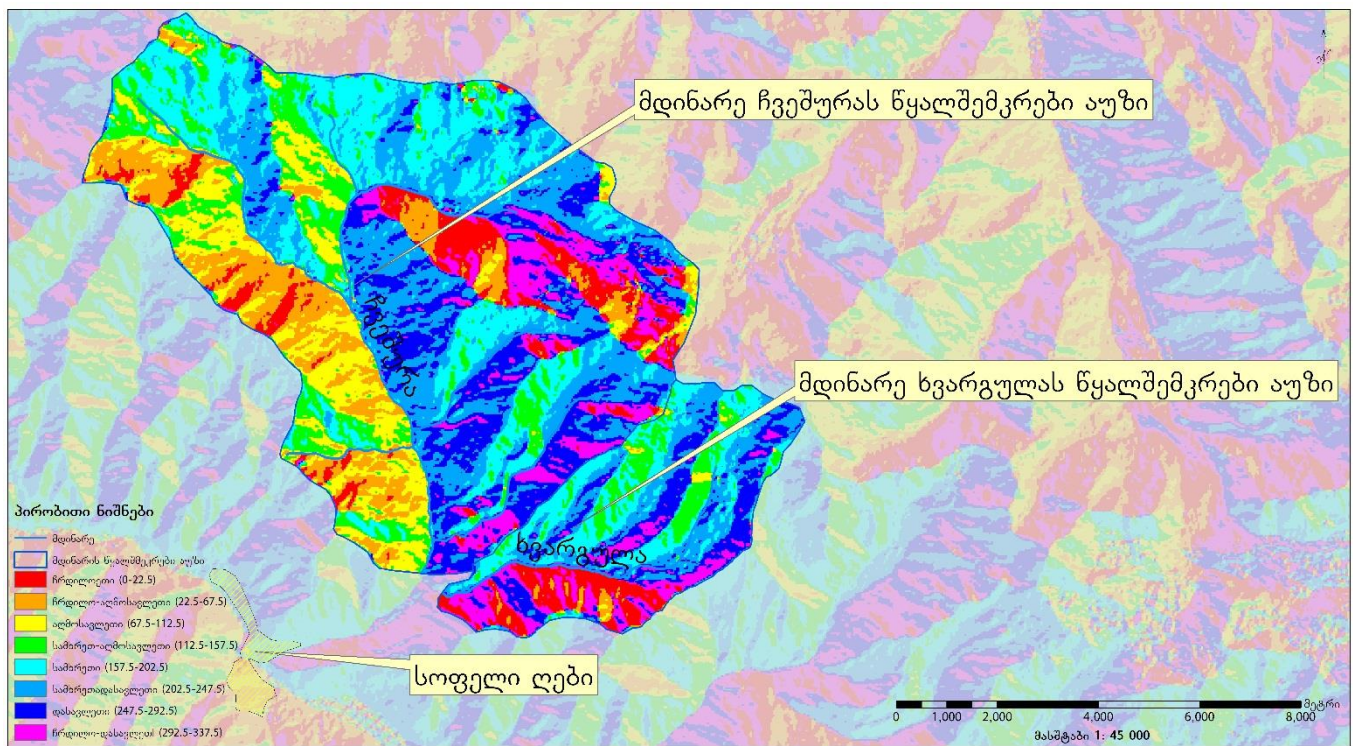
ფოგურა 3.2 მდინარეთა წყალშემკრები აუზების ოროგრაფია



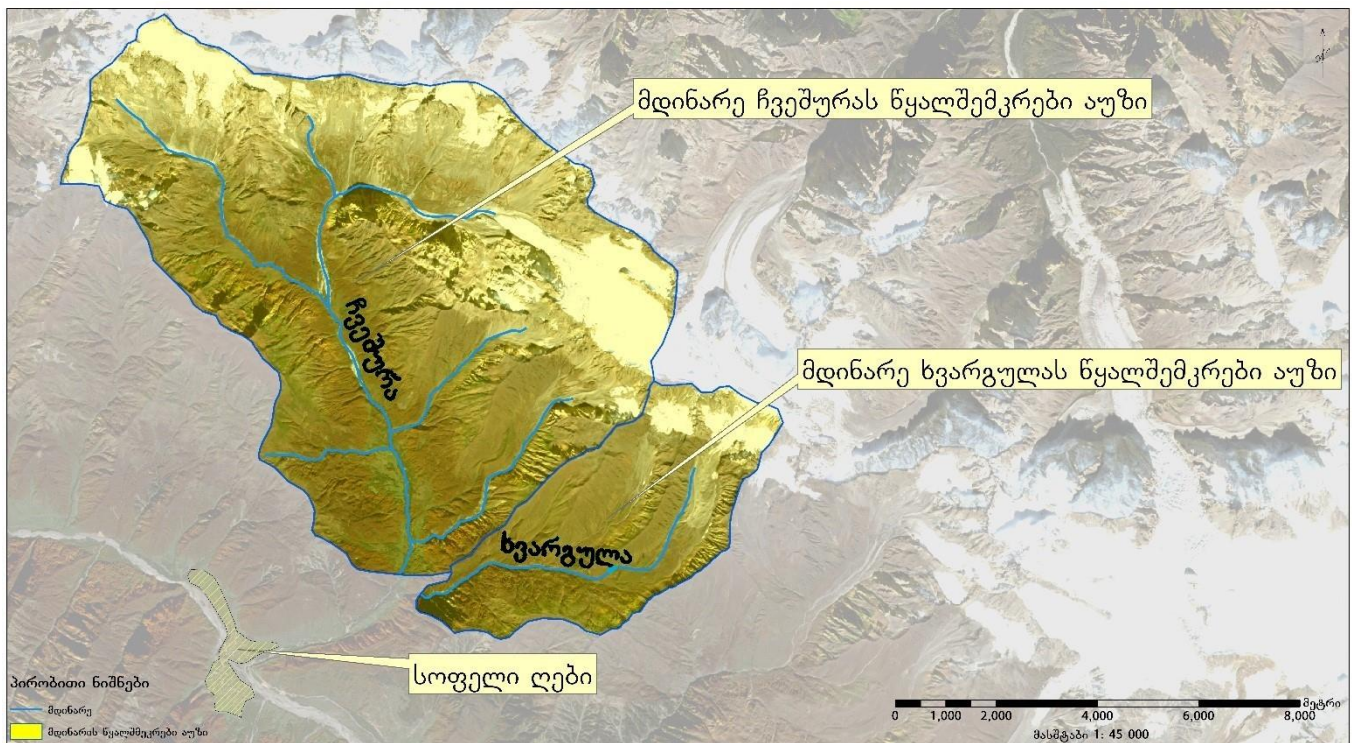
ფიგურა 3.3 მდინარეთა წყალშემცრები აუზების დახრილობა (გრადუსები)



ფიგურა 3.4 მდინარეთა წყალშემცრები აუზების ფერდობთა ექსპოზიცია



ფიგურა 3.5 მდინარეთა წყალშემკრები აუზები აეროფოტოფრაფიულ გამოსახულებაზე



3.2 წყალშემკრებ აუზზე ადამიანის სამეწარმეო საქმიანობის კვალი

გამომდინარე პროექტის გეოგრაფიული მდებარეობიდან, მიმდებარე ტერიტორიის ანთროპოგენული დატვირთვა მინიმალურ დონეზეა და დღეს-დღეობით გამოიხატება ხე-ტყის მოპოვებით. გარდა ამისა ხეობაში გვხვდება ნასოფლარი ასევე საბჭოთა დროინდელი სხვადასხვა დანიშნულების შენობა-ნაგებობის ნანგრევები (ფერმები, საბადოზე მოპოვებული მასალების პირველადი გადამამუშავებელი შენობა ნაგებობები).

3.3 გეოლოგიური გარემო

წყალშემკრები აუზის ზედა ნაწილი მდებარეობს მუდმივი თოვლის საზღვარზე და ხასიათდება მკვეთრად გამოხატული გლაციოლოგიური ფორმებით. მთის ფერდობები ციცაბო და ზოგიერთ ადგილებში დაკიდულია. შემომფარგლავ ქედებზე არსებული მწვერვალები 4000 მ-ზე მაღალია. აუზის რელიეფი მთიანია, ხასიათდება მკვეთრი მოხაზულობით. მდინარის ხეობის ფერდობები დაღარულია გვერდითი შენაკადებისა და მშრალი ხევების ციცაბო ხეობებით.

აუზის ქვედა ნაწილის რელიეფი ხასიათდება გლუვი მოხაზულობით, სიმაღლეების მცირე რყევადობით, ნაკლებად დასერილი, მაგრამ ძნელად გასასვლელით. ფერთდობები დახრილია 30-45°-ით.

აუზი აგებულია გრანიტებით, გნეისებით და კრისტალური ფიქალებით.

3.4 ნიადაგი

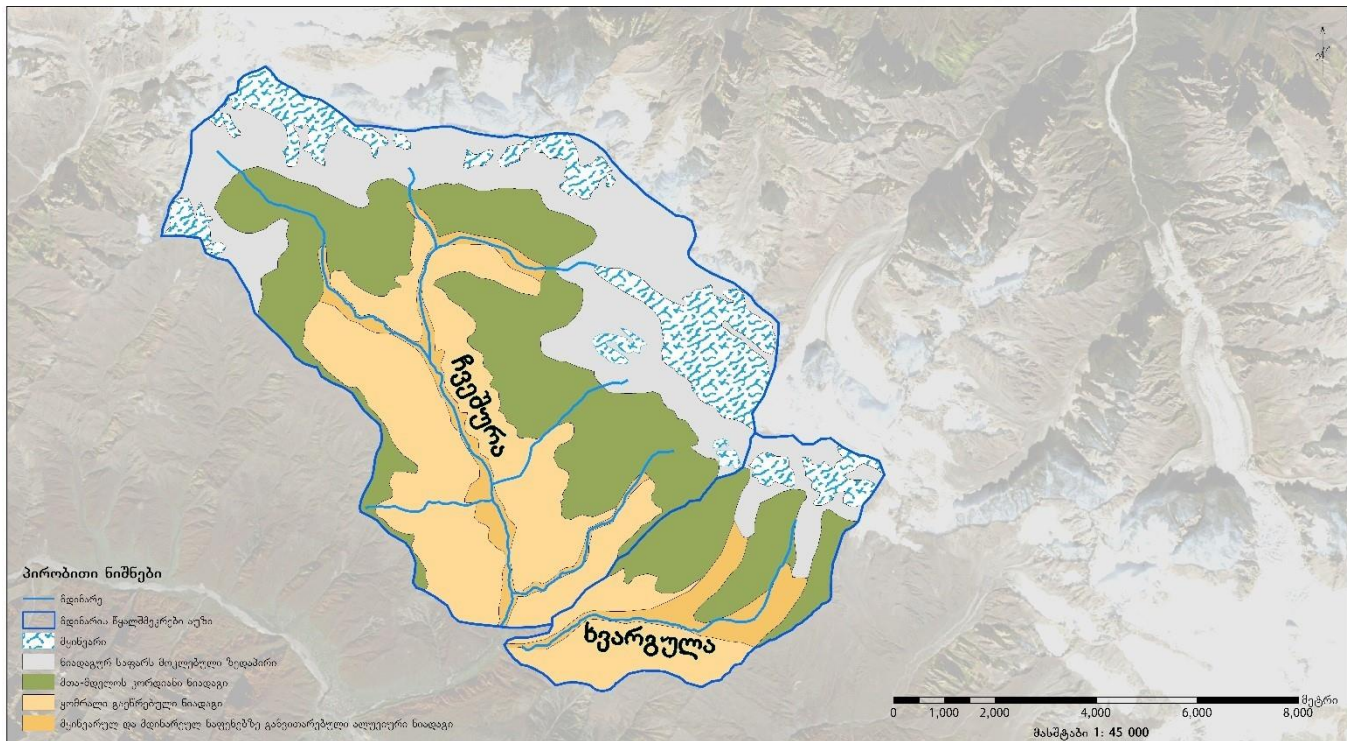
ძირითად ქანებზე განვითარებულია ალპური ზონის პრიმიტიული მცირე სისქის კორდიანტორფიანი მთა-მდელოს ნიადაგი, ხოლო ტყის ზედა სარტყლის ზოლში ღია გაეწერებული ყომრალი ნიადაგი. 2000 წ-ს ზემოთ ალპური ზონისათვის დამახასიათებელია მთა-მდელოს ფორმაციები.

ტყის ზონაში გავრცელებულია ყომრალი და გაეწერებული ყომრალი ნიადაგი.

სიმაღლესთან ერთად იცვლება მათი განვითარების თავისებურებანი, სისქე, მექანიკური და ქიმიური შემადგენლობა. ტყის ყომრალი ნიადაგი გვხვდება საშუალო და სუსტად დახრილ ფერდობებზე. ისინი გამოირჩევან საკმაოდ დიდი სისქით (60-100 სმ).

მდინარის წყალშემკრები აუზის მდებარეობიდან, გეოლოგიური და კლიმატური პირობების მრავალფეროვნებიდან, გამომდინარე რამოდენიმე ტიპის ნიადაგი გვხვდება.

ფიგურა 3.6 ნიადაგების გავცელების რუკა



3.5 მცენარეული საფარი

მდინარეთა წყალშემკრები აუზები, მაღალი ჰიდრომეტრული ცვლილებიდან გამომდინარე, მდიდარია მცენარეული საფრის მრავალფეროვნებით. ხეობაში გვხვდება რამოდენიმე ტიპის ლანდშაფტური ქვეზონა.

წყალშემკრები უზის უჭირავს ფართო ფოთლოვან ტყეს, რომელიც ცნობილია ღების ანომალიის სახელით, რადგანაც საქართველოში იგივე ჰიდრომეტრულ სიმაღლეზე სხვაგან ფართო ფოთლოვანი ტყის მსგავსი სიხშირე არ გვხვდება, რაც განპირობებულია ქვაბულის ეფექტით. მცირე კორომების სახით გვხვდება წიწვოვანი (სოჭი, ნაძვი) მცენარეები.

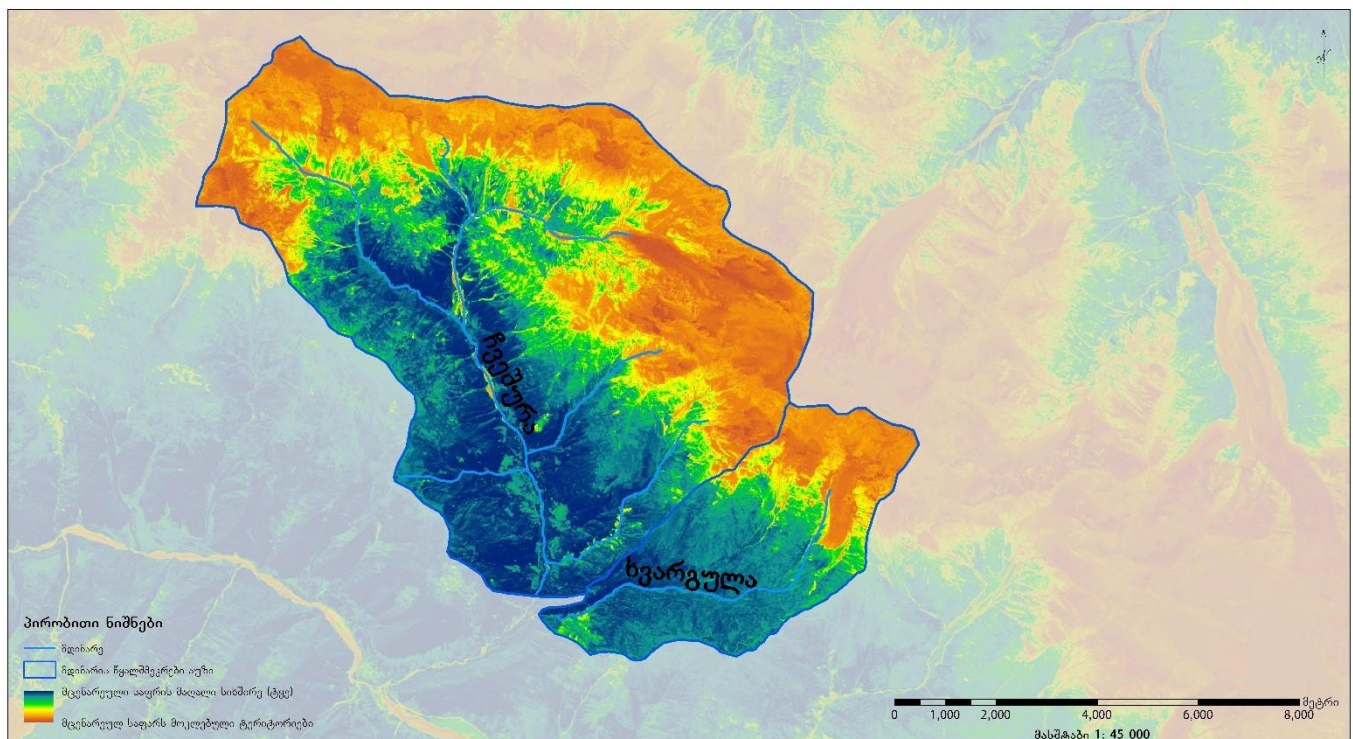
წიფლის ტყე 1400-1500 მ-დაე ვრცელდება, აგრეთვე: ცაცხვი, თელა, წაბლი, ნეკერჩხალი და სხვა. 1400 მ-დან შერეული ტყეა გავრცელებული: წიფელი, ნაძვი, სოჭი და სხვა. ტყის ზედა სარტყელი ტანბრეცილა სუბალპურ ტყეს უკავია (მთის ნეკერჩხალი, არყის ხე, მთის ტირიფი, როდოდონდონი და სხვა).

სუბალპური და ალპური მდელოების ზონა ტყის ზონის ზემოთ იწყება და მოიცავს ქედების ფერდობების და თხემების 2200-2300 მ ზე

ევით. წარმოდგენილია მარცვლოვან-ნაირბალახებით; იზოლირებული უბნების სახით გამოირჩევა შქერი, დეკა, მოცვი, დიყი, დუცი, ბუერა, მთის შროშანი და კენკეშა.

ნივალურ-გლაციალური ზონა (3300-3400 მ) ყველაზე ნაკლებად განვითარებული მცენარეული საფარით და ნიადაგით ხასიათდება. მცენარეულობებიდან აღსანიშნავია ხავსები და მღიერები.

ფიგურა 3.7 მცენარეული საფრის ზონალობის რუკა



4. კლიმატი

რაჭა-ლეჩხუმი მოქცეულია დასავლეთ საქართველოს ნოტიო სუბტროპიკულ ზონაში; რელიეფის მორფომეტრიული და მორფოლოგიური თავისებურებები, ზღვიდან საკმაო დაშორება განაპირობებს ჰავის თავისებურებებს. აქაური ჰავა გარდამავალია ნოტიო სუბტროპიკულიდან კონტინენტურისაკენ.

4.1 ატმოსფერული ნალექი

ატმოსფერული ნალექის მრავალწლიური ყოველთვიური საშუალო და წლიური ჯამის განაწილება მოცემულია ცხრილ 4.1-ში.

ცხრილი 4.1 ყოველთვიური და სეზონური ატმოსფერული ნალექი, მმ

| დასახელება | I | II | III | IV | V | VI | VII | VIII | IX | X | XI | XII | ჯამი |
|---------------------------|----|-----|-----|-----|-----|-----|-----|------|-----|-----|-----|-----|------|
| მამისონის გადასასვლელი | | | 138 | 174 | 148 | 91 | 92 | 109 | | | | | |
| შოვი | 95 | 102 | 103 | 101 | 122 | 114 | 91 | 92 | 102 | 118 | 115 | 109 | 1264 |
| საგლოლო | 94 | 100 | 102 | 100 | 121 | 113 | 91 | 92 | 100 | 117 | 114 | 108 | 1252 |
| გლოლა | 90 | 91 | 93 | 100 | 124 | 118 | 96 | 96 | 103 | 118 | 111 | 105 | 1249 |

4.2 ჰაერის ტემპერატურა

მდინარე რიონის აუზის ჰაერის ტემპერატურის რეჟიმის დასახასიათებლად ცხრილ 4.2, 4.3 და 4.4-ში შესაბამისად მოცემულია ჰაერის ყოველთვიური საშუალო და წლიური, აბსოლუტური მაქსიმალური და მინიმალური ტემპერატურის მნიშვნელობები მეტეოროლოგიურ სადგურების მამისონის გადასასვლელისა და შოვის მონაცემებზე დაყრდნობით.

ცხრილი 4.2 ჰაერის ყოველთვიური საშუალო და წლიური ტემპერატურა, °C

| დასახელება | I | II | III | IV | V | VI | VII | VIII | IX | X | XI | XII | საშ. |
|---------------------------|------|-------|------|------|-----|------|------|------|------|-----|------|------|------|
| მამისონის გადასასვლელი | -12 | -12.2 | -8.9 | -4.1 | 0.9 | 3.8 | 7.7 | 7.6 | 4.0 | 0.5 | -5.3 | -9.1 | -2.4 |
| შოვი | -5.6 | -4.6 | -1.2 | 3.8 | 9.6 | 12.8 | 15.6 | 15.6 | 11.4 | 6.6 | 1.4 | -3.4 | 5.2 |

ცხრილი 4.3 ჰაერის აბსოლიტური მაქსიმალური ტემპერატურა, °C

| დასახელება | I | II | III | IV | V | VI | VII | VIII | IX | X | XI | XII | მინ. |
|---------------------------|-----|-----|-----|-----|-----|----|-----|------|-----|-----|-----|-----|------|
| მამისონის გადასასვლელი | -35 | -33 | -30 | -22 | -14 | -7 | -5 | -5 | -12 | -20 | -28 | -32 | -35 |
| შოვი | -33 | -29 | -26 | -17 | -7 | 0 | 1 | 0 | -5 | -13 | -24 | -28 | -33 |

ცხრილი 4.4 ჰაერის აბსოლიტური მინიმალური ტემპერატურა, °C

| დასახელება | I | II | III | IV | V | VI | VII | VIII | IX | X | XI | XII | მაქს. |
|---------------------------|----|----|-----|----|----|----|-----|------|----|----|----|-----|-------|
| მამისონის გადასასვლელი | 4 | 6 | 11 | 15 | 16 | 19 | 22 | 22 | 20 | 17 | 12 | 8 | 22 |
| შოვი | 12 | 17 | 22 | 26 | 27 | 30 | 32 | 32 | 31 | 29 | 22 | 14 | 32 |

მეტეოროლოგიური სადგურების მამისონის გადასასვლელისა და შოვის დაკვირვებული მრავალწლიური მონაცემების მიხედვით ჰაერის ყოველთვიური საშუალო და წლიური ტემპერატურა მერყეობს ($15.6\text{--}(-12.2)^\circ\text{C}$) ფარგლებში, შოვში ჰაერის აბსოლუტური მინიმალური და მაქსიმალური ტემპერატურა ($-33\text{--}(+32)^\circ\text{C}$) ფარგლებში, ხოლო მამისონის გადასასვლელზე ($-35\text{--}(+22)^\circ\text{C}$) ფარგლებში.

მშენებლობის პერიოდში დიდი მნიშვნელობა ენიჭება ყინვის დაწყებისა და დამთავრების თარიღებს, აგრეთვე უყინვო დღეთა რიცხვს.

ყინვის დაწყებისა და დამთავრების თარიღები და უყინვო დღეთა საშუალო რიცხვი მოცემულია ცხრილ 4.5-ში.

ცხრილი 4.5 ყინვის დაწყებისა და დამთავრების თარიღი და უყინვო დღეთა რაოდენობა

| დასახელება | ყინვიან დღეთა თარიღი | | | | | | უყინვო დღეთა რიცხვი |
|---------------------------|----------------------|---------|-------|---------|---------|-------|---------------------|
| | დამთავრება | | | დაწყება | | | |
| | საშუალო | პირველი | ბოლო | საშუალო | პირველი | ბოლო | საშუალო |
| მამისონის გადასასვლელი | 21.03 | 5.02 | 24.04 | 05.09 | 11.1 | 12.01 | 69 |
| შოვი | 19.03 | | | 05.10 | | | 151 |

4.3 ქარი

ქარის მიმართულება, შტილის რიცხვი და ქარის სიჩქარე მოცემულია ცხრილ 4.6-სა და 4.7-ში.

ცხრილი 4.6 ქარის სიჩქარე, მ/წმ

| დასახელება | I | II | III | IV | V | VI | VII | VIII | IX | X | XI | XII | საშ |
|------------------------|-----|-----|-----|-----|-----|-----|-----|------|-----|-----|-----|-----|-----|
| ფლიუგერის სიმაღლე 7 მ | | | | | | | | | | | | | |
| მამისონის გადასასვლელი | 6.6 | 6.7 | 6.2 | 5.2 | 4.4 | 4.7 | 4.8 | 4.6 | 4.8 | 5.6 | 5.5 | 6.2 | 5.4 |
| ფლიუგერის სიმაღლე 12 მ | | | | | | | | | | | | | |
| შოვი | 1.1 | 1.7 | 1.5 | 1.3 | 1.2 | 1.0 | 1.0 | 0.8 | 1.0 | 1.3 | 1.3 | 1.2 | 1.2 |

მეტეოროლოგიურ სადგურ შოვის მონაცემებით ქარის წლიური საშუალო სიჩქარე ტოლია 1.2 მ/წმ, ძლიერდება თებერვლისა და მარტის თვეებში. ქარის სიჩქარის უმცირესი მნიშვნელობა აღინიშნა აგვისტოს თვეში (0.8 მ/წმ).

ქარის უდიდესი სიჩქარე სხვადასხვა უზრუნველყოფით მოცემულია ცხრილ 4.7-ში.

ცხრილი 4.7 ქარის სხვადასხვა უზრუნველყოფით უდიდესი სიჩქარე, მ/წმ

| დასახელება | შესაძლებელი, წელიწადში ერთხელ | | | | |
|------------------------|-------------------------------|----|----|----|----|
| | 1 | 5 | 10 | 15 | 20 |
| მამისონის გადასასვლელი | 32 | 33 | 42 | 43 | 44 |
| შოვი | 10 | 15 | 17 | 19 | 20 |

4.4 ჰაერის ტენიანობა

მდინარე ჩვეშურასა და ხვარგულას წყალშემკრები აუზის განსახილველი ტერიტორიის ჰაერის ტენიანობა ხასიათდება შემდეგი სიდიდეებით: ყოველთვიური საშუალო და წლიური წყლის ორთქლის დრეკადობა (პარციალური წნევა), ფარდობითი ტენიანობა და ტენიანობის დეფიციტი, რომლებიც შესაბამისად მოცემულია ცხრილ 4.8, 4.9-სა და 4.10-ში.

ცხრილი 4.8 წყლის ორთქლის დრეკადობა, ჰპა

| დასახელება | I | II | III | IV | V | VI | VII | VIII | IX | X | XI | XII | საშ |
|------------------------|-----|-----|-----|-----|-----|------|------|------|------|-----|-----|-----|-----|
| მამისონის გადასასვლელი | 2.0 | 2.0 | 2.3 | 3.8 | 5.2 | 6.8 | 8.6 | 8.2 | 6.4 | 4.4 | 3.2 | 2.5 | 4.6 |
| შოვი | 3.5 | 3.7 | 4.4 | 6.0 | 8.6 | 11.0 | 13.2 | 12.8 | 10.3 | 7.2 | 5.5 | 4.2 | 7.5 |

ცხრილი 4.9 ფარდობითი ტენიანობა, %

| დასახელება | I | II | III | IV | V | VI | VII | VIII | IX | X | XI | XII | საშ |
|------------|---|----|-----|----|---|----|-----|------|----|---|----|-----|-----|
| | | | | | | | | | | | | | |

| | | | | | | | | | | | | | |
|---------------------------|----|----|----|----|----|----|----|----|----|----|----|----|----|
| მამისონის გადასასვლელი | 81 | 83 | 83 | 81 | 82 | 82 | 81 | 80 | 80 | 78 | 74 | 76 | 80 |
| შოვი | 80 | 80 | 78 | 76 | 74 | 75 | 76 | 76 | 80 | 80 | 80 | 81 | 78 |

ცხრილი 4.10 ტენიანობის დეფიციტი, ჰპა

| დასახელება | I | II | III | IV | V | VI | VII | VIII | IX | X | XI | XII | საშ |
|---------------------------|-----|-----|-----|-----|-----|-----|-----|------|-----|-----|-----|-----|-----|
| მამისონის გადასასვლელი | 0.6 | 0.6 | 0.6 | 1.0 | 1.4 | 1.8 | 2.2 | 2.5 | 2.1 | 1.6 | 1.2 | 0.9 | 1.4 |
| შოვი | 1.0 | 1.1 | 1.6 | 2.7 | 4.0 | 4.8 | 5.3 | 5.2 | 3.6 | 2.6 | 1.8 | 1.2 | 2.9 |

წყალშემკრებ აუზში ორთქლის დრეკადობის წლიური საშუალო მაჩვენებელი დიდი არ არის, მისი მნიშვნელობა კლებულობს სიმაღლის მატებასთან ერთად. წყლის ორთქლის დრეკადობის ყოველწლიური ცვლილება პრაქტიკულად ემთხვევა ჰაერის ტემპერატურის ყოველწლიურ ცვლილებას.

5. ჭიდროლოგია

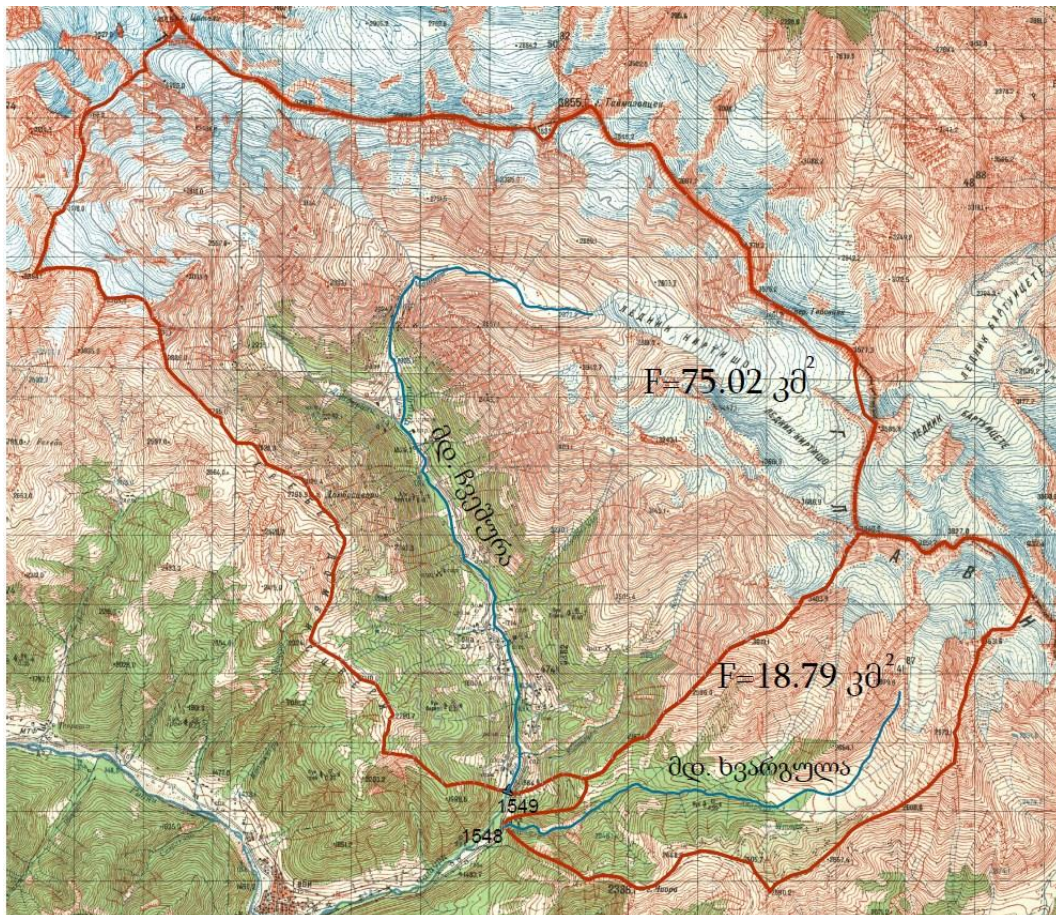
5.1 მდინარის წყლის რესურსის შეფასება

ჭიორაჰესის მშენებლობისთვის შეირჩა სათავე ნაგებობის გასწორის ნიშნულები: მდ. ჩვეშურასა (N1549 მ.ზ.დ) და ხვარგულაზე (N1548 მ.ზ.დ). მდინარის წყლის რესურსის შეფასება ძალზედ მნიშვნელოვან პროცესს წარმოადგენს, ამიტომაც ანგარიშის მომზადებისას დიდი ყურადღება მიენიჭა მეთოდებს და ხელმისაწვდომ მასალებს, რომლელთა მოპოვებაც მოხერხდა მდინარე ჩვეშურასა და ხვარგულასათვის. გამომდინარე იქედან რომ შერჩეული მდინარეები ჭიდროლოგიურად შეუსწავლელია, ჭიდროლოგიურ ანგარიშში მდინარის წყლის რესურსის განსაზღვრისათვის დიდი ყურადღება მიენიჭა როგორც თეორიულ ფორმულებს ასევე ანალოგი მდინარის მონაცემებს. ჭიდროლოგიური ანგარიშის დროს ანალოგად შეირჩა მდინარე ჭანჭახი, რადგანაც მასზე მდებარე ჭიდროლოგიური საგუშაგო და მისი მიერ შეგროვებული მონაცემები ყველაზე მეტად მისაღები იყო მდინარე ჩვეშურასა და ხვარგულაზე ჭიდროლოგიური მონაცეების საანგარიშოდ. გარდა ამისა გადამოწმების მიზნით მდინარეთა მრავალწლიური ხარჯის საშუალო მონაცემები ასევე გამოითვალა ფორმულებით. ჭიდროლოგიური მონაცემების სანდოობის გაზრდის მიზნით აუცილებელია განახლდეს წყლის რაოდენობის კონტროლი მდინარის ხეობაში, რათა სათანადოდ განისაზღვროს გარემოსდაცვითი ხარჯისა და წარმოებული ელექტროენერგიის რაოდენობა აგრეთვე განისაზღვროს ჭესის ინფრასტრუქტურის სათანადო პარამეტრები (თევზსავალი, წყალმიმღები, სადაწნეო მიღლი და ა.შ).

5.2 წყლის მრავალწლიური საშუალო ხარჯის სიდიდის განსაზღვრა

მოცემულ თავში განხილულია მდინარის მრავალწლიური საშუალო ხარჯის სიდიდის განსაზღვრის მეთოდიები, რომლებიც მოიაზრებს მდ. ჭანჭახი-ჭ/ს შესართავთან დაკვირვებულ მონაცემთა რიგის, ანალოგის მეთოდით მდინარის შესაბამის ნიშნულზე გადატანას, რაც წყალშემკრები აუზების ფართობთა ურთიერთდამოკიდებულებით გამოიხატება. აგრეთვე მდინარის მრავალწლიური საშუალო ხარჯის მონაცემის გამოთვლას ჩამონადენის ფენისა და წყალშემკრები აუზის საშუალო სიმაღლის ურთიერთდამოკიდებულების მრუდით.

ფიგურა 5.1 მდ. ჩვეშურას და ხვარგულას წყალშემკრები აუზი

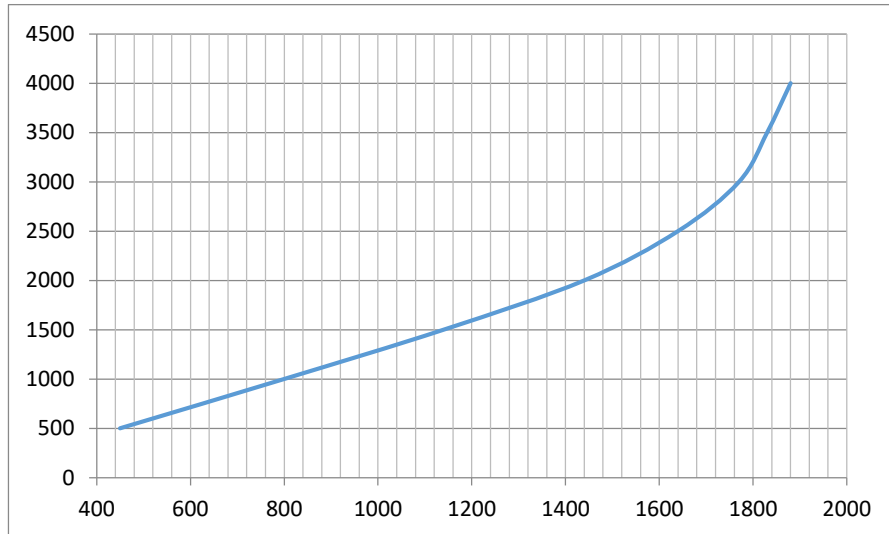


გამოთვლილია მდ. ჩვეშურაზე ($\nabla 1549$ მ.ზ.დ) და ხვარგულაზე ($\nabla 1548$ მ.ზ.დ) წყალშემკრები აუზის ფართობი და საშუალო სიმაღლე.

მრავალწლიური საშუალო ჩამონადენის ფენის სიმაღლე განისაზღვრა წყალშემკრები აუზის საშუალო სიმაღლესა და ჩამონადენის ფენას შორის დამოკიდებულების მრუდიდან, რომელიც ამოღებულია ლ.ა.ვლადიმიროვ, დ.ი.შაკარიშვილი, თ.ი.გაბრიჩიძე "Водный баланс Грузии" მეცნიერებათა აკადემია, თბილისი, 1974 წ.

დამოკიდებულება ჩამონადენის ფენასა და აუზის საშუალო სიმაღლეს შორის მოცემულია ფიგურა 5.2-ზე ცხრილთან ერთად.

ფიგურა 5.2 ჩამონადენის ფენასა და აუზის საშუალო სიმაღლეს შორის
დამოვიდებულების მრუდი



| XI რაიონი | |
|------------|------|
| h, მმ/წელ. | H მ. |
| 450 | 500 |
| 800 | 1000 |
| 1140 | 1500 |
| 1440 | 2000 |
| 1640 | 2500 |
| 1770 | 3000 |
| 1830 | 3500 |
| 1880 | 4000 |

მდინარე ჩვეშურასა ($\nabla 1549$ მ.ზ.დ) და ხვარგულაზე ($\nabla 1548$ მ.ზ.დ) ჩამონადენის წყლის ნაკადის მრავალწლიური საშუალო ხარჯი გამოთვლილია ფორმულით:

$$Q = \frac{F \times h}{T},$$

სადაც:

F - წყალშემკრები აუზის ფართობი, კმ^2 ;

h - ჩამონადენის ფენის სიმაღლე, მმ/წელი;

Q - წყლის მრავალწლიური საშუალო ხარჯი, $\text{მ}^3/\text{წ}\text{წ}$;

H - წყალშემკრები აუზის საშუალო სიმაღლე, მ;

T - წამების რაოდენობაა წელიწადში.

გამოთვლების შედეგი მოცემულია ცხრილ 5.1-ში.

ცხრილი 5.1 ჭიორა ჰესის აუზის პარამეტრები

| N | დასახელება | F, კმ^2 | H, მ | h, მმ | Q, $\text{მ}^3/\text{წ}\text{წ}$ |
|---|------------|------------------|------|-------|----------------------------------|
| 2 | ჭიორაჰესი | | | | 5.02 |

| | | | | | |
|---|----------------------------|-------|------|------|------|
| 3 | მდ. ჩვეშურა (ზ1549 მ.ზ.დ) | 75.02 | 2679 | 1687 | 4.02 |
| 4 | მდ. ხვარგულა (ზ1548 მ.ზ.დ) | 18.79 | 2656 | 1681 | 1.00 |

ანალოგად მდ. ჩვეშურასა და ხვარგულაზე სქემით შერჩეული მონაცემის ძირითადი ჰიდროლოგიური მახასიათებლების გამოსათვლელად გამოყენებულია მდ. ჭანჭახი-ჰ/ს შესართავთან დაკვირვებული მონაცემების უწყვეტი 24 წლიანი რიგი (1967-1990). მდინარეზე მრავალწლიური დაკვირვების მასალები ამოღებულია ცნობარებიდან (Основные Гидрологические характеристики том 9 Закавказия и Дагестан выпуск 1) გამოცემული 1967 წ, 1977 წ, 1978 წ, 1987 წ. გარემოს ეროვნული სააგენტოს მიერ გამოშვებულ წელწლიურებიდან და 1987-90 წელს გარემოს ეროვნული სააგენტოდან, რომელიც მოცემულია ცხრილ 5.2-ში.

ცხრილი 5.2 მდ. ჭანჭახი-ჰ/ს შესართავთან ყოველთვიური და წლიური საშუალო ხარჯი, მ³/წ

| წელი | I | II | III | IV | V | VI | VII | VIII | IX | X | XI | XII | საშ. |
|------|------|------|------|-------|-------|-------|-------|-------|-------|------|------|------|-------|
| 1967 | 1.84 | 1.65 | 1.74 | 3.42 | 11.16 | 11.83 | 11.46 | 12.52 | 5.70 | 3.58 | 2.62 | 2.35 | 5.82 |
| 1968 | 2.30 | 2.16 | 2.37 | 8.00 | 14.05 | 17.49 | 15.46 | 10.80 | 8.04 | 5.72 | 4.14 | 2.20 | 7.73 |
| 1969 | 1.83 | 1.38 | 1.44 | 5.41 | 16.43 | 16.18 | 13.18 | 13.04 | 7.17 | 5.74 | 4.11 | 3.46 | 7.45 |
| 1970 | 2.20 | 1.97 | 2.42 | 9.96 | 13.37 | 15.33 | 15.81 | 12.23 | 6.59 | 5.18 | 4.35 | 3.74 | 7.76 |
| 1971 | 2.80 | 2.43 | 2.48 | 4.31 | 11.94 | 12.99 | 10.14 | 9.65 | 8.46 | 4.61 | 3.69 | 3.21 | 6.39 |
| 1972 | 1.85 | 1.68 | 1.69 | 8.41 | 10.05 | 13.35 | 12.23 | 10.74 | 8.09 | 9.14 | 5.97 | 2.50 | 7.14 |
| 1973 | 2.28 | 2.17 | 2.29 | 4.50 | 10.28 | 13.06 | 12.74 | 11.07 | 5.42 | 4.63 | 3.95 | 3.43 | 6.32 |
| 1974 | 2.65 | 2.21 | 3.27 | 3.92 | 14.40 | 18.32 | 11.25 | 9.42 | 6.28 | 5.03 | 3.18 | 2.31 | 6.85 |
| 1975 | 2.02 | 1.97 | 2.33 | 10.21 | 14.65 | 18.75 | 17.77 | 11.81 | 6.57 | 5.09 | 3.88 | 3.04 | 8.17 |
| 1976 | 2.85 | 2.44 | 2.49 | 8.64 | 16.65 | 18.64 | 18.45 | 16.41 | 8.61 | 4.52 | 3.91 | 2.80 | 8.87 |
| 1977 | 2.31 | 2.12 | 2.28 | 4.57 | 9.93 | 14.40 | 13.12 | 13.09 | 7.50 | 6.55 | 3.34 | 1.89 | 6.76 |
| 1978 | 2.55 | 2.58 | 4.51 | 7.31 | 15.63 | 19.25 | 20.74 | 14.88 | 9.33 | 7.24 | 6.13 | 4.93 | 9.59 |
| 1979 | 4.57 | 3.85 | 4.36 | 9.34 | 18.81 | 18.08 | 19.79 | 17.58 | 11.61 | 6.84 | 7.29 | 3.76 | 10.49 |
| 1980 | 2.90 | 2.59 | 2.18 | 8.93 | 19.57 | 16.81 | 15.72 | 13.15 | 9.39 | 6.35 | 4.41 | 3.49 | 8.79 |
| 1981 | 2.68 | 2.55 | 2.84 | 5.46 | 12.40 | 22.98 | 20.56 | 13.00 | 13.12 | 6.99 | 4.81 | 4.43 | 9.32 |
| 1982 | 3.45 | 2.79 | 2.81 | 13.22 | 22.03 | 20.78 | 17.55 | 10.98 | 8.08 | 4.60 | 3.24 | 2.63 | 9.35 |
| 1983 | 2.18 | 2.14 | 2.70 | 8.86 | 15.59 | 19.41 | 12.56 | 14.23 | 8.89 | 7.15 | 5.91 | 5.04 | 8.72 |
| 1984 | 2.90 | 2.30 | 2.83 | 8.29 | 16.11 | 22.04 | 22.38 | 13.07 | 8.34 | 5.26 | 3.11 | 2.55 | 9.10 |
| 1985 | 2.10 | 1.97 | 1.76 | 8.59 | 16.66 | 15.17 | 12.72 | 10.46 | 8.99 | 7.21 | 4.94 | 3.50 | 7.84 |
| 1986 | 2.91 | 2.91 | 3.41 | 9.40 | 10.59 | 17.16 | 12.44 | 8.05 | 5.99 | 3.10 | 2.91 | 2.47 | 6.78 |
| 1987 | 2.23 | 2.25 | 2.35 | 4.03 | 26.30 | 36.60 | 26.20 | 15.90 | 7.02 | 5.11 | 4.61 | 3.96 | 11.38 |
| 1988 | 2.99 | 1.98 | 2.20 | 11.00 | 15.80 | 27.10 | 21.90 | 20.60 | 9.24 | 5.82 | 4.62 | 3.31 | 10.55 |
| 1989 | 2.81 | 2.60 | 3.54 | 12.00 | 16.80 | 24.70 | 22.40 | 15.10 | 8.13 | 7.30 | 4.57 | 3.91 | 10.32 |
| 1990 | 3.51 | 2.95 | 3.44 | 10.60 | 22.10 | 25.60 | 20.90 | 12.90 | 10.60 | 6.72 | 5.21 | 3.86 | 10.70 |
| საშ. | 2.61 | 2.32 | 2.65 | 7.85 | 15.47 | 19.00 | 16.56 | 12.94 | 8.22 | 5.81 | 4.37 | 3.28 | 8.425 |

ანალოგი მდინარის ყოველთვიური საშუალო ხარჯის რანჟირებით შერჩეული სხვადასხვა უზრუნველყოფით წყლის საშუალო ხარჯის შიდაწლიური განაწილება.

შერჩეულ სათავე ნაგებობის გასწორებზე მდ. ჩვეშურასა ($\nabla 1549$ მ.ზ.დ) და ხვარგულაზე ($\nabla 1548$ მ.ზ.დ) წყლის ყოველთვიური და წლიური საშუალო ხარჯი, 10, 50, 75 და 90% უზრუნველყოფა განისაზღვრა შესაბამისი ანალოგი მდინარის წყლის 24-წლიანი რიგის ყოველთვიური და წლიური საშუალო ხარჯის მონაცემების გადამყვან კოეფიციენტზე გადამრავლებით, რომელიც გამოითვლება შემდეგი ფორმულით:

$$K = \frac{Q_{კვეთი}}{Q_{ანალოგი}},$$

სადაც

$Q_{კვეთი}$ - ჰესის სათავე ნაგებობის გასწორში წყლის მრავალწლიური საშუალო ხარჯი, m^3/\dot{m} ;

$Q_{ანალოგი}$ - ანალოგი მდინარის წყლის მრავალწლიური საშუალო ხარჯი, m^3/\dot{m} .

გადამყვანი კოეფიციენტი: $K_{ჩვეშურა} = 0.477435$, $K_{ხვარგულა} = 0.118765$

მდინარე ჩვეშურასა ($\nabla 1549$ მ.ზ.დ) და ხვარგულას ($\nabla 1548$ მ.ზ.დ) წყლის ყოველთვიური საშუალო ხარჯი მიღებულია შესაბამის გადამყვან კოეფიციენტზე გადამრავლებით, რომელიც მოცემულია ცხრილ 5.3-სა და 5.4-ში.

ცხრილი 5.3 მდ. ჩვეშურას წყლის ყოველთვიური და წლიური საშუალო ხარჯი, m^3/\dot{m}

| წელი | I | II | III | IV | V | VI | VII | VIII | IX | X | XI | XII | საშ. |
|------|------|------|------|------|------|-------|------|------|------|------|------|------|------|
| 1967 | 0.88 | 0.79 | 0.83 | 1.63 | 5.35 | 5.63 | 5.44 | 5.97 | 2.72 | 1.71 | 1.25 | 1.12 | 2.78 |
| 1968 | 1.10 | 1.03 | 1.13 | 3.82 | 6.73 | 8.36 | 7.40 | 5.16 | 3.84 | 2.73 | 1.98 | 1.05 | 3.69 |
| 1969 | 0.87 | 0.66 | 0.69 | 2.58 | 7.83 | 7.73 | 6.30 | 6.21 | 3.42 | 2.74 | 1.96 | 1.65 | 3.55 |
| 1970 | 1.05 | 0.94 | 1.16 | 4.76 | 6.40 | 7.30 | 7.54 | 5.82 | 3.15 | 2.47 | 2.08 | 1.79 | 3.70 |
| 1971 | 1.34 | 1.16 | 1.18 | 2.06 | 5.68 | 6.21 | 4.82 | 4.61 | 4.04 | 2.20 | 1.76 | 1.53 | 3.05 |
| 1972 | 0.88 | 0.80 | 0.81 | 4.02 | 4.77 | 6.35 | 5.82 | 5.11 | 3.86 | 4.36 | 2.85 | 1.19 | 3.40 |
| 1973 | 1.09 | 1.04 | 1.09 | 2.15 | 4.92 | 6.25 | 6.06 | 5.30 | 2.59 | 2.21 | 1.89 | 1.64 | 3.02 |
| 1974 | 1.27 | 1.06 | 1.56 | 1.87 | 6.88 | 8.74 | 5.35 | 4.50 | 3.00 | 2.40 | 1.52 | 1.10 | 3.27 |
| 1975 | 0.96 | 0.94 | 1.11 | 4.87 | 6.97 | 8.98 | 8.50 | 5.63 | 3.14 | 2.43 | 1.85 | 1.45 | 3.90 |
| 1976 | 1.36 | 1.16 | 1.19 | 4.13 | 7.93 | 8.88 | 8.78 | 7.83 | 4.11 | 2.10 | 1.87 | 1.34 | 4.22 |
| 1977 | 1.10 | 1.01 | 1.09 | 2.18 | 4.74 | 6.88 | 6.25 | 6.25 | 3.59 | 3.13 | 1.59 | 0.90 | 3.23 |
| 1978 | 1.22 | 1.23 | 2.15 | 3.49 | 7.45 | 9.21 | 9.88 | 7.11 | 4.45 | 3.46 | 2.93 | 2.35 | 4.58 |
| 1979 | 2.18 | 1.83 | 2.08 | 4.46 | 8.98 | 8.64 | 9.45 | 8.40 | 5.54 | 3.27 | 3.48 | 1.80 | 5.01 |
| 1980 | 1.38 | 1.24 | 1.04 | 4.26 | 9.36 | 8.02 | 7.50 | 6.25 | 4.48 | 3.03 | 2.11 | 1.67 | 4.20 |
| 1981 | 1.28 | 1.22 | 1.36 | 2.60 | 5.92 | 10.97 | 9.82 | 6.21 | 6.27 | 3.34 | 2.30 | 2.12 | 4.45 |

| | | | | | | | | | | | | | |
|------|------|------|------|------|-------|-------|-------|------|------|------|------|------|------|
| 1982 | 1.65 | 1.33 | 1.34 | 6.31 | 10.52 | 9.92 | 8.38 | 5.24 | 3.86 | 2.20 | 1.55 | 1.25 | 4.46 |
| 1983 | 1.04 | 1.02 | 1.29 | 4.23 | 7.44 | 9.27 | 6.00 | 6.79 | 4.24 | 3.41 | 2.82 | 2.41 | 4.16 |
| 1984 | 1.38 | 1.10 | 1.35 | 3.96 | 7.69 | 10.52 | 10.69 | 6.24 | 3.98 | 2.51 | 1.48 | 1.22 | 4.34 |
| 1985 | 1.00 | 0.94 | 0.84 | 4.10 | 7.95 | 7.24 | 6.07 | 4.99 | 4.29 | 3.44 | 2.36 | 1.67 | 3.74 |
| 1986 | 1.39 | 1.39 | 1.63 | 4.49 | 5.06 | 8.19 | 5.94 | 3.84 | 2.86 | 1.48 | 1.39 | 1.18 | 3.24 |
| 1987 | 1.06 | 1.07 | 1.12 | 1.92 | 12.56 | 17.47 | 12.51 | 7.59 | 3.35 | 2.44 | 2.20 | 1.89 | 5.43 |
| 1988 | 1.43 | 0.95 | 1.05 | 5.25 | 7.54 | 12.94 | 10.46 | 9.84 | 4.41 | 2.78 | 2.21 | 1.58 | 5.04 |
| 1989 | 1.34 | 1.24 | 1.69 | 5.73 | 8.02 | 11.79 | 10.69 | 7.21 | 3.88 | 3.49 | 2.18 | 1.87 | 4.93 |
| 1990 | 1.68 | 1.41 | 1.64 | 5.06 | 10.55 | 12.22 | 9.98 | 6.16 | 5.06 | 3.21 | 2.49 | 1.84 | 5.11 |
| საშ. | 1.25 | 1.11 | 1.27 | 3.75 | 7.38 | 9.07 | 7.90 | 6.18 | 3.92 | 2.77 | 2.09 | 1.57 | 4.02 |

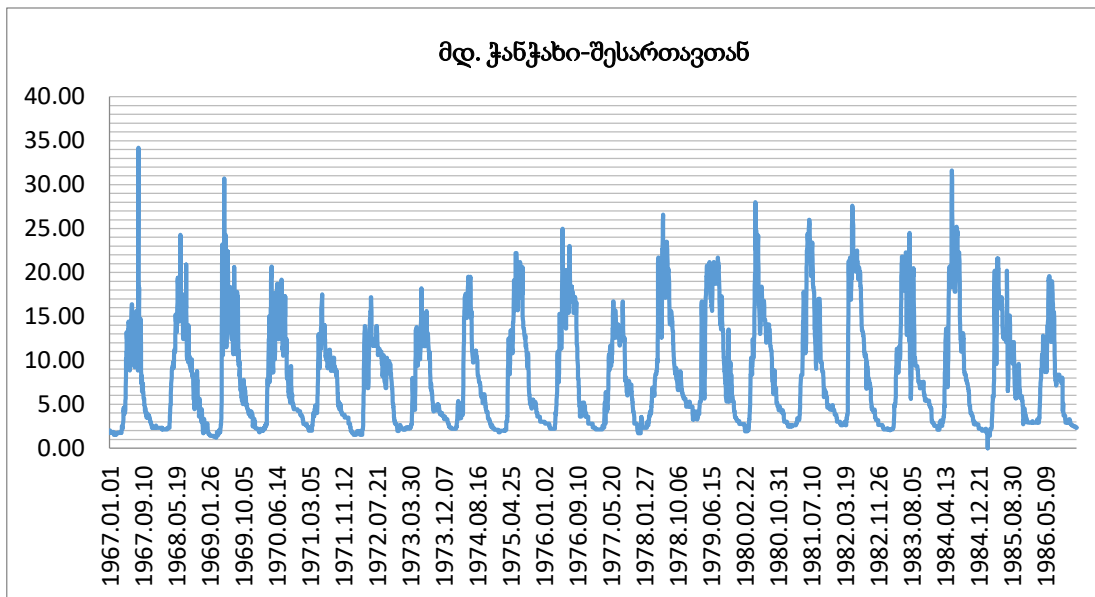
ცხრილი 5.4 მდ. ხვარგულას წყლის ყოველთვიური და წლიური საშუალო ხარჯი, მ³/წთ

| წელი | I | II | III | IV | V | VI | VII | VIII | IX | X | XI | XII | საშ. |
|------|------|------|------|------|------|------|------|------|------|------|------|------|------|
| 1967 | 0.22 | 0.20 | 0.21 | 0.41 | 1.33 | 1.40 | 1.35 | 1.48 | 0.68 | 0.43 | 0.31 | 0.28 | 0.69 |
| 1968 | 0.27 | 0.26 | 0.28 | 0.95 | 1.67 | 2.08 | 1.84 | 1.28 | 0.95 | 0.68 | 0.49 | 0.26 | 0.92 |
| 1969 | 0.22 | 0.16 | 0.17 | 0.64 | 1.95 | 1.92 | 1.57 | 1.54 | 0.85 | 0.68 | 0.49 | 0.41 | 0.88 |
| 1970 | 0.26 | 0.23 | 0.29 | 1.18 | 1.59 | 1.82 | 1.88 | 1.45 | 0.78 | 0.62 | 0.52 | 0.44 | 0.92 |
| 1971 | 0.33 | 0.29 | 0.29 | 0.51 | 1.41 | 1.54 | 1.20 | 1.15 | 1.00 | 0.55 | 0.44 | 0.38 | 0.76 |
| 1972 | 0.22 | 0.20 | 0.20 | 1.00 | 1.19 | 1.58 | 1.45 | 1.27 | 0.96 | 1.09 | 0.71 | 0.30 | 0.85 |
| 1973 | 0.27 | 0.26 | 0.27 | 0.53 | 1.22 | 1.56 | 1.51 | 1.32 | 0.64 | 0.55 | 0.47 | 0.41 | 0.75 |
| 1974 | 0.31 | 0.26 | 0.39 | 0.47 | 1.71 | 2.17 | 1.33 | 1.12 | 0.75 | 0.60 | 0.38 | 0.27 | 0.81 |
| 1975 | 0.24 | 0.23 | 0.28 | 1.21 | 1.73 | 2.23 | 2.11 | 1.40 | 0.78 | 0.60 | 0.46 | 0.36 | 0.97 |
| 1976 | 0.34 | 0.29 | 0.30 | 1.03 | 1.97 | 2.21 | 2.19 | 1.95 | 1.02 | 0.52 | 0.46 | 0.33 | 1.05 |
| 1977 | 0.27 | 0.25 | 0.27 | 0.54 | 1.18 | 1.71 | 1.56 | 1.56 | 0.89 | 0.78 | 0.40 | 0.22 | 0.80 |
| 1978 | 0.30 | 0.31 | 0.54 | 0.87 | 1.85 | 2.29 | 2.46 | 1.77 | 1.11 | 0.86 | 0.73 | 0.58 | 1.14 |
| 1979 | 0.54 | 0.46 | 0.52 | 1.11 | 2.23 | 2.15 | 2.35 | 2.09 | 1.38 | 0.81 | 0.87 | 0.45 | 1.25 |
| 1980 | 0.34 | 0.31 | 0.26 | 1.06 | 2.33 | 2.00 | 1.86 | 1.56 | 1.12 | 0.75 | 0.52 | 0.41 | 1.04 |
| 1981 | 0.32 | 0.30 | 0.34 | 0.65 | 1.47 | 2.73 | 2.44 | 1.54 | 1.56 | 0.83 | 0.57 | 0.53 | 1.11 |
| 1982 | 0.41 | 0.33 | 0.33 | 1.57 | 2.62 | 2.47 | 2.08 | 1.30 | 0.96 | 0.55 | 0.38 | 0.31 | 1.11 |
| 1983 | 0.26 | 0.25 | 0.32 | 1.05 | 1.85 | 2.31 | 1.49 | 1.69 | 1.06 | 0.85 | 0.70 | 0.60 | 1.04 |
| 1984 | 0.34 | 0.27 | 0.34 | 0.98 | 1.91 | 2.62 | 2.66 | 1.55 | 0.99 | 0.62 | 0.37 | 0.30 | 1.08 |
| 1985 | 0.25 | 0.23 | 0.21 | 1.02 | 1.98 | 1.80 | 1.51 | 1.24 | 1.07 | 0.86 | 0.59 | 0.42 | 0.93 |
| 1986 | 0.35 | 0.35 | 0.40 | 1.12 | 1.26 | 2.04 | 1.48 | 0.96 | 0.71 | 0.37 | 0.35 | 0.29 | 0.80 |
| 1987 | 0.26 | 0.27 | 0.28 | 0.48 | 3.12 | 4.35 | 3.11 | 1.89 | 0.83 | 0.61 | 0.55 | 0.47 | 1.35 |
| 1988 | 0.36 | 0.24 | 0.26 | 1.31 | 1.88 | 3.22 | 2.60 | 2.45 | 1.10 | 0.69 | 0.55 | 0.39 | 1.25 |
| 1989 | 0.33 | 0.31 | 0.42 | 1.43 | 2.00 | 2.93 | 2.66 | 1.79 | 0.97 | 0.87 | 0.54 | 0.46 | 1.23 |
| 1990 | 0.42 | 0.35 | 0.41 | 1.26 | 2.62 | 3.04 | 2.48 | 1.53 | 1.26 | 0.80 | 0.62 | 0.46 | 1.27 |
| საშ. | 0.31 | 0.28 | 0.32 | 0.93 | 1.84 | 2.26 | 1.97 | 1.54 | 0.98 | 0.69 | 0.52 | 0.39 | 1.00 |

ჰესის სათავე ნაგებობის გასწორში წყლის ხარჯის შიდაწლიური განაწილება შესრულდა ანალოგი მდ. ჭანჭახი-ჰ/ს შესართავთან 24 წლიანი უწყვეტი რიგის (1967-1990) ყოველთვიური საშუალო ხარჯის გამოყენებით.

ანალოგი მდინარის ყოველთვიური საშუალო ხარჯის უწყვეტი რიგის მონაცემები მოცემულია ცხრილ 5.2-ში, ხოლო ჭიდროგრაფი ფიგურა 5.3-ზე.

ფიგურა 5.3 მრავალწლიური მოდინების ჭიდროგრაფი



ყოველწლიური საშუალო ხარჯით შეირჩა: უხვწყლიანი (10%), საშუალო (50%) და მცირეწყლიანი (75, 90%) ხარჯი. შერჩეულ ნიშნულებზე გადასვლა შესრულდა გამოთვლილ კოეფიციენტზე გადამრავლებით. 10, 50, 75, 90%-იანი უზრუნველყოფის ყოველთვიური და წლიური წყლის საშუალო ხარჯი, როგორც ანალოგი მდინარის, ასევე მდ. ჩვეშურასა და ხვარგულას სათავე ნაგებობის კვეთების ნიშნულებზე მოცემულია ცხრილ 5.5-ში.

ყოველწლიური საშუალო ხარჯის მონაცამებისა და სტატისტიკური ჭიდროლოგიური მახასიათებლების საანგარიშო პროგრამა StokStat-ით მიღებულია მდ. ჭანჭახი-ჰ/ს შესართავთან უზრუნველყოფის მრუდის პარამეტრები:

მრავალწლიური საშუალო ხარჯი $Q = 8.423 \text{ m}^3/\text{წმ}$, $n=24$;

ვარიაციის კოეფიციენტი $Cv=0.189$;

ასიმეტრიის კოეფიციენტი $C_s=2 \times C_v$.

ამ პარამეტრებით აგებულია მრავალწლიური საშუალო ხარჯის უზრუნველყოფის მრუდი, რომელიც მოცემულია ფიგურა 5.4-ზე, ხოლო სამ პარამეტრიანი გამა-განაწილების ორდინატის მეშვეობით გამოთვლილია სხვადასხვა უზრუნველყოფით წყლის მრავალწლიური საშუალო ხარჯი.

ფიგურა 5.4 საშუალო ხარჯის უზრუნველყოფის მრუდი



წყლის მრავალწლიური საშუალო ხარჯი 0.01-95%-იანი უზრუნველყოფით ანალოგ მდინარეზე და სქემით შერჩეულ სათავე ნაგებობების გასწორზე მოცემულია ცხრილ 5.5-ში.

ცხრილი 5.5 წყლის მრავალწლიური საშუალო ხარჯი უზრუნველყოფით (0.01- 95%)

| დასახელება | უზრუნველყოფა, % | | | | | | | | | | | | | | | | |
|-----------------------------|-----------------|------|------|------|------|------|------|------|------|------|------|------|------|------|------|------|------|
| | 0.01 | 0.1 | 0.5 | 1 | 3 | 5 | 10 | 20 | 25 | 30 | 50 | 60 | 70 | 75 | 80 | 90 | 95 |
| ანალოგი | 15.8 | 14.2 | 13.1 | 12.6 | 11.7 | 11.2 | 10.5 | 9.70 | 9.46 | 9.14 | 8.31 | 7.93 | 7.51 | 7.29 | 7.06 | 6.45 | 5.98 |
| მდ.ჩვეშურა N1549 მ.ზ.დ. | 7.52 | 6.80 | 6.27 | 6.00 | 5.58 | 5.35 | 5.01 | 4.63 | 4.51 | 4.37 | 3.97 | 3.78 | 3.59 | 3.48 | 3.37 | 3.08 | 2.86 |
| მდ.ხვარგულა N1548 მ.ზ.დ. | 1.87 | 1.69 | 1.56 | 1.49 | 1.39 | 1.33 | 1.25 | 1.15 | 1.12 | 1.09 | 0.99 | 0.94 | 0.89 | 0.87 | 0.84 | 0.77 | 0.71 |

ანგარიშის შედეგად მიღებული პროცენტული განაწილება მოცემულია ცხრილ 5.6-ში.

ცხრილი 5.6 წყლის საშუალო, 10, 50, 75 და 90%-იანი უზრუნველყოფით ხარჯი, მ³/წმ

| N | დასახელება | Q _{საშ.} | Q _{10%} | Q _{50%} | Q _{75%} | Q _{90%} |
|---|---------------------------|-------------------|------------------|------------------|------------------|------------------|
| 1 | მდ. ჭანჭახი შესართავთან | 8.42 | 10.50 | 8.31 | 7.29 | 6.45 |
| 2 | მდ. ჩვეშურა ვ1549 მ.ზ.დ. | 4.02 | 5.01 | 3.97 | 3.48 | 3.08 |
| 3 | მდ. ხვარგულა ვ1548 მ.ზ.დ. | 1.0 | 1.25 | 0.99 | 0.87 | 0.77 |

მდინარე ჩვეშურასა და ხვარგულაზე წყლის შერჩეული უზრუნველყოფის ხარჯის შიდაწლიური განაწილება განხორციელდა ანალოგი მდინარის ყოველთვიური საშუალო ხარჯის სინქრონულად.

10, 50, 75, 90%-იანი უზრუნველყოფის ყოველთვიური და წლიური წყლის საშუალო ხარჯი, როგორც ანალოგის ასევე კვეთის ნიშნულებზე მოცემულია ცხრილ 5.7-ში.

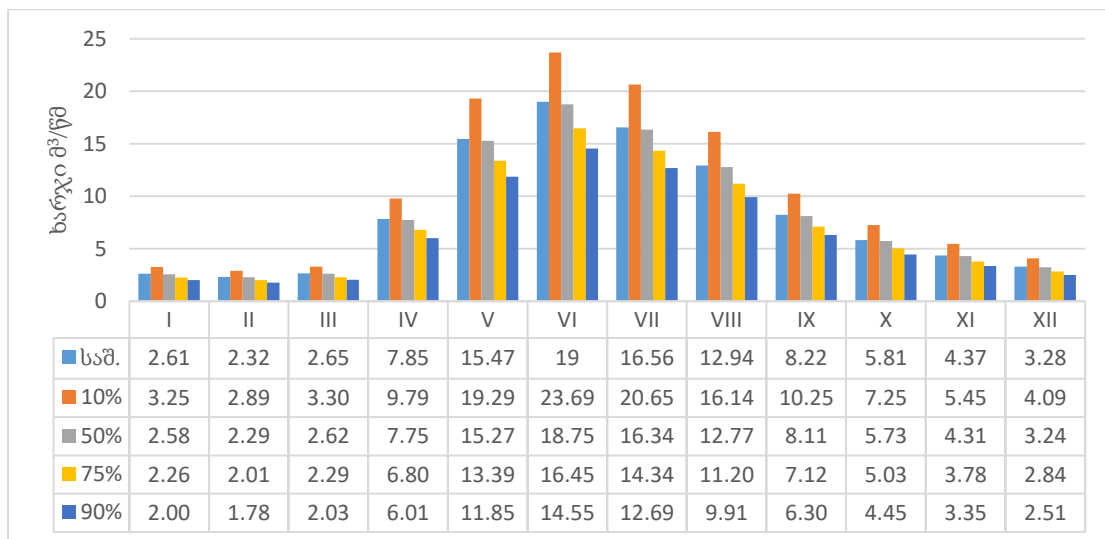
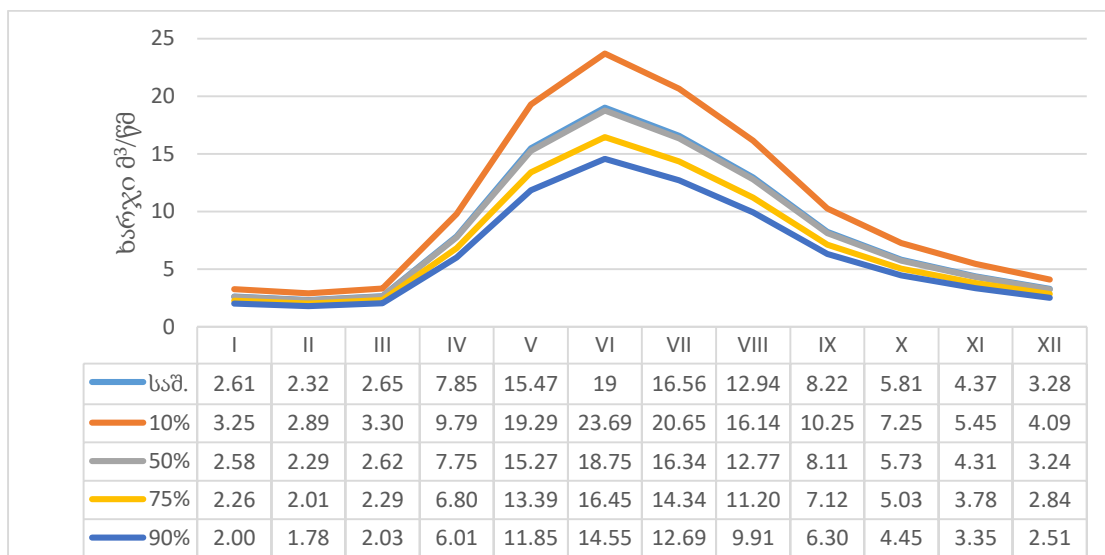
ცხრილი 5.7 უზრუნველყოფის ყოველთვიური და წლიური წყლის საშუალო ხარჯი, მ³/წმ.

| ანალოგი მდ. ჭანჭახი-ჰ/ს შესართავთან F=183 კმ ² | | | | | | | | | | | | | |
|---|------|------|------|-------|-------|-------|-------|-------|-------|------|------|------|-------|
| საშ. | I | II | III | IV | V | VI | VII | VIII | IX | X | XI | XII | საშ. |
| საშ. | 2.61 | 2.32 | 2.65 | 7.85 | 15.47 | 19 | 16.56 | 12.94 | 8.22 | 5.81 | 4.37 | 3.28 | 8.42 |
| მაქს. | 4.57 | 3.85 | 4.51 | 13.22 | 26.3 | 36.6 | 26.2 | 20.6 | 13.12 | 9.14 | 7.29 | 5.04 | 11.38 |
| მინ. | 1.83 | 1.38 | 1.44 | 3.42 | 9.93 | 11.83 | 10.14 | 8.05 | 5.42 | 3.1 | 2.62 | 1.89 | 5.82 |
| 10% | 3.25 | 2.89 | 3.30 | 9.79 | 19.29 | 23.69 | 20.65 | 16.14 | 10.25 | 7.25 | 5.45 | 4.09 | 10.50 |
| 50% | 2.58 | 2.29 | 2.62 | 7.75 | 15.27 | 18.75 | 16.34 | 12.77 | 8.11 | 5.73 | 4.31 | 3.24 | 8.31 |
| 75% | 2.26 | 2.01 | 2.29 | 6.80 | 13.39 | 16.45 | 14.34 | 11.20 | 7.12 | 5.03 | 3.78 | 2.84 | 7.29 |
| 90% | 2.00 | 1.78 | 2.03 | 6.01 | 11.85 | 14.55 | 12.69 | 9.91 | 6.30 | 4.45 | 3.35 | 2.51 | 6.45 |
| მდ. ჩვეშურა, ვ1549 მ, F=75.02 კმ ² K=0.477435 | | | | | | | | | | | | | |
| საშ. | 1.25 | 1.11 | 1.27 | 3.75 | 7.39 | 9.07 | 7.91 | 6.18 | 3.92 | 2.77 | 2.09 | 1.57 | 4.02 |
| მაქს. | 2.18 | 1.83 | 2.15 | 6.31 | 12.56 | 17.47 | 12.51 | 9.84 | 6.27 | 4.36 | 3.48 | 2.41 | 5.43 |
| მინ. | 0.87 | 0.66 | 0.69 | 1.63 | 4.74 | 5.63 | 4.82 | 3.84 | 2.59 | 1.48 | 1.25 | 0.9 | 2.78 |
| 10% | 1.55 | 1.38 | 1.58 | 4.67 | 9.21 | 11.31 | 9.86 | 7.70 | 4.89 | 3.46 | 2.60 | 1.95 | 5.01 |
| 50% | 1.23 | 1.09 | 1.25 | 3.70 | 7.29 | 8.95 | 7.80 | 6.10 | 3.87 | 2.74 | 2.06 | 1.55 | 3.97 |
| 75% | 1.08 | 0.96 | 1.10 | 3.24 | 6.39 | 7.85 | 6.85 | 5.35 | 3.40 | 2.40 | 1.81 | 1.36 | 3.48 |
| 90% | 0.95 | 0.85 | 0.97 | 2.87 | 5.66 | 6.95 | 6.06 | 4.73 | 3.01 | 2.12 | 1.60 | 1.20 | 3.08 |
| მდ. ხვარგულა (ჩვეშურას მარცხენა შენაკადი) F =18.79 კმ ² K=0.118765 | | | | | | | | | | | | | |
| საშ. | 0.31 | 0.28 | 0.31 | 0.93 | 1.84 | 2.26 | 1.97 | 1.54 | 0.98 | 0.69 | 0.52 | 0.39 | 1.00 |
| მაქს. | 0.54 | 0.46 | 0.54 | 1.57 | 3.12 | 4.35 | 3.11 | 2.45 | 1.56 | 1.09 | 0.87 | 0.6 | 1.35 |
| მინ. | 0.22 | 0.16 | 0.17 | 0.41 | 1.18 | 1.4 | 1.2 | 0.96 | 0.64 | 0.37 | 0.31 | 0.22 | 0.69 |
| 10% | 0.39 | 0.34 | 0.39 | 1.16 | 2.29 | 2.81 | 2.45 | 1.92 | 1.22 | 0.86 | 0.65 | 0.49 | 1.25 |
| 50% | 0.31 | 0.27 | 0.31 | 0.92 | 1.81 | 2.23 | 1.94 | 1.52 | 0.96 | 0.68 | 0.51 | 0.38 | 0.99 |
| 75% | 0.27 | 0.24 | 0.27 | 0.81 | 1.59 | 1.95 | 1.70 | 1.33 | 0.85 | 0.60 | 0.45 | 0.34 | 0.87 |
| 90% | 0.24 | 0.21 | 0.24 | 0.71 | 1.41 | 1.73 | 1.51 | 1.18 | 0.75 | 0.53 | 0.40 | 0.30 | 0.77 |
| ჭიორა პესი | | | | | | | | | | | | | |
| საშ. | 1.56 | 1.38 | 1.58 | 4.68 | 9.22 | 11.33 | 9.87 | 7.71 | 4.90 | 3.46 | 2.61 | 1.96 | 5.02 |
| 10% | 1.94 | 1.72 | 1.97 | 5.84 | 11.50 | 14.13 | 12.31 | 9.62 | 6.11 | 4.32 | 3.25 | 2.44 | 6.26 |

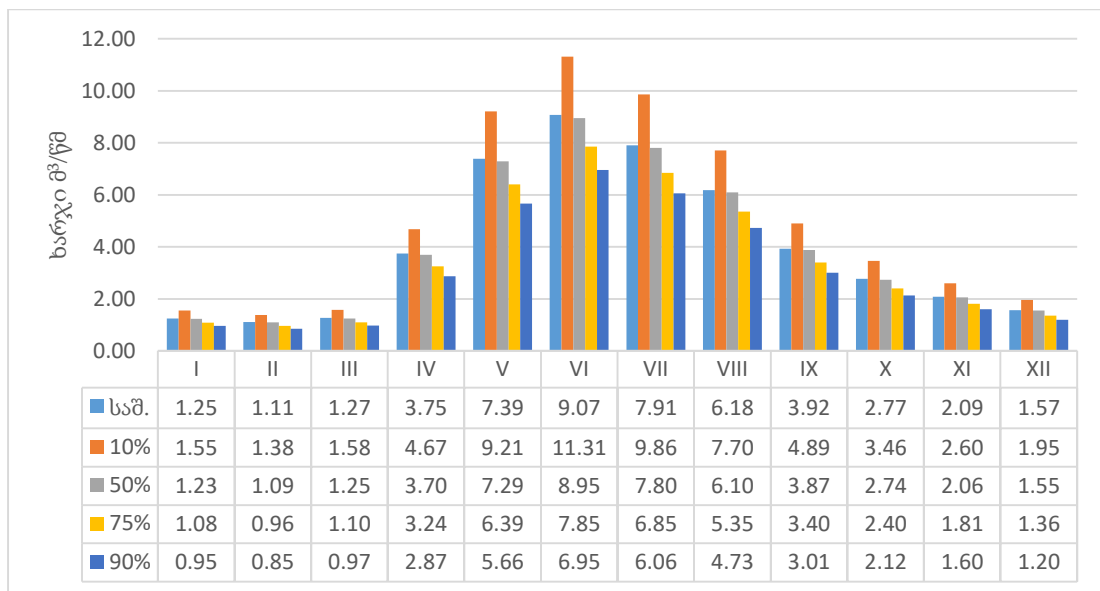
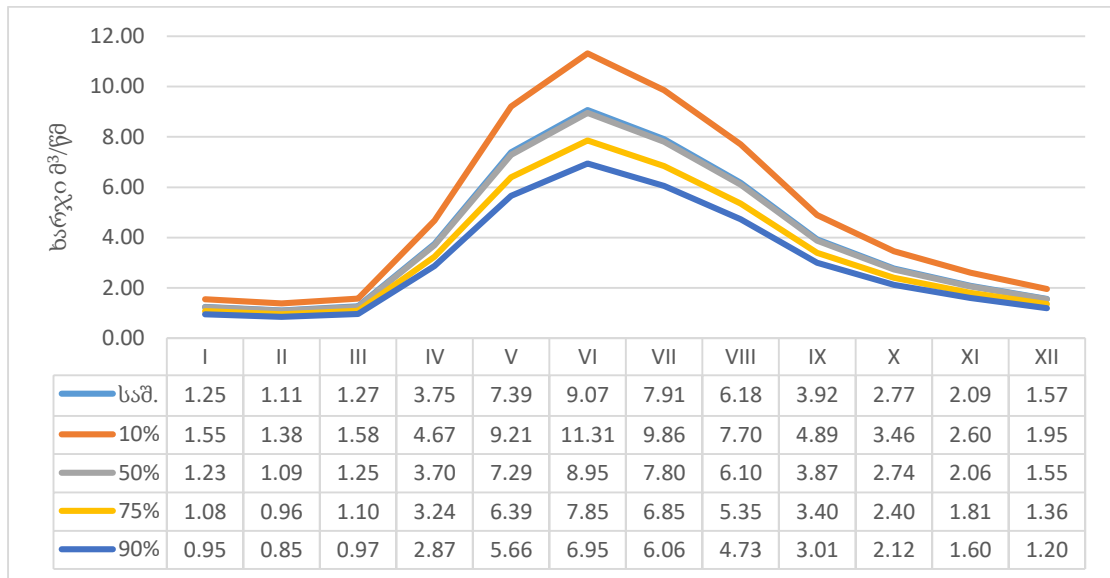
| | | | | | | | | | | | | | |
|-----|------|------|------|------|------|-------|------|------|------|------|------|------|------|
| 50% | 1.54 | 1.37 | 1.56 | 4.62 | 9.10 | 11.18 | 9.74 | 7.61 | 4.84 | 3.42 | 2.57 | 1.93 | 4.96 |
| 75% | 1.35 | 1.20 | 1.37 | 4.05 | 7.99 | 9.81 | 8.55 | 6.68 | 4.24 | 3.00 | 2.26 | 1.69 | 4.35 |
| 90% | 1.19 | 1.06 | 1.21 | 3.59 | 7.07 | 8.68 | 7.56 | 5.91 | 3.75 | 2.65 | 2.00 | 1.50 | 3.85 |

ჭიორაპესის და შერჩეულ კვეთებში საშუალო, მცირეწყლიანი და უხვწყლიანი მოდინების ჰიდროგრაფი მოცემულია ფიგურა 5.5, 5.6, 5.7-სა და 5.8-ზე.

ფიგურა 5.5 მდ. ჭანჭახი-ჰ/ს შესართავთან წყლის ჰიდროგრაფი და დიაგრამა სხვადასხა უზრუნველყოფით

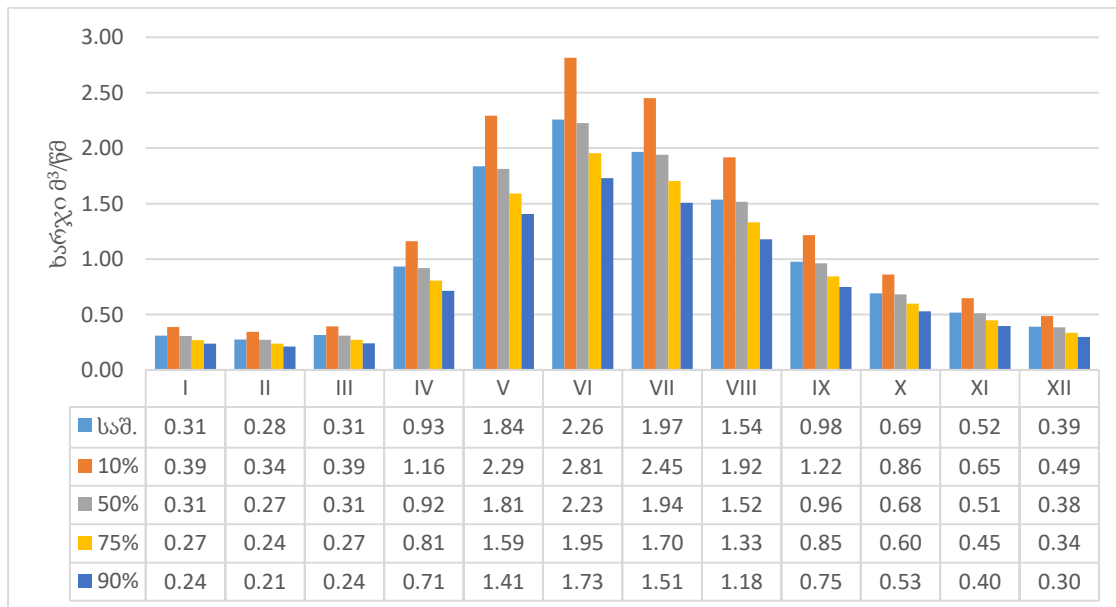
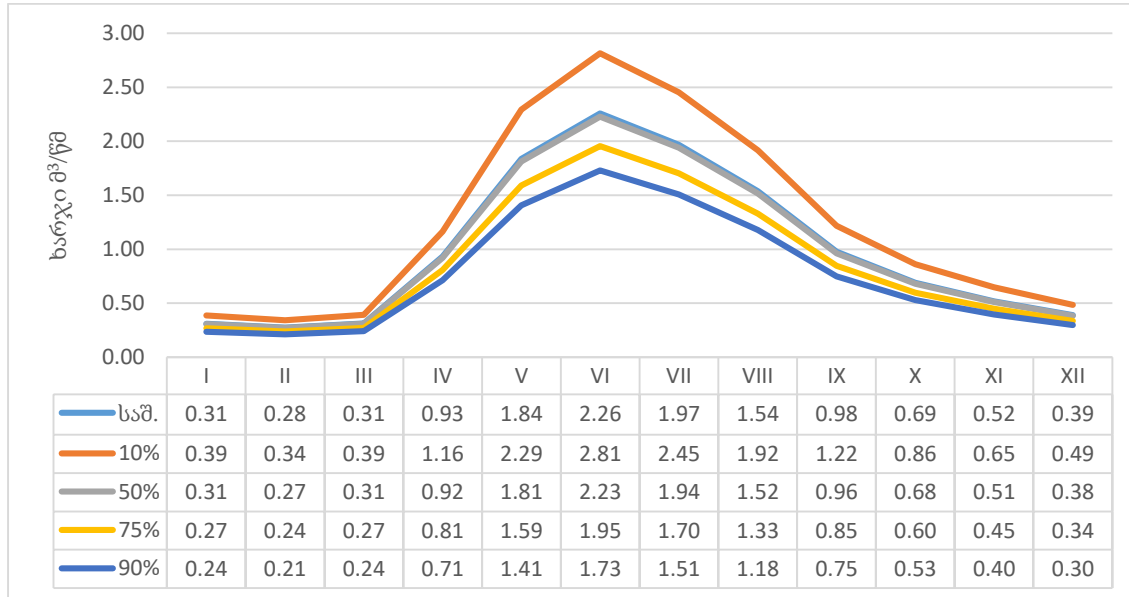


ფიგურა 5.6 მდ. ჩვეშურას წყლის ჰიდროგრაფი და დიაგრამა სხვადასხვა უზრუნველყოფით

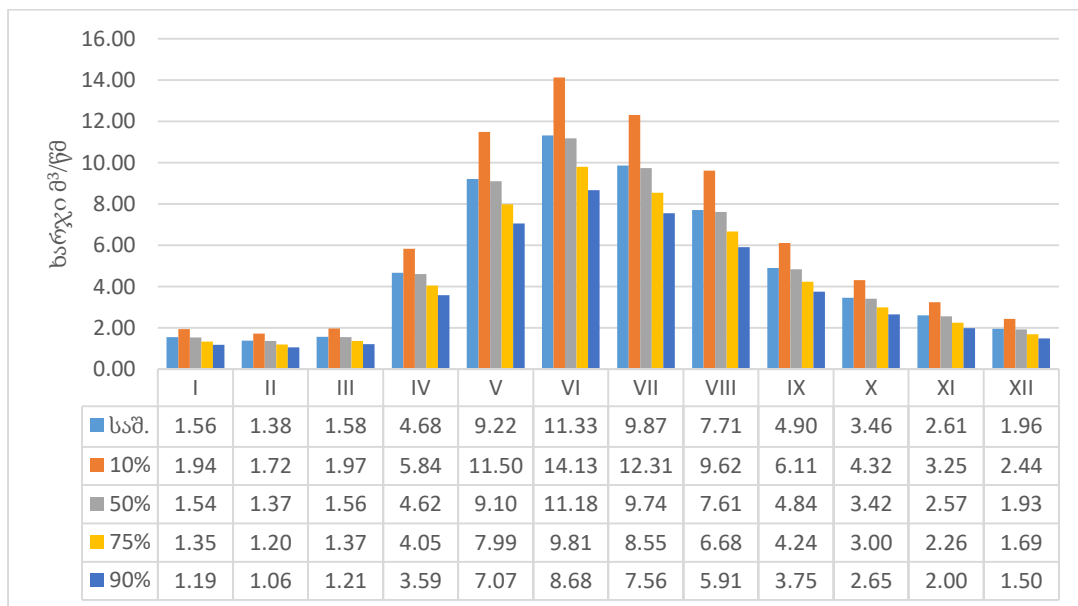
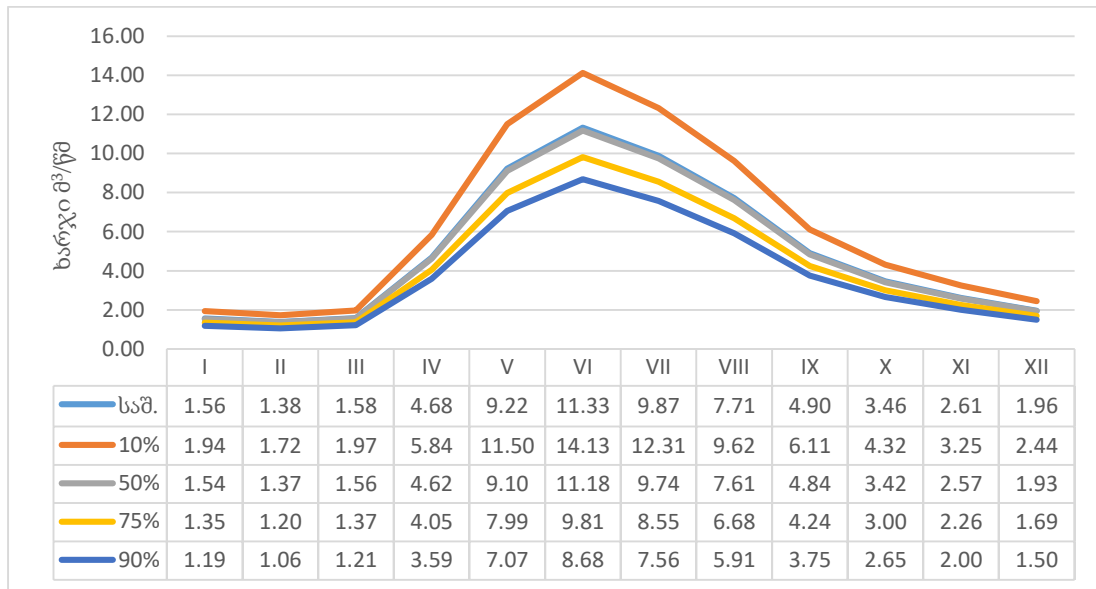


ჰიდროლოგია

ფიგურა 5.7 მდ. ხვარგულას წყლის ჰიდროგრაფი და დიაგრამა სხვადასხვა უზრუნველყოფით



ფიგურა 5.8 ჭიორა ჰესის წყლის ჰიდროგრაფი და დიაგრამა სხვადასხვა უზრუნველყოფით



მდინარე ჩვეშურასა და ხვარგულას ყოველდღიური ხარჯის მონაცემები, აგრეთვე გამოთვლილია წყალშმკრები აუზის ფართობების შეფარდებით და მდ. ჭანჭახის-ჰ/ს შესართავთან 20 წლიანი (1967-86 წწ) დაკვირვებული წყლის ყოველდღიური ხარჯის მონაცემების შესაბამის კოეფიციენტზე გადამრავლებით, რომელიც გამოითვლება შემდეგი ფორმულით:

$$K = \frac{F_{კვთვი}}{F_{ანალიზი}}$$

სადაც,

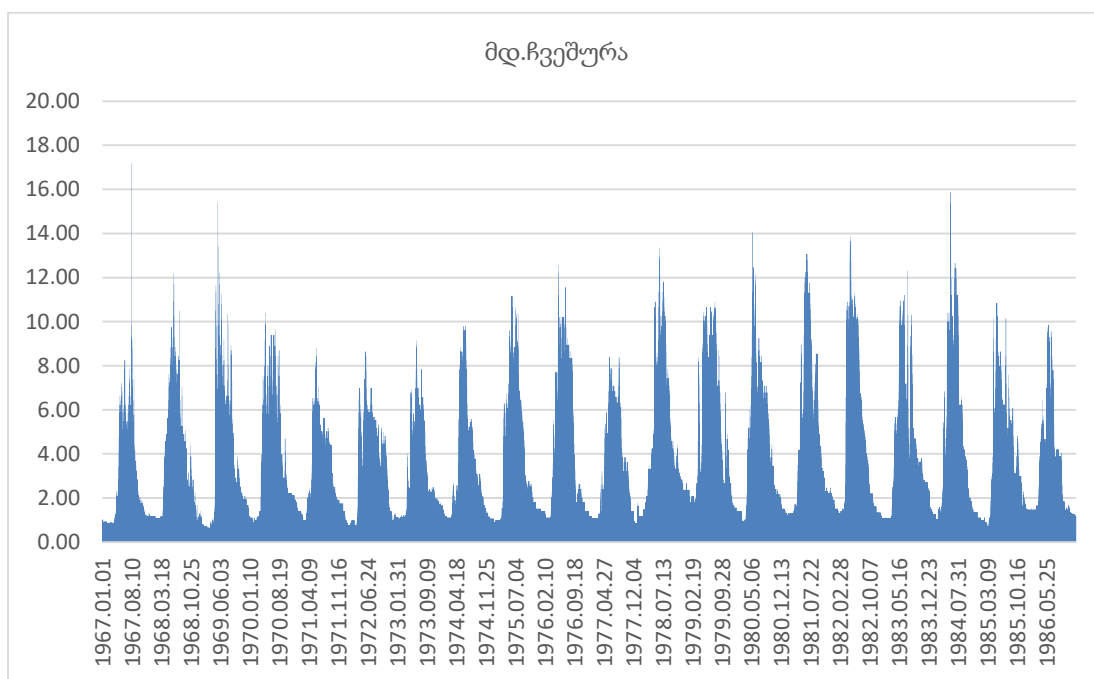
$F_{\text{კვეთი}} - \text{ჰესის სათავე ნაგებობის გასწორში } \dot{V}_{\text{ყალბემკრები}} \text{ აუზის ფართობი, } \text{კმ}^2;$

$F_{\text{ანალოგი}} - \text{ანალოგი მდინარის } \dot{V}_{\text{ყალბემკრები}} \text{ აუზის ფართობი, } \text{კმ}^2.$

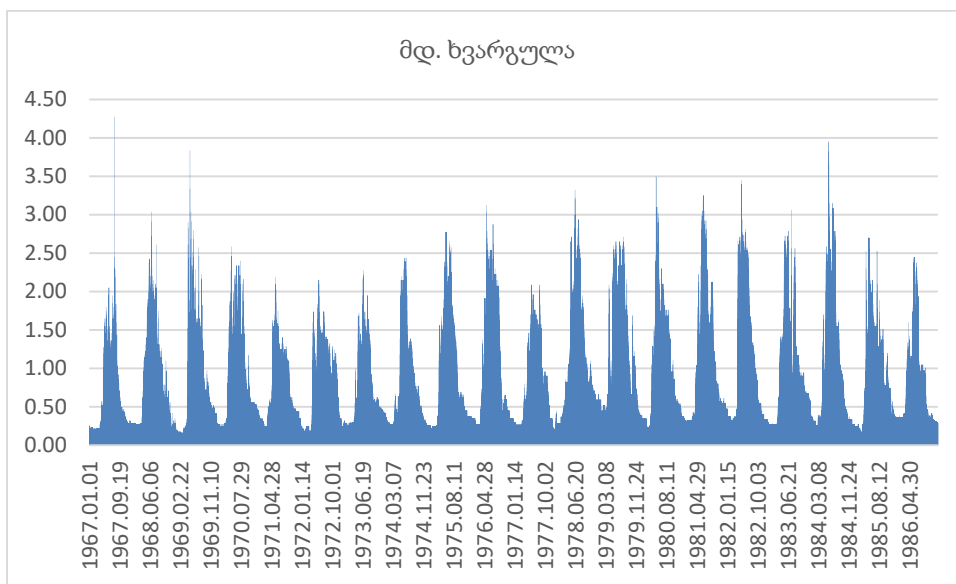
მიღებული გადამყვანი კოეფიციენტები $K_{\text{ჩვეშურა}} = 0.502500$, $K_{\text{ხვარგულა}} = 0.125000$.

მდინარე ჩვეშურას ($\nabla 1549$ მ.ზ.დ), ხვარგულასა ($\nabla 1548$ მ.ზ.დ) და ჭიორაჰესის წყლის ყოველდღიური საშუალო ხარჯი მიღებულია შესაბამის გადამყვან კოეფიციენტზე გადამრავლებით, რომელიც მოცემულია დანართ 1-ში, ხოლო მათი ჰიდროგრაფები ფიგურა 5.9-5.11-ში.

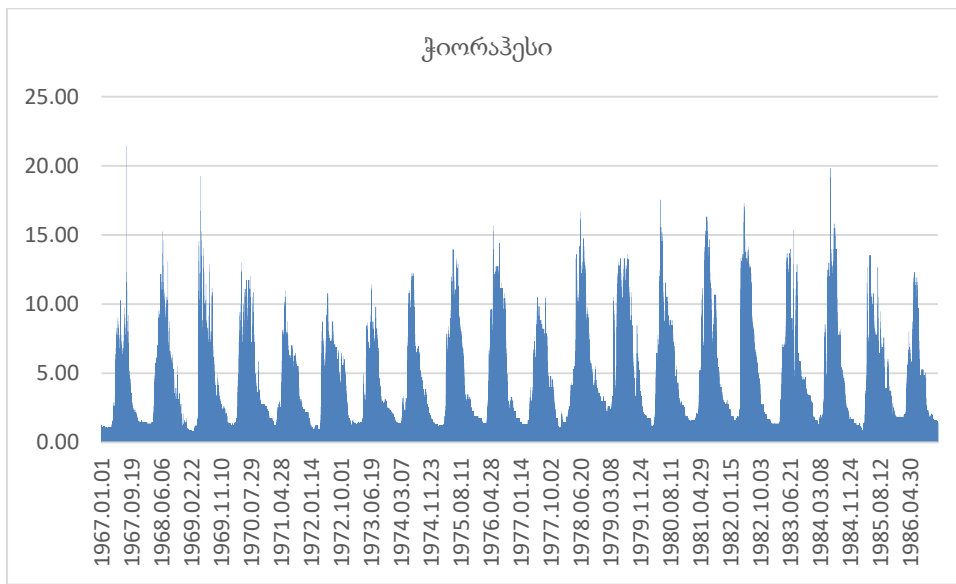
ფიგურა 5.9 მდ. ჩვეშურას ($\nabla 1549$ მ.ზ.დ) წყლის ყოველდღიური ხარჯის ჰიდროგრაფი



ფიგურა 5.10 მდ. ხვარგულას ($\nabla 1548$ მ.ზ.დ) წყლის ყოველდღიური ხარჯის ჭიდროგრაფი

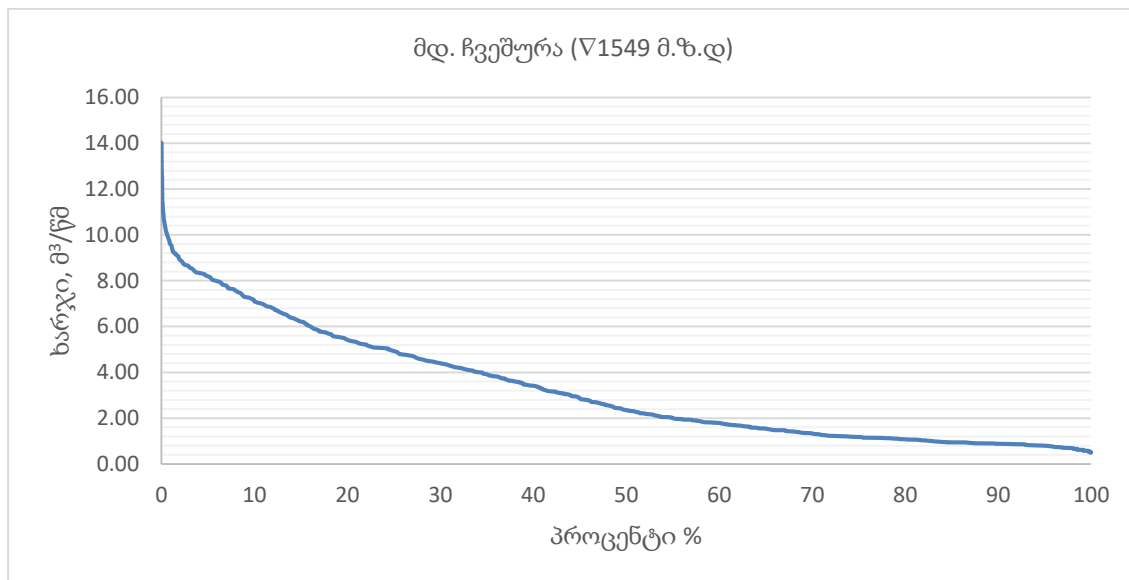


ფიგურა 5.11 ჭიორაჰესის წყლის ყოველდღიური ხარჯის ჭიდროგრაფი

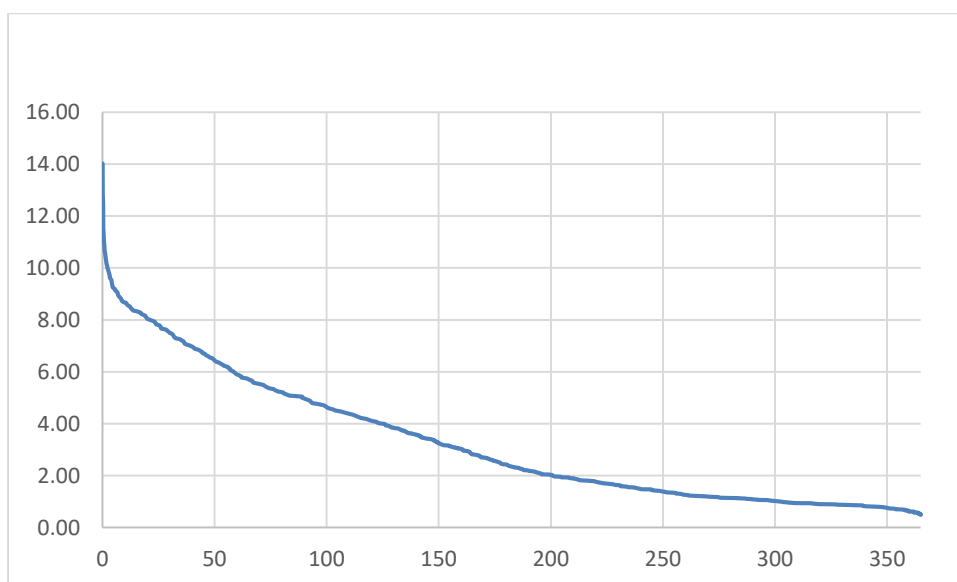


ჰესის სათავე ნაგებობის გასწორები (1967-86 წწ.) წყლის ყოველდღიური ხარჯის უზრუნველყოფის მრუდის პროცენტული და ყოველდღიური განაწილება მოცემულია ფიგურა 5.12 -სა და 5.17-ზე.

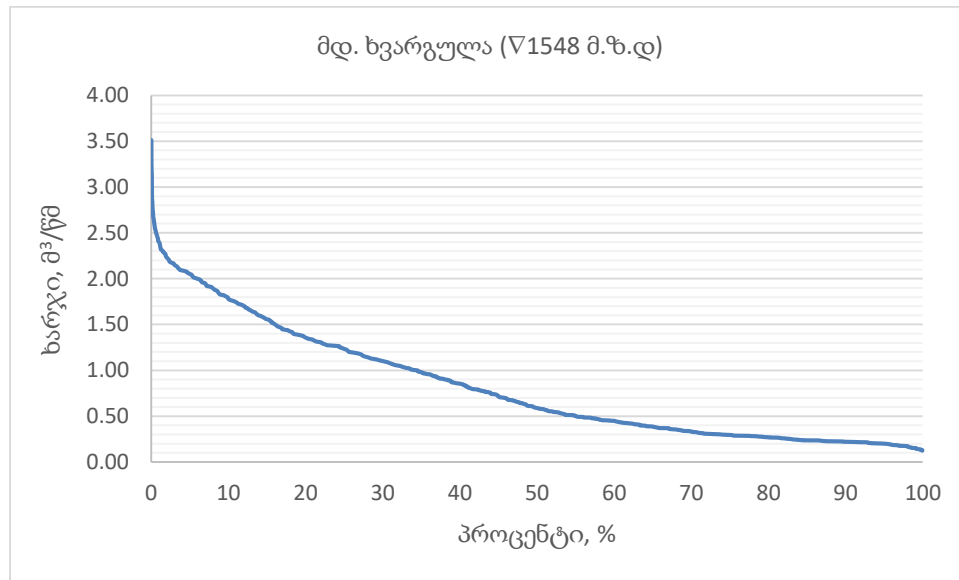
ფიგურა 5.12 მდ. ჩვეშურას წყლის ყოველდღიური ხარჯის უზრუნველყოფის მრუდი



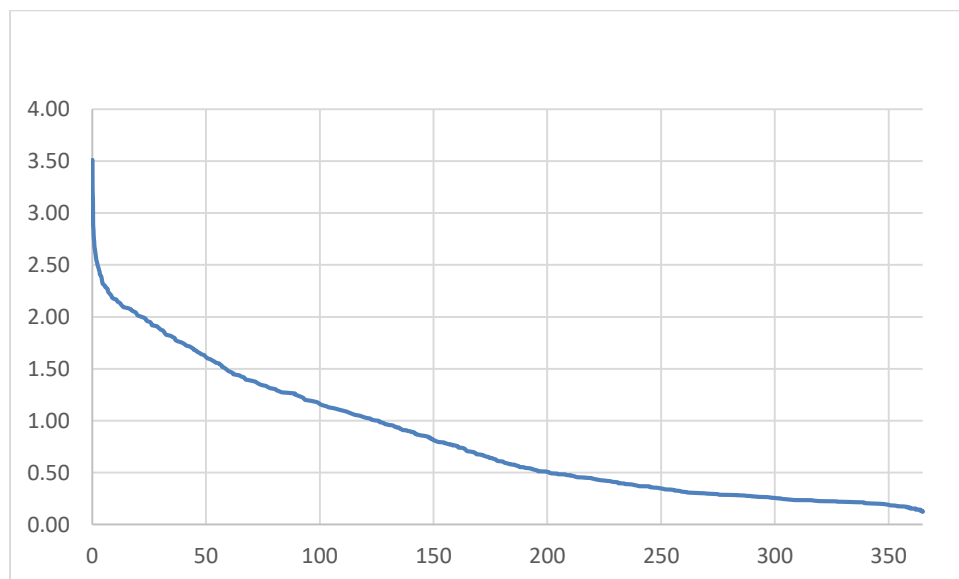
ფიგურა 5.13 მდ. ჩვეშურას წყლის ყოველდღიური ხარჯის მრუდი, დღე



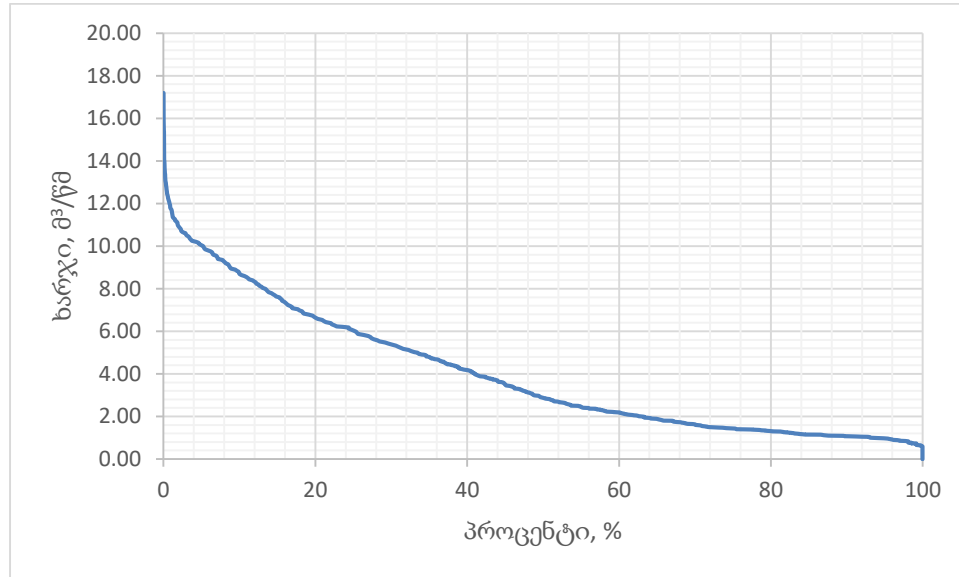
ფიგურა 5.14 მდ. ხვარგულას ყოველდღიური ხარჯის უზრუნველყოფის მრუდი



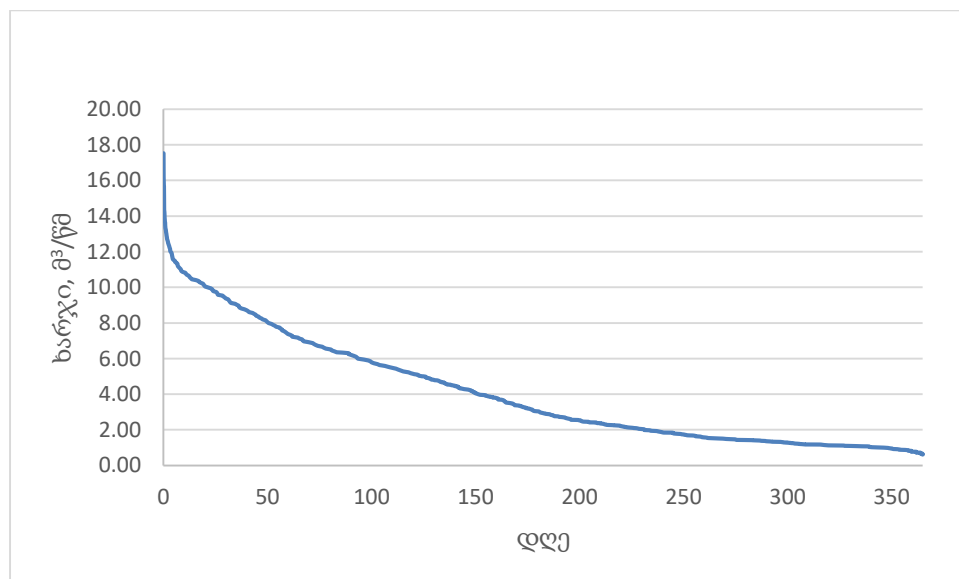
ფიგურა 5.15 მდ. ხვარგულას წყლის ყოველდღიური წყლის ხარჯის მრუდი, დღე



ფიგურა 5.16 ჭიორა ჰესის ყოველდღიური წყლის ხარჯის უზრუნველყოფის მრუდი



ფიგურა 5.17 ჭიორა ჰესისთვის წყლის ყოველდღიური ხარჯის მრუდი, დღე



6. მდინარის წყლის მაქსიმალური ხარჯის ანგარიში

ჭიორა ჰესის სათავე ნაგებობის კვეთში შერჩეულ მდ. ჩვეშურას და მდ. ხვარგულას უდიდესი ხარჯის საანგარიშო სიდიდეები გამოთვლილია მეთოდით, რომელიც რეკომენდირებულია უდიდესი ხარჯის საანგარიშოდ 300 კმ²-მდე წყალშემკრები აუზის მქონე მდინარებზე „კავკასიის პირობებში მდინარეთა მაქსიმალური ჩამონადენის საანგარიშო ტექნიკური მითითებით“ და ჭიდროლოგიური ცნობარით „ზედაპირული წყლის რესურსები“ ტომი 9, გამოშვება პირველი, 1979 წელი. აღნიშნული მეთოდის თანახმად, წყლის მაქსიმალური ხარჯი იანგარიშება ფორმულით:

$$Q = 16.67 \times \alpha \times \beta \times \sigma \times F \times \frac{H}{T}$$

სადაც,

Q - წყლის საანგარიშო უდიდესი ხარჯი, მ³/წმ

F - წყალშემკრები აუზის ფართობი, კმ²

T - საპროექტო კვეთში წყლის უდიდესი ჩამონადენის კონცენტრაციის საანგარიშო დრო, წთ, რომლის მნიშვნელობა იანგარიშება ფორმულით:

$$T = \left[\frac{L_{\text{დაყ}}}{\varphi \times \sqrt{J_a^m \times \alpha \times l_0 \times k \times \tau^{0.27}}} \right]^{1.53}$$

სადაც, L_{დაყ} - ნაკადის დაყვანილი სიგრძე, რომელიც იანგარიშება ფორმულით:

$$L_{\text{დაყ}} = \frac{L}{S} + L_0$$

L_{დაყ} - ნაკადის სიგრძე მდინარის სათავიდან საპროექტო კვეთამდე, მ

S - მდინარის კალაპოტში და ხეობის ფერდობებიდან ჩამომდინარე ნაკადის სიჩქარეების ფარდობა;

L₀ - ფერდობის საანგარიშო სიგრძე (მ), რომელიც

იანგარიშება ფორმულით:

$$L_0 = \frac{1000 \times F}{2 \times (L + \sum I)},$$

სადაც,

ΣL – შენაკადების ჯამური სიგრძე, კმ

$$H = K \times T^{0.31} \text{ მმ, როდესაც } T \geq 20 \text{ წთ - ზე}$$

$$H = K \times \tau^{0.27} \times T^{0.46} \text{ მმ, როდესაც } T < 20 \text{ წთ - ზე}$$

j_α^m - წყალშემკრები აუზის ფერდობების ქანობი (%), ხოლო m=0.6

α - ჩამონადენის კოეფიციენტი, რომელიც განისაზღვრება ფორმულით:

$$\alpha = \xi \times (i + 0.1)^{0.345} \times T^{0.15}$$

ξ- აუზში გავრცელებული ნიადაგის საფარის კოეფიციენტი, რომელიც აიღება სპეციალურად დამუშავებული რუკიდან და ცხრილიდან.

i - აუზში მოსული თავსხმა წვიმის ინტენსივობა, მმ/წმ:

$$i = \frac{H}{T}$$

H- წვიმის საანგარიშო რაოდენობა (მმ) და იანგარიშება ფორმულებით:

$$H = K \times \tau^{0.27} \times T^{0.31} \text{ მმ, როდესაც } T \geq 20 \text{ წთ - ზე}$$

$$H = K \times \tau^{0.27} \times T^{0.46} \text{ მმ, როდესაც } T < 20 \text{ წთ - ზე}$$

სადაც ფორმულაში,

K - რაიონის კლიმატური კოეფიციენტი, რომლის მნიშვნელობა აიღება სპეციალურად დამუშავებული რუკიდან

τ - განმეორეობადობა წლებში

β - აუზში მოსული თავსხმა წვიმის არათანაბარი განაწილების კოეფიციენტი, მისი სიდიდე იანგარიშება ფორმულით:

შავი ზღვის აუზის მდინარეებისთვის

$$\beta = e^{-0.28 \times F^{0.50} i^{\frac{1}{3}} \times T^{-0.30}}$$

ხოლო კასპიის ზღვის აუზის მდინარეებისთვის

$$\beta = e^{-0.28 \times F^{0.60} i^{\frac{1}{3}} \times T^{-0.25}}$$

σ - აუზის ფორმის კოეფიციენტი, რომლის მნიშვნელობა მიიღება ფორმულით:

$$\sigma = 0.25 \times \frac{B_{max}}{B_{ave}} + 0.75$$

სადაც,

Бაჟ – აუზის უდიდესი სიგანე, კმ

Бსაშ. – აუზის საშუალო სიგანე, კმ

$$B_{bsa} = \frac{F}{L}$$

წყლის უდიდესი ხარჯის სიდიდის დასადგენად მორფომეტრიული მახასიათებლები განისაზღვრა საპროექტო კვეთში 1:50000 მასშტაბის ტოპოგრაფიული რუკის მეშვეობით, რომელიც მოცემულია ცხრილ 6.1-ში.

ცხრილი 6.1 მორფომეტრიული პარამეტრები

| დასახელება | მდ. ჩვეშურა | მდ. ხვარგულა |
|----------------------------------|-------------|--------------|
| აუზის უმაღლესი წერტილი ვდ.ზ.დ | 4258.5 | 3851.7 |
| მდინარის სათავე ვდ.ზ.დ | 2760 | 2780 |
| კვეთი ვდ.ზ.დ | 1549 | 1548 |
| L მდინარის სიგრძე, კმ | 11.12 | 7.038 |
| ΣL მდ. შენაკადების სიგრძე, კმ | 43.86 | 18.22 |
| ΣL იზოგიფსების სიგრძე, კმ | 455.68 | 103.25 |
| F აუზის ფართობი, კმ ² | 75.02 | 18.79 |
| H საშუალო სიმაღლე, მ | 2679 | 2656 |
| H ჩამონადენის ფენის სიმაღლე, მმ | 1690 | 1680 |
| Q ნორმა, მ ³ /წ | 4.02 | 1.00 |
| i მდინარის დახრილობა | 0.109 | 0.175 |
| ї მდ. შეწონილი დახრილობა | 0.082 | 0.131 |
| I აუზის საშუალო დახრილობა, % | 60.70 | 54.71 |
| აუზის საშუალო სიგანე B=F/L | 6.75 | 2.67 |
| I შენაკ. სიგრძე > 0.4*B | 11.63 | 10.87 |
| B აუზის უდიდესი სიგანე, მ | 12.21 | 3.66 |
| ტყიანობა, % | 18.75 | 23.14 |

მორფომეტრიულ პარამეტრებზე დაყრდნობით გამოთვლილია წყლის უდიდესი ხარჯი შერჩეულ კვეთებში. წყლის სხვადასხვა უზრუნველყოფით უდიდესი ხარჯი მოცემულია ცხრილ 6.2-ში.

ცხრილი 6.2 წყლის სხვადასხვა უზრუნველყოფის უდიდესი ხარჯი, მ³/წ

| დასახელება | აუზი F კმ ² | უზრუნველყოფა, % | | | | | | | | | |
|------------|---------------------------|-----------------|-----|-----|---|---|---|----|----|----|--|
| | | 0.1 | 0.2 | 0.5 | 1 | 3 | 5 | 10 | 20 | 25 | |
| | | | | | | | | | | | |

| | | | | | | | | | | |
|----------------------|-------|-------|-------|-------|-------|-------|-------|-------|------|------|
| მდ. ჩვეშურა ვ1549 მ | 75.02 | 457.1 | 422.4 | 365.7 | 315.3 | 207.6 | 163.6 | 124.6 | 95.1 | 85.4 |
| მდ. ხვარგულა ვ1548 მ | 18.79 | 169.3 | 156.5 | 135.5 | 116.8 | 78.2 | 61.9 | 47.6 | 36.8 | 33.2 |

ჭიორა ჰესის შენობასთან (ვ1307 მ.ზ.დ) ჭიდროლოგიური მახასიათებლების დასადგენად გამოყენებულია მასალები, მიღებული NASA-სა (აერონავტიკისა და კოსმოსური სივრცის კვლევის ეროვნული სამმართველო) და ESA-ს (ევროპის კოსმოსური სააგენტო) „საიტებით“, ხოლო მონაცემები დამუშავებულია GIS-ის (გეოიდფორმაციული სისტემა) გამოყენებით. წყლის მაქსიმალური ხარჯის გამოთვლისათვის ფორმულაში შემავალი პარამეტრების მნიშვნელობები მოცემულია ცხრილ 6.3-ში.

ცხრილი 6.3 მორფომეტრიული პარამეტრები

| დასახელება | მდ. რიონი |
|----------------------------------|-----------|
| აუზის უმაღლესი წერტილი ვმ.ზ.დ. | 4313.7 |
| მდინარის სათავე ვმ.ზ.დ. | 2750 |
| ჰესის შენობა ვმ.ზ.დ. | 1307 |
| L მდინარის სიგრძე, კმ | 24.67 |
| ΣL მდ. შენაკადების სიგრძე, კმ | 130.31 |
| F აუზის ფართობი, კმ ² | 348.97 |
| i მდინარის დახრილობა | 0.058 |
| ii მდ. შეწონილი დახრილობა | 0.044 |
| I აუზის საშუალო დახრილობა, % | 53.3 |
| აუზის საშუალო სიგანე B=F/L | 14.15 |
| B აუზის უდიდესი სიგანე, მ | 21.8 |
| ტყიანობა, % | 45.3 |

პარამეტრების ფორმულაში შეყვანით და გაანგარიშებით მიღებული შედეგები მოცემულია ცხრილ 6.4-ში

ცხრილი 6.4 წყლის სხვადასხვა უზრუნველყოფის უდიდესი ხარჯი, მ³/წმ

| დასახელება | აუზი F კმ ² | უზრუნველყოფა, % | | | | | | | | | |
|-----------------------------|---------------------------|-----------------|-----|-----|-----|-----|-----|-----|-----|-----|--|
| | | 0.1 | 0.2 | 0.5 | 1 | 3 | 5 | 10 | 20 | 25 | |
| ჰესის შენობა ვ1307.0 მ.ზ.დ. | 349 | 990 | 916 | 793 | 683 | 514 | 432 | 355 | 291 | 266 | |

7. მინიმალური ჩამონადენი და გარემოსდაცვითი ხარჯი

7.1.1 მინიმალური ჩამონადენი

წყლის უმცირესი ხარჯი გამოთვლილია მეთოდით, რომელიც აღებულია ჰიდროლოგიური ცნობარიდან ”Ресурсы поверхности вод СССР” Том 9 Ленинград 1969. აღნიშნული მეთოდის თანახმად პირველად განისაზღვრება ჰიდროლოგიურად შეუსწავლელი მდინარის 75%-იანი უზრუნველყოფის ჩამონადენის მოდული, რომელიც აღებულია შესაბამისი რაიონისა და საშუალო სიმაღლის მიხედვით.

10 დღიანი უმცირესი ხარჯი, ანუ 75%-იანი უზრუნველყოფის ხარჯი გამოთვლილია ფორმულით

$$Q_{75\%} = \frac{m_{75\%} \times F}{1000}$$

გადასვლა 75%-იან უზრუნველყოფის უმცირესი ხარჯიდან სხვადასხვა უზრუნველყოფის ხარჯზე განხორციელებულია გადამყვანი კოეფიციენტების საშუალებით, ასევე დღე-დამური და 30 დღიანი უმცირესი ხარჯი აღებულია რაიონის და სეზონის შესაბამისი ცხრილიდან. ჰესისთვის შერჩეულ კვეთებში გაანგარიშების შედეგად მიღებული დღე-დამური, 10 და 30 დღიანი უმცირესი ხარჯი სხვადასხვა უზრუნველყოფით მონაცემები მოცემულია ცხრილ 7.1-ში.

ცხრილი 7.1 დღე-დამური, 10 და 30 დღიანი უმცირესი ხარჯის უზრუნველყოფა, მ³/წმ

| p% | კოეფიციენტი | 75 | 80 | 85 | 90 | 95 | 97 | 99 |
|----------------------|-------------|-------|-------|-------|-------|-------|-------|-------|
| 1 | 2 | 3 | 4 | 5 | 6 | 7 | 8 | 9 |
| ზამთარი | | 1 | 0.96 | 0.9 | 0.88 | 0.76 | 0.7 | 0.64 |
| 10 დღიანი | 1 | 0.420 | 0.403 | 0.378 | 0.370 | 0.319 | 0.294 | 0.269 |
| დღე-დამური | 0.88 | 0.370 | 0.355 | 0.333 | 0.325 | 0.281 | 0.259 | 0.237 |
| 30 დღიანი | 1.1 | 0.462 | 0.444 | 0.416 | 0.407 | 0.351 | 0.323 | 0.296 |
| მდ. ხვარგულა N1548 მ | | | | | | | | |
| ზამთარი | | 1 | 0.96 | 0.9 | 0.88 | 0.76 | 0.7 | 0.64 |
| 10 დღიანი | 1 | 0.105 | 0.101 | 0.095 | 0.093 | 0.080 | 0.074 | 0.067 |
| დღე-დამური | 0.88 | 0.093 | 0.089 | 0.083 | 0.081 | 0.070 | 0.065 | 0.059 |
| 30 დღიანი | 1.1 | 0.116 | 0.111 | 0.104 | 0.102 | 0.088 | 0.081 | 0.074 |

უმცირესი ხარჯი შერჩეულ კვეთებში ყალიბდება ზამთრის პერიოდში.

ჰესის შენობასთან მინიმალური ხარჯის ანგარიშისათვის გამოყენებულია მდ. რიონი-პ/ს უწერას 1959-1986 წლების დაკვირვებული მონაცემები, რომელიც მოცემულია ცხრილ 7.2-ში.

ცხრილი 7.2 მდ. რიონი-ჰ/ს უწერას ყოველწლიური მინიმალური ხარჯი

| N | წელი | ხარჯი | თარიღი | N | წელი | ხარჯი | თარიღი |
|----|------|-------|-----------------------------|----|------|-------|-----------------|
| 1 | 1959 | 4.20 | 06.02(9), 01.03 | 15 | 1973 | 5.90 | 01.01 |
| 2 | 1960 | 5.50 | 10, 11.02 | 16 | 1974 | 6.00 | 08, 24.12 |
| 3 | 1961 | 3.70 | 04, 10, 19, 20.03 | 17 | 1975 | 5.00 | 22, 23, 25.02 |
| 4 | 1962 | 3.50 | 12.01 | 18 | 1976 | 4.00 | 08.01-07.03(23) |
| 5 | 1963 | 9.00 | 07, 08.03 | 19 | 1977 | 4.64 | 6.01 |
| 6 | 1964 | 5.00 | 13, 14.02 | 20 | 1978 | 5.99 | 30.01-13.02(4) |
| 7 | 1965 | 4.60 | 25-31.01, 02(15), 26.02 | 21 | 1979 | 5.60 | 02.03 |
| 8 | 1966 | 4.20 | 30, 31.12 | 22 | 1980 | 5.70 | 01.01 |
| 9 | 1967 | 4.05 | 04.01, 16, 17.02 | 23 | 1981 | 8.00 | 02.02, 04.02 |
| 10 | 1968 | 6.00 | 15-17.02 | 24 | 1982 | 8.00 | 19-26.02 |
| 11 | 1969 | 5.00 | 08.01, 02(10), 03(2), 12.03 | 25 | 1983 | 8.39 | 10.03, 11.03 |
| 12 | 1970 | 4.80 | 06.02 | 26 | 1984 | 5.40 | 22-24.12 |
| 13 | 1971 | 6.50 | 15.02 | 27 | 1985 | 4.80 | 05.02-10.02 |
| 14 | 1972 | 5.00 | 30, 31.01, 02(9), 23.02 | 28 | 1986 | 5.00 | 24.01, 25.02 |

მდინარე რიონი-ჰ/ს უწერას დაკვირვებული რიგიდან მინიმალური ხარჯის მონაცემებითა და პროგრამა StokStat-ით გამოთვლილია მრავალწლიური მინიმალური საშუალო ხარჯის უზრუნველყოფის მრუდის პარამეტრები, რომელიც მოცემულია ცხრილ 7.4-ში.

ცხრილი 7.3 მდ. რიონი-ჰ/ს უწერას მინიმალური ხარჯის უზრუნველყოფის პარამეტრები

| დასახელება | Q _{სა. მ³/წმ} | n | C _v | C _{s=2xCv} |
|---------------------|------------------------|----|----------------|---------------------|
| მდ. რიონი-ჰ/ს უწერა | 5.481 | 28 | 0.256 | 0.512 |

Q- მრავალწლიური მინიმალური საშუალო ხარჯი, მ³/წმ;

n-წლების რაოდენობა;

C_v-ვარიაციის კოეფიციენტი;

C_s-ასიმეტრიის კოეფიციენტი.

ამ პარამეტრებზე დაყრდნობით აგებულია ყოველწლიური წყლის მინიმალური ხარჯის უზრუნველყოფის მრუდი, რომელიც მოცემულია ფიგურა 7.1-ზე, ხოლო პროგრამა Stokstat-ითა და სამპარამეტრიანი გამა განაწილების ორდინატით გამოთვლილია სხვადასხვა უზრუნველყოფის მინიმალური ხარჯი. გადასვლა ანალოგიდან საპროექტო კვეთში განხორციელებულია გადამყვან კოეფიციენტზე გამრავლებით, რომლის სიდიდე გამოთვლილია ფორმულით:

$$K = \frac{F_{\text{კვეთი}}}{F_{\text{ანალოგი}}}$$

სადაც,

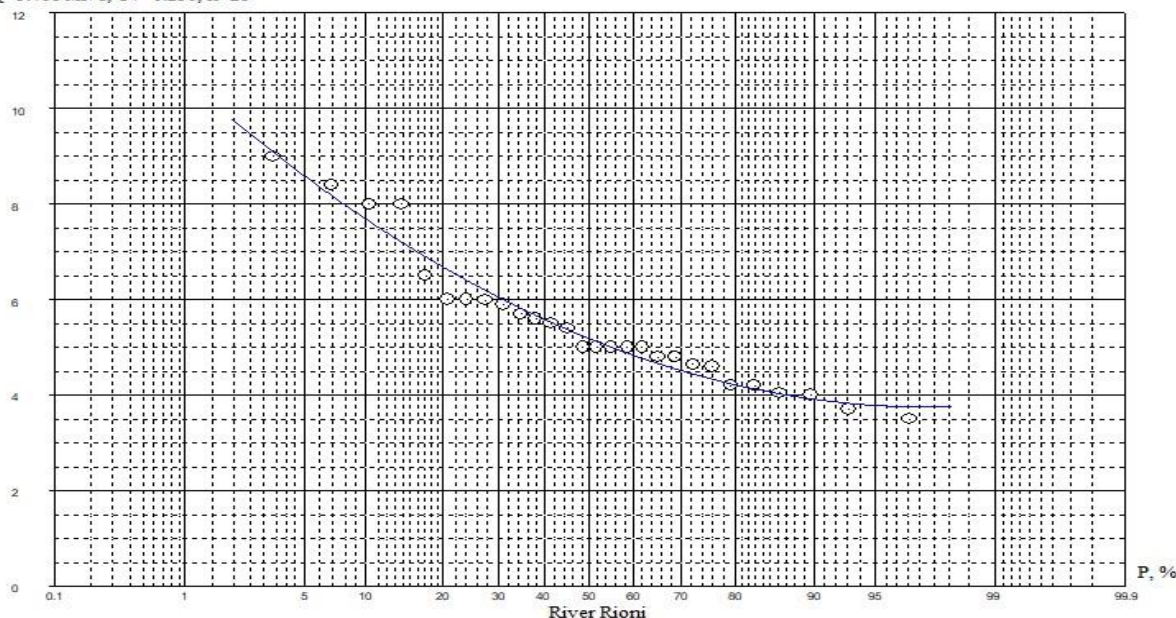
$F_{\text{კვეთი}}$ - საპროექტო კვეთის წყალშემკრები აუზის ფართობი, კმ^2 ;

$F_{\text{ანალოგი}}$ - ანალოგი მდინარის წყალშემკრები აუზის ფართობი, კმ^2

$$K=0.496464$$

ფიგურა 7.1 მდ. რიონი-ჰ/ს უწერას მინიმალური ხარჯის უზრუნველყოფის მრუდი

$$Q=5.481 \text{ m}^3/\text{s}, C_v=0.256, n=28$$



ანალოგი მდინარისა და შერჩეული კვეთის სხვადასხვა უზრუნველყოფის მინიმალური ხარჯი მოცემულია ცხრილ 7.5-ში.

ცხრილი 7.4 სხვადასხვა უზრუნველყოფის მინიმალური ხარჯი, $\text{მ}^3/\text{წთ}$

| დასახელება | K | $F, \text{კმ}^2$ | უზრუნველყოფა, % | | | | | |
|---------------------|----------|------------------|-----------------|------|------|------|------|------|
| | | | 75 | 80 | 90 | 95 | 97 | 99 |
| მდ. რიონი-ჰ/ს უწერა | | 4.48 | 4.29 | 3.78 | 3.41 | 3.18 | 2.77 | 4.48 |
| ჰესის შენობასთან | 0.496464 | 2.22 | 2.13 | 1.88 | 1.69 | 1.58 | 1.38 | 2.22 |

7.1.2 გარემოსდაცვითი ხარჯი

საქართველოს კანონმდებლობით ჯერ კიდევ არ არის კონკრეტულად განსაზღვრული გარემოსდაცვითი ხარჯის ანგარიშის მეთოდოლოგია, ამიტომ, მისი რაოდენობის გამოსათვლელად მიღებულია კარგად აპრობირებული ერთგვარი პრაქტიკა, რომელიც გულისხმობს მრავალწლიური საშუალო ხარჯის 10%-ის დატოვებას მდინარის კალაპოტში ($0.4 \text{ m}^3/\text{წმ}$ მდ. ჩვეშურასთვის და $0.1 \text{ m}^3/\text{წმ}$ მდ. ხვარგულასთვის), მაგრამ კონკრეტულ შემთხვევაში გარემოსდაცვითი ხარჯის დადგენისას მხედველობაში მიღებულ იქნა მდინარის მრავალწლიური საშუალო ხარჯი სხვადსხვა უზრუნველყოფით და ტურბინის მინიმალური ხარჯი. აქედან გამომდინარე მდინარე ჩვეშურასათვის კაშხლის საპროექტო გასწორში აღებულ იქნა ეკოლოგიური ხარჯი $0.60 \text{ m}^3/\text{წმ}$, ხოლო მდინარე ხვარგულასათვის $0.24 \text{ m}^3/\text{წმ}$. იმ შემთხვევაში, როდესაც მდინარეში წყლის რაოდენობა ერთდროულად ვერ უზრუნველყოფს ჰესის ფუნქციონირებას და ეკოლოგიური ხარჯის გატარებას, ჰესის ოპერირება შეჩერდება და წყალი მთლიანად გარემოსდაცვით ხარჯს დაემატება. მდინარეში მობინადრე მიგრირებადი თევზების დაცვისა და მათი საკვები ბაზის შენარჩუნების მიზნით, პროექტით გათვალისწინებულია თევზსავლის მოწყობა, რომელიც უზრუნველყოფს გარემოსდაცვითი ხარჯის გატარებას. ამასთანავე საჭიროების შემთხვევაში დამონტაჟდება ამრეკლები, რათა მინიმუმამდე დავიდეს ცოცხალი თევზების ტურბინაში მოხვედრის ალბათობა, დაწესდება მუდმივი მონიტორინგი ეკოლოგიური ხარჯის გატარებაზე და შესაბამისი ინფორმაცია, კვარტალურად მიეწოდება გარემოსდაცვისა და სოფლის მეურნეობის სამინისტროს. თევზსავალის ეფექტური ოპერირების შემოწმების მიზნით, პირველი სამი წლის განმავლობაში განხორციელდება მონიტორინგი და მონიტორინგის შედეგების მიხედვით, თუ აღმოჩნდება, რომ თევზსავალი ან/და ეკოლოგიური ხარჯის რაოდენობა ვერ უზრუნველყოფს მდინარის ეკოსისტემის შენარჩუნებას, გადაითვლება გარემოსდაცვითი ხარჯი და ჰესი ახალი, გაზრდილი მონაცემებით გააგრძელებს ფუნქციონირებას.

ფიგურა 7.2 მდინარე ჩვეშურას ბუნებრივი მოდინება





ცხრილი 7.5 გარემოსდაცვითი ხარჯის გადანაწილება

| | I | II | III | IV | V | VI | VII | VIII | IX | X | XI | XII | საშ. |
|--|-------|-------|-------|-------|-------|-------|-------|-------|-------|-------|-------|-------|-------|
| მდინარე ჩვეშურა | | | | | | | | | | | | | |
| მდინარის საშუალო მრავალწლიური ხარჯი, მ³/წმ | 1.25 | 1.11 | 1.27 | 3.75 | 7.39 | 9.07 | 7.91 | 6.18 | 3.92 | 2.77 | 2.09 | 1.57 | 4.02 |
| ჰესის მიერ ასაღები მ³/წმ | 0.65 | 0.51 | 0.67 | 3.15 | 6.79 | 8.47 | 7.31 | 5.58 | 3.32 | 2.17 | 1.49 | 0.97 | 3.42 |
| გარემოსდაცვითი ხარჯი მ³/წმ | 0.60 | 0.60 | 0.60 | 0.60 | 0.60 | 0.60 | 0.60 | 0.60 | 0.60 | 0.60 | 0.60 | 0.60 | 0.60 |
| გარემოსდაცვითი ხარჯი % | 48.00 | 54.05 | 47.24 | 16.00 | 8.12 | 6.62 | 7.59 | 9.71 | 15.31 | 21.66 | 28.71 | 38.22 | 14.93 |
| გარემოსდაცვითი ხარჯი % საშუალო მრავალწლიური ხაზთან მიმართებაში | 14.93 | 14.93 | 14.93 | 14.93 | 14.93 | 14.93 | 14.93 | 14.93 | 14.93 | 14.93 | 14.93 | 14.93 | 14.93 |
| 10% | 1.55 | 1.38 | 1.58 | 4.67 | 9.21 | 11.31 | 9.86 | 7.70 | 4.89 | 3.46 | 2.60 | 1.95 | 5.01 |
| ჰესის მიერ ასაღები მ³/წმ | 0.95 | 0.78 | 0.98 | 4.07 | 8.61 | 10.71 | 9.26 | 7.10 | 4.29 | 2.86 | 2.00 | 1.35 | 4.41 |
| გარემოსდაცვითი ხარჯი მ³/წმ | 0.60 | 0.60 | 0.60 | 0.60 | 0.60 | 0.60 | 0.60 | 0.60 | 0.60 | 0.60 | 0.60 | 0.60 | 0.60 |
| გარემოსდაცვითი ხარჯი % | 38.71 | 43.48 | 37.97 | 12.85 | 6.51 | 5.31 | 6.09 | 7.79 | 12.27 | 17.34 | 23.08 | 30.77 | 11.98 |
| გარემოსდაცვითი ხარჯი % 10%-იანთან მიმართებაში | 11.98 | 11.98 | 11.98 | 11.98 | 11.98 | 11.98 | 11.98 | 11.98 | 11.98 | 11.98 | 11.98 | 11.98 | 11.98 |
| 50% | 1.23 | 1.09 | 1.25 | 3.70 | 7.29 | 8.95 | 7.80 | 6.10 | 3.87 | 2.74 | 2.06 | 1.55 | 3.97 |
| ჰესის მიერ ასაღები მ³/წმ | 0.63 | 0.49 | 0.65 | 3.10 | 6.69 | 8.35 | 7.20 | 5.50 | 3.27 | 2.14 | 1.46 | 0.95 | 3.37 |
| გარემოსდაცვითი ხარჯი მ³/წმ | 0.60 | 0.60 | 0.60 | 0.60 | 0.60 | 0.60 | 0.60 | 0.60 | 0.60 | 0.60 | 0.60 | 0.60 | 0.60 |
| გარემოსდაცვითი ხარჯი % | 48.78 | 55.05 | 48.00 | 16.22 | 8.23 | 6.70 | 7.69 | 9.84 | 15.50 | 21.90 | 29.13 | 38.71 | 15.11 |
| გარემოსდაცვითი ხარჯი % 50%-იანთან მიმართებაში | 15.11 | 15.11 | 15.11 | 15.11 | 15.11 | 15.11 | 15.11 | 15.11 | 15.11 | 15.11 | 15.11 | 15.11 | 15.11 |
| 75% | 1.08 | 0.96 | 1.10 | 3.24 | 6.39 | 7.85 | 6.85 | 5.35 | 3.40 | 2.40 | 1.81 | 1.36 | 3.48 |
| ჰესის მიერ ასაღები მ³/წმ | 0.48 | 0.36 | 0.50 | 2.64 | 5.79 | 7.25 | 6.25 | 4.75 | 2.80 | 1.80 | 1.21 | 0.76 | 2.88 |
| გარემოსდაცვითი ხარჯი მ³/წმ | 0.60 | 0.60 | 0.60 | 0.60 | 0.60 | 0.60 | 0.60 | 0.60 | 0.60 | 0.60 | 0.60 | 0.60 | 0.60 |
| გარემოსდაცვითი ხარჯი % | 55.56 | 62.50 | 54.55 | 18.52 | 9.39 | 7.64 | 8.76 | 11.21 | 17.65 | 25.00 | 33.15 | 44.12 | 17.24 |
| გარემოსდაცვითი ხარჯი % 75%-იანთან მიმართებაში | 17.24 | 17.24 | 17.24 | 17.24 | 17.24 | 17.24 | 17.24 | 17.24 | 17.24 | 17.24 | 17.24 | 17.24 | 17.24 |
| 90% | 0.95 | 0.85 | 0.97 | 2.87 | 5.66 | 6.95 | 6.06 | 4.73 | 3.01 | 2.12 | 1.60 | 1.20 | 3.08 |
| ჰესის მიერ ასაღები მ³/წმ | 0.35 | 0.25 | 0.37 | 2.27 | 5.06 | 6.35 | 5.46 | 4.13 | 2.41 | 1.52 | 1.00 | 0.60 | 2.48 |
| გარემოსდაცვითი ხარჯი მ³/წმ | 0.60 | 0.60 | 0.60 | 0.60 | 0.60 | 0.60 | 0.60 | 0.60 | 0.60 | 0.60 | 0.60 | 0.60 | 0.60 |
| გარემოსდაცვითი ხარჯი % | 63.16 | 70.59 | 61.86 | 20.91 | 10.60 | 8.63 | 9.90 | 12.68 | 19.93 | 28.30 | 37.50 | 50.00 | 19.48 |



| | | | | | | | | | | | | |
|--|-------|-------|-------|-------|-------|-------|-------|-------|-------|-------|-------|-------|
| გარემოსდაცვითი ხარჯი % 90%-იანთან მიმართებაში | 19.48 | 19.48 | 19.48 | 19.48 | 19.48 | 19.48 | 19.48 | 19.48 | 19.48 | 19.48 | 19.48 | 19.48 |
|--|-------|-------|-------|-------|-------|-------|-------|-------|-------|-------|-------|-------|

ცხრილი 7.6 გარემოსდაცვითი ხარჯის გადანაწილება

| | I | II | III | IV | V | VI | VII | VIII | IX | X | XI | XII | საშ. |
|---|-------|-------|-------|-------|-------|-------|-------|-------|-------|-------|-------|-------|-------|
| მდინარე ხვარგულა | | | | | | | | | | | | | |
| მდინარის საშუალო მრავალწლიური ხარჯი, მ³/წმ | 0.31 | 0.28 | 0.31 | 0.93 | 1.84 | 2.26 | 1.97 | 1.54 | 0.98 | 0.69 | 0.52 | 0.39 | 1.00 |
| ჰესის მიერ ასაღები მ³/წმ | 0.07 | 0.04 | 0.07 | 0.69 | 1.6 | 2.02 | 1.73 | 1.3 | 0.74 | 0.45 | 0.28 | 0.15 | 0.76 |
| გარემოსდაცვითი ხარჯი მ³/წმ | 0.24 | 0.24 | 0.24 | 0.24 | 0.24 | 0.24 | 0.24 | 0.24 | 0.24 | 0.24 | 0.24 | 0.24 | 0.24 |
| გარემოსდაცვითი ხარჯი % | 77.42 | 85.71 | 77.42 | 25.81 | 13.04 | 10.62 | 12.18 | 15.58 | 24.49 | 34.78 | 46.15 | 61.54 | 24.0 |
| გარემოსდაცვითი ხარჯი % საშუალო მრავალწლიური ხაჯთან მიმართებაში | 24.0 | 24.0 | 24.0 | 24.0 | 24.0 | 24.0 | 24.0 | 24.0 | 24.0 | 24.0 | 24.0 | 24.0 | 24.0 |
| 10% | 0.39 | 0.34 | 0.39 | 1.16 | 2.29 | 2.81 | 2.45 | 1.92 | 1.22 | 0.86 | 0.65 | 0.49 | 1.25 |
| ჰესის მიერ ასაღები მ³/წმ | 0.15 | 0.10 | 0.15 | 0.92 | 2.05 | 2.57 | 2.21 | 1.68 | 0.98 | 0.62 | 0.41 | 0.25 | 1.01 |
| გარემოსდაცვითი ხარჯი მ³/წმ | 0.24 | 0.24 | 0.24 | 0.24 | 0.24 | 0.24 | 0.24 | 0.24 | 0.24 | 0.24 | 0.24 | 0.24 | 0.24 |
| გარემოსდაცვითი ხარჯი % | 61.54 | 70.59 | 61.54 | 20.69 | 10.48 | 8.541 | 9.796 | 12.5 | 19.67 | 27.91 | 36.92 | 48.98 | 19.2 |
| გარემოსდაცვითი ხარჯი % 10%-იანთან მიმართებაში | 19.2 | 19.2 | 19.2 | 19.2 | 19.2 | 19.2 | 19.2 | 19.2 | 19.2 | 19.2 | 19.2 | 19.2 | 19.2 |
| 50% | 0.31 | 0.27 | 0.31 | 0.92 | 1.81 | 2.23 | 1.94 | 1.52 | 0.96 | 0.68 | 0.51 | 0.38 | 0.99 |
| ჰესის მიერ ასაღები მ³/წმ | 0.07 | 0.03 | 0.07 | 0.68 | 1.57 | 1.99 | 1.70 | 1.28 | 0.72 | 0.44 | 0.27 | 0.14 | 0.75 |
| გარემოსდაცვითი ხარჯი მ³/წმ | 0.24 | 0.24 | 0.24 | 0.24 | 0.24 | 0.24 | 0.24 | 0.24 | 0.24 | 0.24 | 0.24 | 0.24 | 0.24 |
| გარემოსდაცვითი ხარჯი % | 77.42 | 88.89 | 77.42 | 26.09 | 13.26 | 10.76 | 12.37 | 15.79 | 25 | 35.29 | 47.06 | 63.16 | 24.24 |
| გარემოსდაცვითი ხარჯი % 50%-იანთან მიმართებაში | 24.24 | 24.24 | 24.24 | 24.24 | 24.24 | 24.24 | 24.24 | 24.24 | 24.24 | 24.24 | 24.24 | 24.24 | 24.24 |
| 75% | 0.27 | 0.24 | 0.27 | 0.81 | 1.59 | 1.95 | 1.70 | 1.33 | 0.85 | 0.60 | 0.45 | 0.34 | 0.87 |
| ჰესის მიერ ასაღები მ³/წმ | 0.03 | 0.00 | 0.03 | 0.57 | 1.35 | 1.71 | 1.46 | 1.09 | 0.61 | 0.36 | 0.21 | 0.10 | 0.63 |
| გარემოსდაცვითი ხარჯი მ³/წმ | 0.24 | 0.24 | 0.24 | 0.24 | 0.24 | 0.24 | 0.24 | 0.24 | 0.24 | 0.24 | 0.24 | 0.24 | 0.24 |
| გარემოსდაცვითი ხარჯი % | 88.89 | 100 | 88.89 | 29.63 | 15.09 | 12.31 | 14.12 | 18.05 | 28.24 | 40 | 53.33 | 70.59 | 27.59 |
| გარემოსდაცვითი ხარჯი % 75%-იანთან მიმართებაში | 27.59 | 27.59 | 27.59 | 27.59 | 27.59 | 27.59 | 27.59 | 27.59 | 27.59 | 27.59 | 27.59 | 27.59 | 27.59 |
| 90% | 0.24 | 0.21 | 0.24 | 0.71 | 1.41 | 1.73 | 1.51 | 1.18 | 0.75 | 0.53 | 0.40 | 0.30 | 0.77 |
| ჰესის მიერ ასაღები მ³/წმ | 0.00 | -0.03 | 0.00 | 0.47 | 1.17 | 1.49 | 1.27 | 0.94 | 0.51 | 0.29 | 0.16 | 0.06 | 0.53 |
| გარემოსდაცვითი ხარჯი მ³/წმ | 0.24 | 0.24 | 0.24 | 0.24 | 0.24 | 0.24 | 0.24 | 0.24 | 0.24 | 0.24 | 0.24 | 0.24 | 0.24 |



ჭიორა ჰესი
ტექნიკურ-ეკონომიკური დასაბუთების ანგარიში
პიდროლოგია



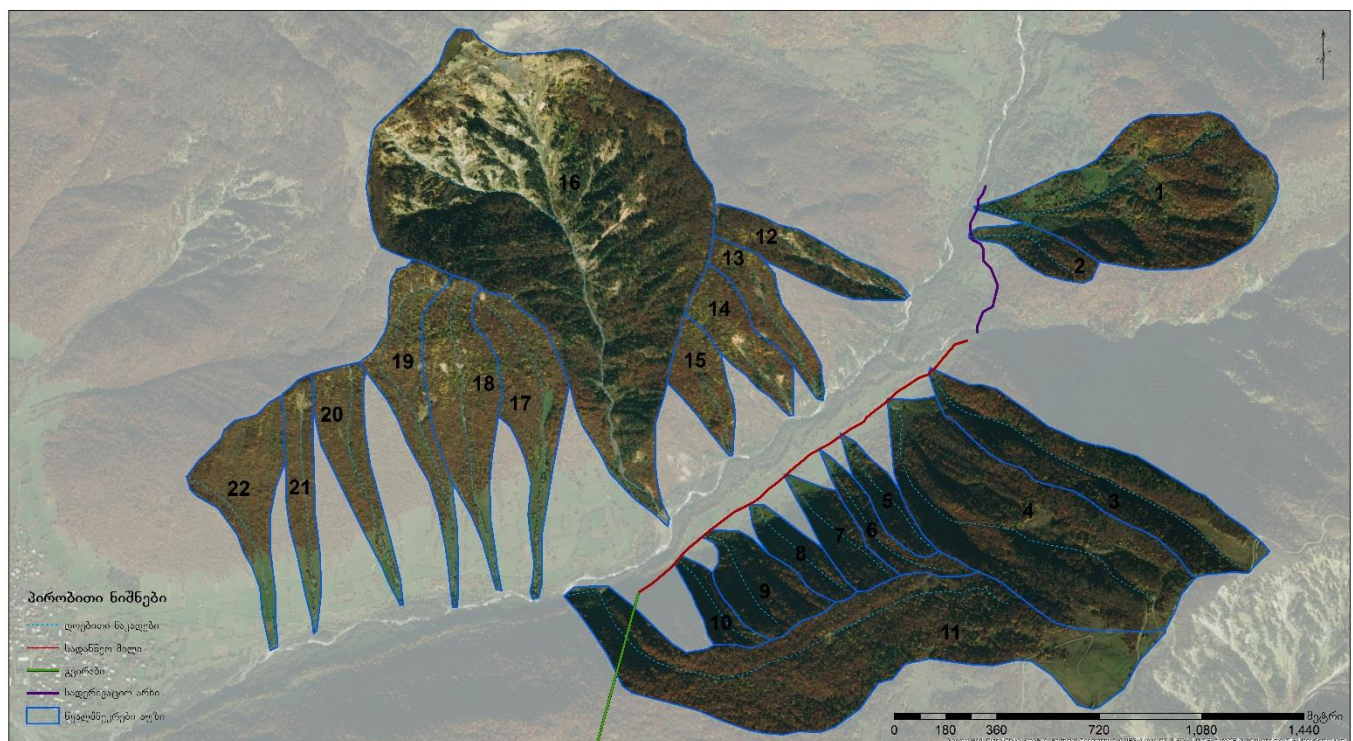
გროს ენერგეტიკული
სამსახურის სამსახურის კონსალტინგი
GROSS ENERGY GROUP
ENGINEERING-CONSULTING COMPANY

| | | | | | | | | | | | | | |
|--|-------|-------|-------|-------|-------|-------|-------|-------|-------|-------|-------|-------|-------|
| გარემოსდაცვითი ხარჯი % | 100 | 114.3 | 100 | 33.8 | 17.02 | 13.87 | 15.89 | 20.34 | 32.0 | 45.28 | 60.0 | 80.0 | 31.17 |
| გარემოსდაცვითი ხარჯი % 90%-იანთან მიმართებაში | 31.17 | 31.17 | 31.17 | 31.17 | 31.17 | 31.17 | 31.17 | 31.17 | 31.17 | 31.17 | 31.17 | 31.17 | 31.17 |

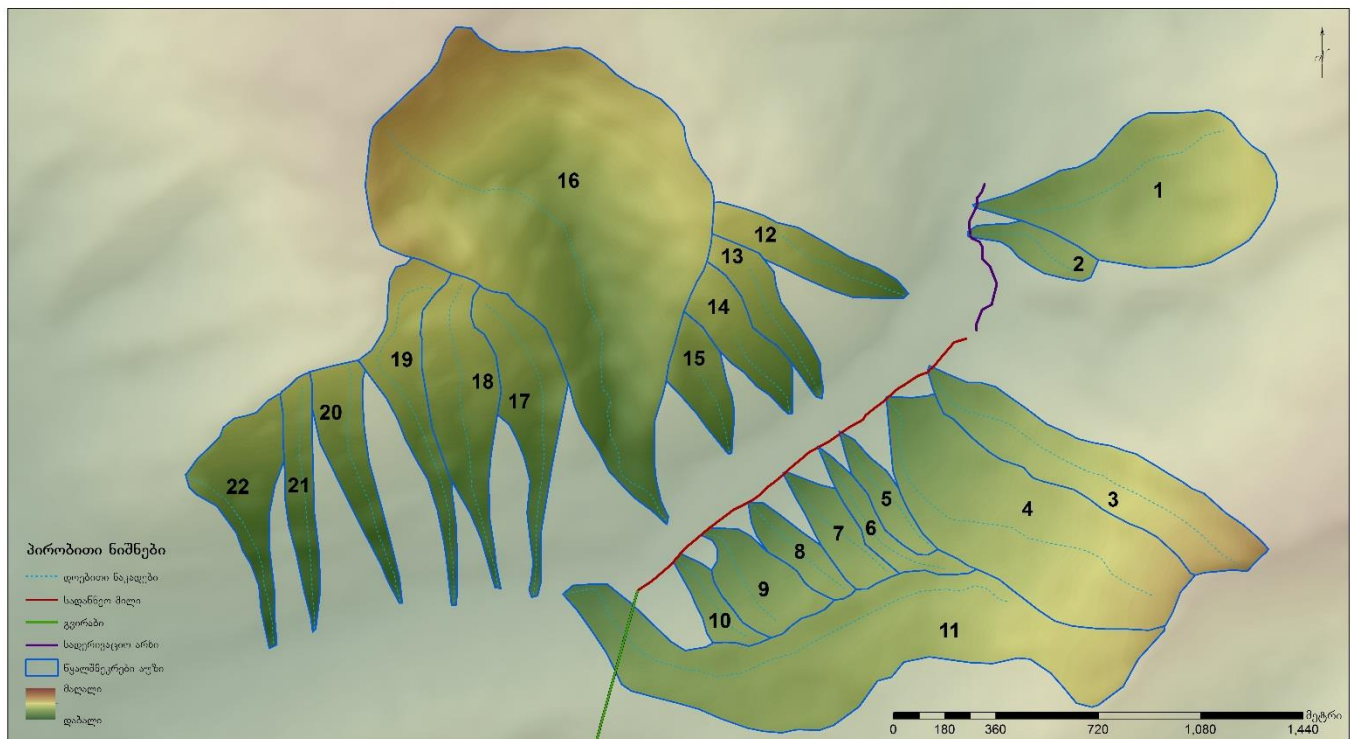
8. სათავე ნაგებობის ქვედა ბიეფში არსებული ხევების მოკლე დახასიათება

ჭიორა ჰესის სათავე ნაგებობების ქვედა ბიეფში (მდინარე ჩვეშურას და ხვარგულაზე) მცირე ზომის ხევების და შენაკადების შესახებ ინფორმაცია სკოპინგის დასკვნის შესაბამისად დამუშავდა, მათი მრავალწლიური ხარჯის დადგენის მიზნით. გამომდინარე იქედან, რომ ხევთა უმეტესობის წყალშემკრები აუზის (ფიგურა 8.1) ფართობები ერთ კილომეტრ კვადრატზე ნაკლებია, ხოლო ანალოგი მდინარის წყალშემკრები აუზის ფართობი 183 კმ²-ს შეადგენს, შენაკადთა მრავალწლიური საშუალო ხარჯი გამოთვლილ იქნა ჩამონადენის ფენისა და საშუალო სიმაღლის დამოკიდებულების მრუდით, რომელიც მოცემულია წიგნში „ლ.ა. Vladimirov, D.I. Shakarishvili, T.I. Gabrichidze "Водный баланс Грузии" Межбюджетная азимутальная гидрография, 1974 г.“

ფიგურა 8.1 ხევთა წყალშემკრები აუზები სათავე ნაგებობათა ქვემოთ



ფიგურა 8.2 ხევთა წყალშემკრები აუზების ოროგრაფია



ხევთა ჩამონადენი წყლის ფენა და მრავალწლიური საშუალო ხარჯი გამოთვლილია ფორმულით:

$$Q = \frac{F \times h}{T},$$

სადაც:

F - წყალშემკრები აუზის ფართობი, კმ^2 ;

h - ჩამონადენის ფენის სიმაღლე, $\text{მმ}/\text{წელი}$;

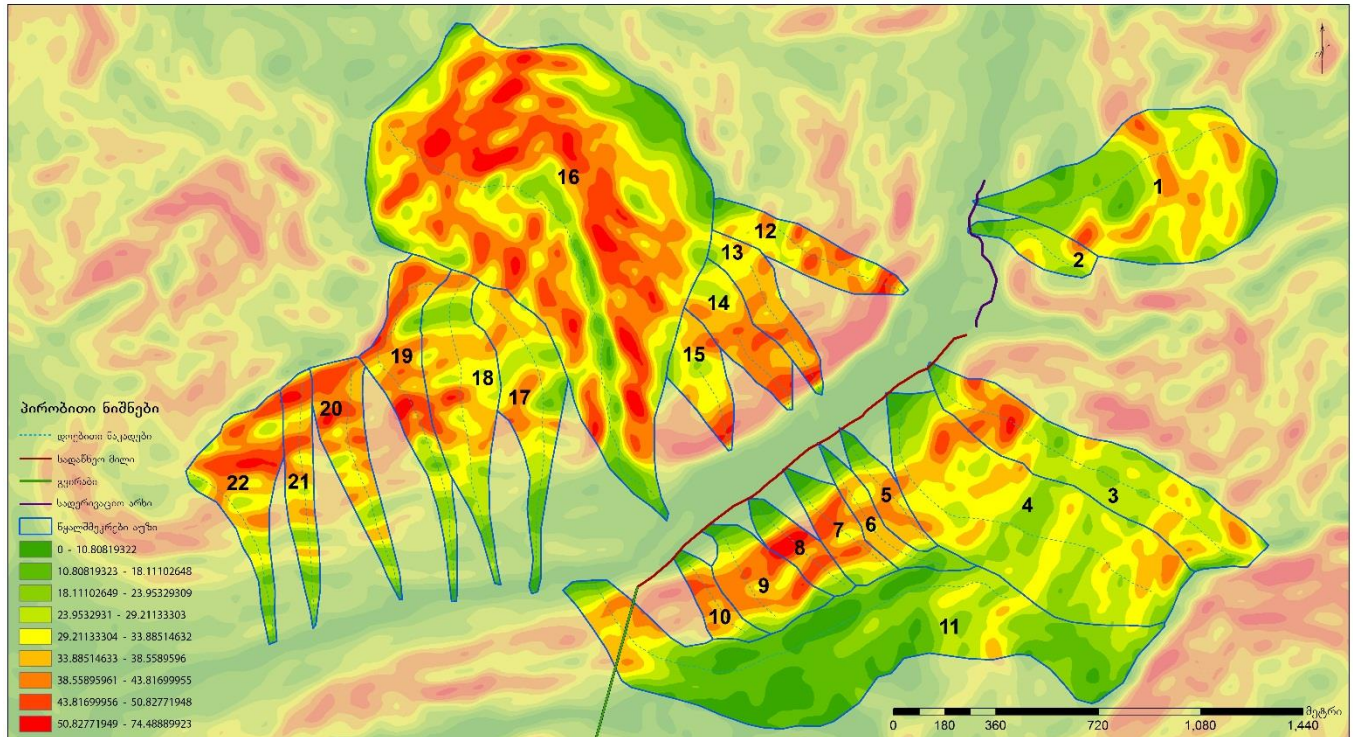
Q - წყლის მრავალწლიური საშუალო ხარჯი, $\text{მ}^3/\text{წმ}$;

H - წყალშემკრები აუზის საშუალო სიმაღლე, მ ;

T - წამების რაოდენობაა წელიწადში.

გამოთვლების შედეგი მოცემულია ცხრილ 8.1-ში.

ფიგურა 8.3 ხევთა წყალშემკრები აუზების დახრილობა (გრადუსი)



ცხრილი 8.1 ხევთა მრავალწლიური საშუალო ხარჯი

| ID | F | Hსაშ | Q | ID | F | Hსაშ | Q |
|-----|--------|---------|--------|----|--------|---------|--------|
| 1 | 0.3567 | 1799.03 | 0.0149 | 12 | 0.0900 | 1813.34 | 0.0038 |
| 2 | 0.0466 | 1646.79 | 0.0018 | 13 | 0.0717 | 1781.08 | 0.0030 |
| 3 | 0.2499 | 1911.54 | 0.0110 | 14 | 0.0796 | 1759.35 | 0.0033 |
| 4 | 0.4310 | 1844.59 | 0.0184 | 15 | 0.0632 | 1690.12 | 0.0025 |
| 5 | 0.0440 | 1616.45 | 0.0017 | 16 | 1.1105 | 1896.33 | 0.0485 |
| 6 | 0.0502 | 1657.05 | 0.0020 | 17 | 0.1415 | 1691.36 | 0.0056 |
| 7 | 0.0616 | 1617.57 | 0.0024 | 18 | 0.1684 | 1743.54 | 0.0069 |
| 8 | 0.0499 | 1591.57 | 0.0019 | 19 | 0.1312 | 1795.89 | 0.0055 |
| 9 | 0.0914 | 1611.30 | 0.0035 | 20 | 0.0992 | 1695.69 | 0.0040 |
| 10 | 0.0384 | 1593.24 | 0.0015 | 21 | 0.0745 | 1658.49 | 0.0029 |
| 11 | 0.5689 | 1785.08 | 0.0237 | 22 | 0.1268 | 1663.64 | 0.0050 |
| საშ | | | | | | | 0.1735 |

ჭიორა ჰესისი სათავე ნაგებობებს ქვემოთ მდებარე ხევების ჰიდროლოგიურმა გამოთვლებმა აჩვენა, რომ საშუალოდ მდინარის ეკოლოგიურ ხარჯს დამატებით ყველა ხევიდან დაემატება $0.1735 \text{ m}^3/\text{s}$, რაც ეკოლოგიური ხარჯის 34%-ს შეადგენს. შესაბამისად ჭიორა ჰესის ქვედა ბიეფში გარემოსდაცვითი ხარჯი მცირედით გაიზრდება, ბუნებრივი პირობებიდან გამომდინარე.

ჭიორა ჰესის სკოპინგის დასკვნის შესაბამისად, სათავე ნაგებობის ქვემოთ არსებული მცირე ხევების მრავალწლიურ საშუალო ხარჯთან ერთად დამატებით გამოითვალა მაქსიმალური ხარჯები იმ ხევებისათვის, რომლებიც კვეთენ სადაწნეო მილს ან/და სადერივაციო არხს. მაქსიმალური ხარჯი, მოცემულ ხევთათვის (ფიგურა 8.4) გამოითვალა, „კავკასიის პირობებში მდინარეთა მაქსიმალური ჩამონადენის საანგარიშო ტექნიკურ მითითებაში“ მოცემული მეთოდის თანახმად, წყლის მაქსიმალური ხარჯების სიდიდეები იმ მდინარეებზე და ხევებზე, რომელთა წყალშემკრები აუზის ფართობი არ აღემატება 300 კმ²-ს, იანგარიშება ფორმულით;

$$Q = R \cdot \left[\frac{F^{2/3} \cdot K^{1,35} \cdot \tau^{0,38} \cdot \bar{i}^{0,125}}{(L+10)^{0,44}} \right] \cdot \Pi \cdot \lambda \cdot \delta_{\theta^3/\bar{\theta}}$$

სადაც

R – რაიონული პარამეტრია. მისი მნიშვნელობა აღნიშნული მდინარეებისათვის უდრის 1.35-ს;

F – წყალშემკრები აუზის ფართობი კმ²-ში;

K – რაიონის კლიმატური კოეფიციენტი;

τ – განმეორებადობაა წლებში;

\bar{i} – მდინარის ან ხევის ქანობი;

L – მდინარის ან ხევის სიგრძე კმ-ში;

Π – წყალშემკრებ აუზში ნიადაგის საფარველის მახასიათებელი კოეფიციენტი. მისი მნიშვნელობა აიღება სპეციალურად დამუშავებული რუკიდან და ცხრილიდან.

λ – აუზის ტყიანობის კოეფიციენტი, რომელიც გამოითვლება ფორმულით;

$$\lambda = \frac{1}{1 + 0,2 \cdot \frac{F_t}{F}}$$

სადაც;

F_t – აუზის ტყით დაფარული ფართობი %-ში.

δ – აუზის ფორმის კოეფიციენტი. მისი მნიშვნელობა მიიღება ფორმულით;

$$\delta = 0,25 \cdot \frac{B_{\max}}{B_{sas}} + 0,75$$

სადაც;

B_{max} – აუზის მაქსიმალური სიგანე კმ-ში;

B_{sas} – აუზის საშუალო სიგანე კმ-ში. მისი მნიშვნელობა მიიღება ფორმულით;

$$B_{sas} = \frac{F}{L};$$

ფიგურა 8.4 სადაწნეო მილსადენისა და სადერივაციო არხის გადამკვეთი ხევები



ცხრილი 8.2 სადაწნეო მილსადენისა და სადერივაციო არხის გადამკვეთი ხევების მაქსიმალური ხარჯები

| ID | F _t | F | L _{jə} | L _ə | სათავე | გადაკვეთა | ვარდნა | B _{max} | Q1% |
|----|----------------|--------|-----------------|----------------|---------|-----------|--------|------------------|-------|
| 1 | 0.2684 | 0.3567 | 0.94721 | 947.208 | 1922.26 | 1570.17 | 352.09 | 0.573 | 4.489 |
| 2 | 0.0466 | 0.0466 | 0.41261 | 412.611 | 1709.51 | 1556.07 | 153.43 | 0.145 | 1.060 |
| 3 | 0.2319 | 0.2499 | 1.31216 | 1312.164 | 2187.25 | 1533.99 | 653.26 | 0.227 | 3.253 |
| 4 | 0.4104 | 0.4310 | 1.29829 | 1298.285 | 2104.11 | 1519.96 | 584.15 | 0.455 | 4.805 |
| 5 | 0.0440 | 0.0440 | 0.51831 | 518.314 | 1769.34 | 1507.23 | 262.11 | 0.107 | 1.063 |
| 6 | 0.0502 | 0.0502 | 0.65213 | 652.130 | 1793.91 | 1500.36 | 293.55 | 0.085 | 1.096 |
| 7 | 0.0616 | 0.0616 | 0.50277 | 502.767 | 1757.34 | 1492.15 | 265.19 | 0.151 | 1.329 |
| 8 | 0.0499 | 0.0499 | 0.45671 | 456.706 | 1733.56 | 1481.10 | 252.47 | 0.13 | 1.153 |
| 9 | 0.0914 | 0.0914 | 0.41662 | 416.617 | 1702.55 | 1477.23 | 225.33 | 0.262 | 1.725 |
| 10 | 0.0384 | 0.0384 | 0.37952 | 379.519 | 1699.45 | 1472.71 | 226.75 | 0.104 | 0.943 |



ჭიორა ჰესი
ტექნიკურ-ეკონომიკური დასაბუთების ანგარიში

ჰიდროლოგია



მაქსიმალური ხარჯის ანგარიშმა აჩვენა, რომ სადაწნეო მიღისა და სადერივაციო არხის დაცვის მიზნით აუცილებელია სხვადასხვა ინფრასტრუქტურული სამუშაოების განხორციელება, რომელიც უზრუნველყოფს სადაწნეო მიღისა და სადერივაციო არხის დაცვას წყალდიდობის დროს დაზიანებისაგან.

9. მყარი ნატანი

ჭიორა ჰესის პროექტისთვის მდინარე ჩვეშურა და ხვარგულაზე შერჩეულ გასწორში ატივნარებული მყარი ხარჯი განსაზღვრულია მეთოდით, რომელიც მოცემულია "Ресурсы поверхности вод СССР" Том 9 Ленинград 1969. საპროექტო კვეთებში მრავალწლიური საშუალო ატივნარებული ხარჯი (ნორმა) გამოთვლილია ფორმულით

$$R_0 = \frac{\rho \times Q}{1000}$$

სადაც,

Q - წყლის მრავალწლიური საშუალო ხარჯი, $\text{მ}^3/\text{წ}\cdot\text{მ}$

R₀ - ატივნარებული ხარჯი

ρ - წყლის სიმღვრივე, რომელიც გამოთვლილია ფორმულით:

$$\rho=1000 \times \alpha \times i^{0.5}$$

სადაც,

i - აუზის დახრილობა, გამოთვლილი ტოპოგრაფიული რუკიდან ;

α - ეროზიის კოეფიციენტი, $\alpha=0.26$.

შესაბამისი მნიშვნელობების ფორმულებში შეტანით და ანგარიშებით მიღებულია შერჩეულ ნიშნულებზე ატივნარებული მრავალწლიური საშუალო ხარჯი.

მთლიანი მყარი ხარჯი გამოთვლილია ფორმულით რომელიც მოცემულია "ВЫНОСЫ НАНОСОВ РЕКАМИ ЧЕРНОМОРСКОГО ПОВЕРЕЖЬЯ КАВКАЗА" Гидрометеоиздат Ленинград 1978.

$$R+G=1.4 \times R^{0.965}$$

სადაც,

G-ფსკერზე მცოცავი მყარი ხარჯი.

შედეგები მოცემულია ცხრილ 9.1-ში.

ცხრილი 9.1 მყარი ხარჯი და ნატანი

| დასახელება | F | Q ₀ | i | ρ | R | | R+G | | |
|---------------------------|--------------|------------------------------------|------------|------------------------|---------------------------------|---------|---------------------------------|---------|-------------------|
| | კ^2 | $\text{მ}^3/\text{წ}\cdot\text{მ}$ | აუზის დაბ. | $\text{გრ}/\text{მ}^3$ | $2\delta/\text{წ}\cdot\text{მ}$ | 1000 ტ. | $2\delta/\text{წ}\cdot\text{მ}$ | 1000 ტ. | 1000 მ^3 |
| მდ. ჩვეშურა ვ1549 მ.ზ.დ. | 75.02 | 4.02 | 0.607 | 203 | 0.81 | 25.5 | 1.14 | 36.0 | 20.0 |
| მდ. ხვარგულა ვ1548 მ.ზ.დ. | 18.79 | 1.00 | 0.547 | 192 | 0.19 | 5.99 | 0.28 | 8.89 | 4.94 |

10. დასკვნა და რეკომენდაციები

მდინარე ჭიორასა და ხვარგულასათვის წყლის რესურსი შეფასდა ჰიდროერგეტიკული გამოყენების მიზნით. გამომდინარე იქედან, რომ საქართველოში კლიმატური და ჰიდროლოგიური მონიტორინგის სამსახური სათანადოდ ვერ ფუქნციონირებს, ამიტომ მდინარის წყლის რესურსის შესაფასებლად, მდინარე ჭანჭახი-ჭ/ს შესართავი დაკვირვების მონაცემებითა (1967-1990 წწ) და საქართველოს მთის მდინარეებისათვის სპეციალურად დამუშავებულ გ. დ. როსტომოვის მეთოდით, გამომდინარი იქედა რომ თავად მდინარე ჩვეშურაზე არ ფუქციონირებდა ჰიდროლოგიური საგუშავო მაქსიმალური ხარჯის დათვლისას უპირატესობა მიენიჭა გ.დ. როსტომოვის მეთოდს, რადგანაც კლიმატის გლობალური ცვლილების ფონზე ისტორიული ინფორმაცია და დაკვირვების მონაცემები სათანადოდ ვერ ასახავს დღეს არსებულ რეალობას (გახშირებული წყალმოვარდნები და წყალდიდობები, გადანაცვლებული სეზონები და წყლის შიდაწლიური გადანაწილების რადიკალური განსხვავება). გამომდინარე იქედან, მდინარე ჰიდროლოგიურად შეუსწავლელად ითვლება და მასზე საგუშავო არ ფუქციონირებდა, პროექტის განვითარების შემდგომ ეტაპზე აუცილებელია დაიწყოს წყლის ყოველდღიური მონიტორინგი და მდინარის ხეობაში დამონტაჟდეს შესაბამისი ხელსაწყო/ები, რაც საშუალებას მოგვცემს უკეთ შეფასდეს მდინარის ხეობაში არსებული წყლის რესურსი და ჩატარებული სამუშაოების სანდოობა გაიზარდოს, კლიმატის გლობალური ცვლილების გათვალისწინებით.

11. გამოყენებული ლიტერატურა

1. Л.А.Владимиров, Д.И.Шакаришвили, Т.И.Габричидзе "Водный баланс Грузии" მეცნიერებათა აკადემია, თბილისი, 1974 წ;
2. Основные Гидрологические характеристики том 9 Закавказия и Дагестан выпуск 1 (1967 წ,1977 წ ,1978 წ, 1987 წ);
3. გარემოს ეროვნული სააგენტო 1987-90 წწ;
4. "Ресурсы поверхности вод СССР" Том 9 Ленинград 1969 გ. ნ. ხმალაძის რედაქციით;
5. "Ресурсы поверхности вод СССР" Том 9 Ленинград 1974 გ. შ. ცომაიას რედაქციით;
6. "Выносы наносов реками черноморского побережья кавказа" Гидрометеоиздат Ленинград 1978;
7. Гидрологический ежегодник 1947-86;
8. სამშენებლო კლიმატოლოგია (პნ 01.05-08);
9. ESA-ს (ევროპის კოსმოსური სააგენტო) აეროფოტოსურათები;
10. NASA-ს (აერონავტიკის და კოსმოსური სივრცის კვლევის ეროვნული სამმართველო) აეროფოტოსურათები.
11. გეოინფორმაციული სისტემები GIS, QGIS